

การแตกสลายสารประกอบพีนอลในน้ำเสียด้วยตัวเร่งปฏิกิริยาเชิงแสงไทเทเนียม

นางสาวปิยะรัตน์ หลิวสิริแสง

วิทยานิพนธ์นี้เป็นส่วนหนึ่งของการศึกษาตามหลักสูตรปริญญาวิทยาศาสตรมหาบัณฑิต

สาขาวิชาเทคโนโลยีเซรามิก ภาควิชาวัสดุศาสตร์

คณะวิทยาศาสตร์ จุฬาลงกรณ์มหาวิทยาลัย

ปีการศึกษา 2554

ลิขสิทธิ์ของจุฬาลงกรณ์มหาวิทยาลัย

บทคัดย่อและแฟ้มข้อมูลฉบับเต็มของวิทยานิพนธ์ตั้งแต่ปีการศึกษา 2554 ที่ให้บริการในคลังปัญญาจุฬาฯ (CUIR)
เป็นแฟ้มข้อมูลของนิสิตเจ้าของวิทยานิพนธ์ที่ส่งผ่านทางบัณฑิตวิทยาลัย

The abstract and full text of theses from the academic year 2011 in Chulalongkorn University Intellectual Repository(CUIR)
are the thesis authors' files submitted through the Graduate School.

DEGRADATION OF PHENOLIC COMPOUNDS IN WASTEWATER BY TITANIA
PHOTOCATALYSTS

Miss Piyarath Liwsirisaeng

A Thesis Submitted in Partial Fulfillment of the Requirements
for the Degree of Master of Science Program in Ceramic Technology

Department of Materials Science

Faculty of Science

Chulalongkorn University

Academic Year 2011

Copyright of Chulalongkorn University

หัวข้อวิทยานิพนธ์	การแตกสลายสารประกอบฟีนอลในน้ำเสียด้วยตัวเร่ง
	ปฏิกิริยาเชิงแสงไทเทเนีย
โดย	นางสาวปิยะรัตน์ หลิวสิริแสง
สาขาวิชา	เทคโนโลยีเซรามิก
อาจารย์ที่ปรึกษาวิทยานิพนธ์หลัก	ผู้ช่วยศาสตราจารย์ ดร.ดุจฤทัย พงษ์เก่า คະซีมา
อาจารย์ที่ปรึกษาวิทยานิพนธ์ร่วม	รองศาสตราจารย์ ดร.สุพัตรา จินาวัฒน์

คณะวิทยาศาสตร์ จุฬาลงกรณ์มหาวิทยาลัย อนุมัติให้รับวิทยานิพนธ์ฉบับนี้เป็นส่วนหนึ่ง
ของการศึกษาตามหลักสูตรปริญญาวิทยาศาสตรบัณฑิต

..... คณบดีคณะวิทยาศาสตร์
(ศาสตราจารย์ ดร.สุพจน์ ทารหนองบัว)

คณะกรรมการสอบวิทยานิพนธ์

..... ประธานกรรมการ
(ผู้ช่วยศาสตราจารย์ ดร.ศิริพันธุ์ เขียมศิริเลิศ)

..... อาจารย์ที่ปรึกษาวิทยานิพนธ์หลัก
(ผู้ช่วยศาสตราจารย์ ดร.ดุจฤทัย พงษ์เก่า คະซีมา)

..... อาจารย์ที่ปรึกษาวิทยานิพนธ์ร่วม
(รองศาสตราจารย์ ดร.สุพัตรา จินาวัฒน์)

..... กรรมการ
(อาจารย์ ดร. กานต์ เสรีวัลย์สถิตย์)

..... กรรมการภายนอกมหาวิทยาลัย
(ดร. ชัชวาล กะลัมพะเหติ)

ปิยะรัตน์ หลิวสิริแสง: การแตกสลายสารประกอบฟีนอลในน้ำเสียด้วยตัวเร่งปฏิกิริยา
เชิงแสงไทเทเนีย. (DEGRADATION OF PHENOLIC COMPOUNDS IN
WASTEWATER BY TITANIA PHOTOCATALYSTS) อ. ที่ปรึกษาวิทยานิพนธ์หลัก :
ผศ.ดร.ดุจฤทัย พงษ์เก่า คະซีมา, อ. ที่ปรึกษาวิทยานิพนธ์ร่วม: รศ. ดร.สุพัศตรา
จินาววัฒน์, 116 หน้า.

ปฏิกิริยาเชิงแสงของตัวเร่งปฏิกิริยาไทเทเนีย (ไทเทเนีย-P25 และไทเทเนียซีดิกา) ได้
ถูกนำมาใช้กับน้ำเสียจากโรงกลั่นน้ำมันที่ประกอบด้วยสารประกอบฟีนอล ได้แก่ คิวมินไฮโดร
เปอร์ออกไซด์ อะซีโตฟีโนนและฟีนอลเพื่อศึกษากลไกการแตกสลายเชิงแสงทางจุลนาศาสตร์
และทางเคมี อัตราการแตกสลายของสารประกอบฟีนอลในน้ำเสียวิเคราะห์ด้วย UV-VIS
spectrophotometry และ high performance liquid chromatography (HPLC) เนื่องจาก
ความซับซ้อนของปฏิกิริยาที่มีสารฟีนอลิกหลายชนิดในน้ำเสีย จึงทำการทดลองโดยใช้สารฟีน
อลมาตรฐานเป็นต้นแบบในการศึกษาพบว่า สารละลายมาตรฐานคิวมินไฮโดรเปอร์ออกไซด์
อะซีโตฟีโนนและฟีนอลถูกแตกสลายด้วยไทเทเนีย-P25 ได้อย่างมีประสิทธิภาพกว่าเมื่อใช้ไท
เทเนียซีดิกาเป็นตัวเร่งปฏิกิริยาเชิงแสง อัตราเร็ว (k) ในการแตกสลายคิวมินไฮโดรเปอร์
ออกไซด์ อะซีโตฟีโนนและฟีนอล คือ 0.992 h^{-1} , 1.393 h^{-1} และ 0.637 h^{-1} ตามลำดับ การแตก
สลายของคิวมินไฮโดรเปอร์ออกไซด์คาดว่าจะเกิดเป็นสารที่มีน้ำหนักโมเลกุลน้อยกว่า (เช่น
อะซีโตฟีโนน) ระหว่างทำปฏิกิริยา ลำดับการแตกสลายของคิวมินไฮโดรเปอร์ออกไซด์ คือ คิว
มินไฮโดรเปอร์ออกไซด์ \rightarrow อะซีโตฟีโนน \rightarrow อะซีโตน ตามค่า k ที่ได้กล่าวไว้ คิวมินไฮโดร
เปอร์ออกไซด์และอะซีโตฟีโนนถูกแตกสลายไปเกือบหมดภายในเวลา 4 ชั่วโมงและผลิตภัณฑ์
ที่มาจากการแตกสลายคือ อะซีโตน ในน้ำเสีย พบว่าการใช้แสงยูวีอย่างเดียวไม่สามารถแตก
สลายสารฟีนอลิกได้ แต่เมื่อเพิ่มปริมาณของตัวเร่งปฏิกิริยาเชิงแสงและเวลาในการฉายแสง
(8-14 ชั่วโมง) พบว่าปริมาณของคิวมินไฮโดรเปอร์ออกไซด์ในน้ำเสียลดลงไปมาก

ภาควิชาวัสดุศาสตร์

สาขาวิชาเทคโนโลยีเซรามิก

ปีการศึกษา 2554

ลายมือชื่อ.....

ลายมือชื่อ อ.ที่ปรึกษาวิทยานิพนธ์หลัก.....

ลายมือชื่อ อ.ที่ปรึกษาวิทยานิพนธ์ร่วม

5272428423 : MAJOR CERAMIC TECHNOLOGY

KEYWORDS : PHOTOCATALYTIC DEGRADATION / PHENOLIC COMPOUNDS /
TITANIA / KINETICS OF PHOTOCATALYSIS

PIYARATH LIWSIRISAENG : DEGRADATION OF PHENOLIC COMPOUNDS
IN WASTEWATER BY TITANIA PHOTOCATALYSTS. ADVISOR : ASST. PROF.
DUJREUTAI PONGKAO KASHIMA, Ph.D., CO-ADVISOR : ASSOC. PROF.
SUPATRA JINAWATH, Ph.D., 116 pp.

Photocatalysis using TiO_2 catalysts (TiO_2 -P25 and $\text{TiO}_2/\text{SiO}_2$) was employed on wastewater containing phenolic compounds : cumene hydroperoxide (CHP), acetophenone (ACP) and phenol (PH) from oil refinery to study the photodegradation mechanism kinetically and chemically. The degradation rate was determined by UV-VIS spectrophotometry and types of the degradation product and contents by high performance liquid chromatography (HPLC). Due to the complexity arising from the combined effect of the mentioned phenolic compounds in the wastewater. Studies on the photocatalytic degradation of standard solutions of CHP, ACP and PH were also carried out in order to elucidate the mechanism. In comparison to $\text{TiO}_2/\text{SiO}_2$, it was found that standard CHP, ACP and PH were more effectively degraded by TiO_2 -P25. The rate constants (k) for the decomposition of CHP, ACP and PH were 0.992 h^{-1} , 1.393 h^{-1} and 0.637 h^{-1} , respectively. The degradation of CHP was thought to involve intermediate products of smaller molecular weights (i.e. ACP). The sequence of decomposition of CHP is $\text{CHP} \rightarrow \text{ACP} \rightarrow \text{Acetone}$. In accordance with the k values, CHP and ACP were almost completely degraded in 4 h and the degradation product was acetone. It was found that using only UV-light could not degrade the phenolic compounds in the wastewater. However, with higher concentration of the catalyst and longer UV irradiation time (8-14 h), CHP concentration was greatly reduced.

Department : Materials Science..... Student's Signature

Field of Study : Ceramic Technology..... Advisor's Signature

Academic Year : 2011..... Co-advisor's Signature

กิตติกรรมประกาศ

วิทยานิพนธ์เล่มนี้สำเร็จลุล่วงได้ดี เนื่องจากได้รับความอนุเคราะห์ การสนับสนุนและความช่วยเหลือทั้งในด้านวิชาการ และการดำเนินการวิจัย จากท่านทั้งหลายและหน่วยงานต่างๆ ที่เกี่ยวข้อง ดังนี้

ผู้ช่วยศาสตราจารย์ ดร.ดุจฤทัย พงษ์เก่า คະชีมา อาจารย์ที่ปรึกษาวิทยานิพนธ์ และรองศาสตราจารย์ ดร.สุพัทธรา จินาวัดมน อาจารย์ที่ปรึกษาวิทยานิพนธ์ร่วม ที่กรุณาให้ความรู้ คำแนะนำ ความช่วยเหลือและการแก้ไขปัญหาตลอดระยะเวลาในการทำวิจัย

คณะกรรมการสอบวิทยานิพนธ์ และคณาจารย์ทุกท่าน ที่กรุณาเสียสละเวลาอันมีค่า มาให้ความรู้ คำชี้แนะเกี่ยวกับแนวทางในงานวิจัย และแก้ไขข้อบกพร่องของภาพเล่มวิทยานิพนธ์ให้ถูกต้องและสมบูรณ์มากยิ่งขึ้น

หน่วยปฏิบัติการวิจัยเซรามิกขั้นสูง ภาควิชาวัสดุศาสตร์ คณะวิทยาศาสตร์ จุฬาลงกรณ์มหาวิทยาลัย

ศูนย์ความเป็นเลิศด้านเทคโนโลยีปิโตรเคมีและวัสดุ และทุนอุดหนุนการศึกษาระดับบัณฑิตศึกษา จุฬาลงกรณ์มหาวิทยาลัย ที่ให้ทุนสนับสนุนด้านการศึกษา งานวิจัย และการนำเสนอผลงาน

สถาบันวิจัยโลหะและวัสดุ จุฬาลงกรณ์มหาวิทยาลัย ที่กรุณาให้การอนุเคราะห์ใช้เครื่องมือในการทดสอบของงานวิจัย

สถาบันวิจัยและเทคโนโลยี ปตท. วังน้อย ที่ให้ความอนุเคราะห์น้ำเสียมาทดลองในงานวิจัย และช่วยเหลือทางด้านการวิเคราะห์ผลการทดลอง

สุดท้ายขอขอบพระคุณครอบครัวผู้วิจัย ที่คอยให้การสนับสนุน และกำลังใจในทุกๆ ความสำเร็จมาโดยตลอด

สารบัญ

หน้า

บทคัดย่อภาษาไทย.....	ง
บทคัดย่อภาษาอังกฤษ.....	จ
กิตติกรรมประกาศ	ฉ
สารบัญ	ช
สารบัญตาราง	ฎ
บทที่ 1 บทนำ.....	1
1.1 ความเป็นมาและความสำคัญของปัญหา	1
1.2 วัตถุประสงค์ของการวิจัย	2
1.3 ขอบเขตของการวิจัย	2
1.4 ประโยชน์ที่คาดว่าจะได้รับ	2
บทที่ 2 เอกสารและงานวิจัยที่เกี่ยวข้อง.....	3
2.1 การสังเคราะห์ฟีนอล	3
2.1.1 การเตรียมฟีนอลจากควิมีน (Hock process)	3
2.1.2 การเตรียมฟีนอลจากกรดซัลโฟนิก	5
2.1.3 การเตรียมฟีนอลจากคลอโรเบนซีน (Dow process)	5
2.1.4 การเตรียมฟีนอลจากโทลูอีน	6
2.1.5 การเตรียมฟีนอลจากเกลือไดอะโซเนียม	6
2.1.6 การเตรียมฟีนอลด้วยวิธีอื่นๆ	7
2.2 สารประกอบฟีนอล	7
2.2.1 ฟีนอล	7
2.2.2 อะซีโตฟีโนน.....	9
2.2.3 ควิมีนไฮโดรเปอร์ออกไซด์	10
2.3 ตัวเร่งปฏิกิริยาเชิงแสง	12
2.4 เอกสารและงานวิจัยที่เกี่ยวข้อง	17
บทที่ 3 วิธีดำเนินงานวิจัย	25
3.1 สารเคมีวัตถุดิบและอุปกรณ์ที่ใช้ในการทดลอง	25

3.1.1 สารเคมีและวัตถุพิษ	25
3.1.2 อุปกรณ์ที่ใช้ในการทดลอง	26
3.2 ขั้นตอนการเตรียมสารและทดสอบปฏิกิริยาเชิงแสง	27
3.2.1 การเตรียมซิลิกาจากแกลบ	27
3.2.2 การสังเคราะห์ตัวเร่งปฏิกิริยาเชิงแสงไทเทเนีย/ซิลิกา	28
3.2.3 การทดสอบปฏิกิริยาเชิงแสงและตัวแปรที่มีผลต่อการกำจัดสารมาตรฐานฟีนอล : ฟีนอล อะซีโตฟีโนนและควีนไฮโดรเปอร์ออกไซด์ที่เป็นตัวแทนของน้ำเสีย	31
3.2.4 การทดสอบปฏิกิริยาเชิงแสงและตัวแปรที่มีผลต่อการกำจัดสารประกอบฟีนอลใน น้ำเสีย	31
3.3 การวิเคราะห์ลักษณะเฉพาะ	33
3.3.1 องค์ประกอบทางเฟสของตัวเร่งปฏิกิริยาเชิงแสง	33
3.3.2 การเคลือบติดของไทเทเนียบนซิลิกา	33
3.3.3 พื้นที่ผิวจำเพาะของตัวเร่งปฏิกิริยาเชิงแสง	33
3.3.4 ค่าการดูดกลืนแสงของสารประกอบฟีนอลและน้ำเสียหลังทำปฏิกิริยาเชิงแสง	33
3.3.5 ปริมาณและชนิดของสารหลังทำปฏิกิริยาเชิงแสงของสารประกอบฟีนอลและ น้ำเสีย	33
บทที่ 4 ผลการทดลอง	34
4.1 ผลการวิเคราะห์องค์ประกอบเฟสของซิลิกาจากแกลบ	34
4.2 ผลการวิเคราะห์องค์ประกอบเฟสของไทเทเนีย/ซิลิกา	34
4.3 ผลการวิเคราะห์พื้นที่ผิวจำเพาะของตัวเร่งปฏิกิริยาเชิงแสง	35
4.4 ผลการทดสอบการเคลือบติดของไทเทเนียบนซิลิกา	36
4.5 ค่า pH ที่เหมาะสมในการศึกษาปฏิกิริยาเชิงแสง	37
4.6 การคำนวณปริมาณของสารประกอบที่เกิดขึ้นหลังทำปฏิกิริยาเชิงแสง	39
4.7 ผลการศึกษาปฏิกิริยาเชิงแสงและตัวแปรที่มีผลต่อการแตกสลายสารประกอบมาตรฐาน ฟีนอล.....	41
4.7.1 ผลการทดลองปฏิกิริยาเชิงแสงต่อการแตกสลายสารประกอบมาตรฐานฟีนอล ...	41
4.7.2 ผลการทดลองใช้ไทเทเนีย-P25 เป็นตัวเร่งปฏิกิริยาเชิงแสงในสารประกอบ มาตรฐานฟีนอล	43

4.7.3 ผลการทดลองใช้ ไทเทเนีย/ซิลิกาเป็นตัวเร่งปฏิกิริยาเชิงแสงในสารประกอบมตรฐานฟีนอล	48
4.8 ผลการศึกษาปฏิกิริยาเชิงแสงและตัวแปรที่มีผลต่อการแตกสลายสารประกอบมาตรฐานควิมีนไฮโดรเปอร์ออกไซด์	51
4.8.1 ผลการทดลองปฏิกิริยาเชิงแสงของสารประกอบมาตรฐานควิมีนไฮโดรเปอร์ออกไซด์	51
4.8.2 ผลการทดลองใช้ไทเทเนีย P25 เป็นตัวเร่งปฏิกิริยาเชิงแสงในสารประกอบมาตรฐานควิมีนไฮโดรเปอร์ออกไซด์	53
4.8.3 ผลการทดลองใช้ไทเทเนีย/ซิลิกาเป็นตัวเร่งปฏิกิริยาเชิงแสงในสารประกอบมาตรฐานควิมีนไฮโดรเปอร์ออกไซด์	56
4.9 ผลการศึกษาปฏิกิริยาเชิงแสงและตัวแปรที่มีผลต่อการแตกสลายสารประกอบมาตรฐานอะซีโตฟีโนน	59
4.9.1 ผลการทดลองปฏิกิริยาเชิงแสงของสารประกอบมาตรฐานอะซีโตฟีโนน	59
4.9.2 ผลการทดลองใช้ ไทเทเนีย-P25 เป็นตัวเร่งปฏิกิริยาเชิงแสงในสารประกอบมาตรฐานอะซีโตฟีโนน	61
4.9.3 ผลการทดลองใช้ ไทเทเนีย/ซิลิกาเป็นตัวเร่งปฏิกิริยาเชิงแสงในสารประกอบมาตรฐานอะซีโตฟีโนน	64
4.10 ผลศึกษาปฏิกิริยาเชิงแสงและตัวแปรที่มีผลต่อการแตกสลายสารประกอบอินทรีย์ในน้ำเสีย	67
4.10.1 ผลการทดลองปฏิกิริยาเชิงแสงของน้ำเสียในสภาวะมืด	67
4.10.1.1 ผลการทดลองปฏิกิริยาเชิงแสงของน้ำเสีย	67
4.10.1.2 ผลการทดลองใช้ไทเทเนีย-P25 เป็นตัวเร่งปฏิกิริยาเชิงแสงในน้ำเสีย ..	68
4.10.1.3 ผลการทดลองใช้ไทเทเนีย/ซิลิกาเป็นตัวเร่งปฏิกิริยาเชิงแสงในน้ำเสีย .	70
4.11 ผลการทดลองปฏิกิริยาเชิงแสงของน้ำเสียภายใต้การฉายรังสียูวี	72
4.11.1 ปฏิกิริยาเชิงแสงในน้ำเสีย	72
4.11.2 ผลการทดลองใช้ ไทเทเนีย-P25 เป็นตัวเร่งปฏิกิริยาเชิงแสงในน้ำเสีย	73
4.11.3 ผลการทดลองใช้ ไทเทเนีย/ซิลิกาเป็นตัวเร่งปฏิกิริยาเชิงแสงในน้ำเสีย	77

4.12 ผลการศึกษาการตกตะกอนของตัวเร่งปฏิกิริยาชนิดต่างๆที่มีผลต่อสารประกอบอินทรีย์ ในน้ำเสีย	83
บทที่ 5 สรุปผลการวิจัย อภิปรายผล และข้อเสนอแนะ	86
5.1 สรุปผลการวิจัย	86
5.2 ข้อเสนอแนะ.....	88
รายการอ้างอิง.....	89
ภาคผนวก.....	96
ภาคผนวก ก.....	97
ภาคผนวก ข.....	115
ประวัติผู้เขียนวิทยานิพนธ์.....	116

สารบัญตาราง

หน้า

ตารางที่ 2.1 สมบัติทางกายภาพของฟีนอลและอนุพันธ์ฟีนอล.....	9
ตารางที่ 2.2 สมบัติทางกายภาพและเคมีของควิมีนไฮโดรเปอร์ออกไซด์.....	11
ตารางที่ 2.3 คุณสมบัติเฉพาะของไทเทเนีย-P25.....	15
ตารางที่ 4.1 พื้นที่ผิวจำเพาะของตัวเร่งปฏิกิริยาเชิงแสงแต่ละชนิด	36
ตารางที่ 4.2 ปริมาณสาร ประสิทธิภาพการแตกสลายและอัตราการแตกสลายของสารประกอบ มาตรฐานฟีนอลหลังฉายรังสียูวี 1-4 ชั่วโมง.....	50
ตารางที่ 4.3 ปริมาณสาร ประสิทธิภาพการแตกสลายและอัตราการแตกสลายของสารประกอบ มาตรฐานควิมีนไฮโดรเปอร์ออกไซด์หลังฉายรังสียูวี 1-4 ชั่วโมง	58
ตารางที่ 4.4 ปริมาณสาร ประสิทธิภาพการแตกสลายและอัตราการแตกสลายของสารประกอบ มาตรฐานอะซีโตฟีโนนหลังฉายรังสียูวี 1-4 ชั่วโมง.....	66
ตารางที่ 4.5 ประสิทธิภาพในการแตกสลายสารอินทรีย์ในน้ำเสียหลังฉายรังสียูวีเป็นเวลา 8 ชั่วโมง โดยใช้ตัวเร่งปฏิกิริยาเชิงแสงไทเทเนีย-P25และไทเทเนีย/ซิลิกา	82
ตารางที่ 4.6 การตกตะกอนของตัวเร่งปฏิกิริยาเชิงแสงแต่ละชนิดในน้ำเสีย	85

สารบัญภาพ

	หน้า
ภาพที่ 2.1 ปฏิริยาการเกิดควมึน.....	4
ภาพที่ 2.2 การเตรียมฟีนอลจากควมึน	4
ภาพที่ 2.3 การเตรียมฟีนอลจากกรดซัลฟอนิก	5
ภาพที่ 2.4 การเตรียมฟีนอลจากคลอโรเบนซีน	5
ภาพที่ 2.5 ปฏิริยาการเกิดกรดเบนโซอิก	6
ภาพที่ 2.6 การเตรียมฟีนอลจากโกลูอิน.....	6
ภาพที่ 2.7 กระบวนการเตรียมฟีนอลจากเกลือไดอะโซเนียม	7
ภาพที่ 2.8 สูตรโครงสร้างทางเคมีของฟีนอลและอนุพันธ์ของฟีนอล.....	8
ภาพที่ 2.9 สูตรโครงสร้างทางเคมีของอะซีโตฟีโนน.....	10
ภาพที่ 2.10 สูตรเคมีของควมึนไฮโดรเปอร์ออกไซด์	10
ภาพที่ 2.11 กลไกการเกิดปฏิริยาเชิงแสงของไทเทเนีย.....	14
ภาพที่ 2.12 ลักษณะรูปทรงของแถบที่ไม่ได้เผา.....	16
ภาพที่ 2.13 ลักษณะผิวภายในของซิลิกาที่ได้จากการเผาแถบ.....	17
ภาพที่ 2.14 ค่าการดูดกลืนแสงของฟีนอลหลังจากฉายแสงยูวี	18
ภาพที่ 2.15 แผนผังการแตกสลายด้วยแสงของฟีนอล	19
ภาพที่ 2.16 ปฏิริยาออกซิเดชันของฟีนอลโดยระบบยูวี/ไฮโดรเจนเปอร์ออกไซด์.....	20
ภาพที่ 2.17 ภาพ SEM ของอนุภาคไทเทเนียที่เกาะติดบน NaX zeolite.....	23
ภาพที่ 3.1 ลักษณะของแถบก่อนและหลังเผา (ก.) แถบก่อนเผา (ข.) แถบหลังเผา.....	27
ภาพที่ 3.2 แผนผังการเตรียมซิลิกาจากแถบ.....	28
ภาพที่ 3.3 แผนผังการสังเคราะห์ไทเทเนีย/ซิลิกา	30
ภาพที่ 3.4 แผนผังการทดสอบปฏิริยาเชิงแสงของสารประกอบฟีนอลมาตรฐานและน้ำเสีย	32
ภาพที่ 4.1 XRD pattern ของซิลิกา เผาที่อุณหภูมิ 700°C เป็นเวลา 3 ชั่วโมง ที่ 2theta = 10-70°	34
ภาพที่ 4.2 XRD pattern ของไทเทเนีย-P25 และไทเทเนีย/ซิลิกา.....	35
ภาพที่ 4.3 โครงสร้างจุลภาคของไทเทเนีย/ซิลิกาที่กำลังขยาย (ก.) 500 เท่า (ข.) 20,000 เท่า....	36
ภาพที่ 4.4 ธาตุองค์ประกอบของไทเทเนีย/ซิลิกาด้วย EDS.....	37
ภาพที่ 4.5 เปรียบเทียบค่าการดูดกลืนแสงของน้ำเสียที่ pH = 4 7 และ 11.....	38

ภาพที่ 4.6 UV-VIS spectrum ของควิมีนในอะซีโตไนไตรล์.....	38
ภาพที่ 4.7 พีคเฉพาะของฟีนอลที่ retention time = 3.046 นาที.....	39
ภาพที่ 4.8 พีคเฉพาะของควิมีนไฮโดรเปอร์ออกไซด์ที่ retention time = 4.964 นาที.....	40
ภาพที่ 4.9 พีคเฉพาะของอะซีโตฟีโนนที่ retention time = 4.450 นาที.....	40
ภาพที่ 4.10 ผลการทดสอบ UV-VIS Spectrophotometer ของสารประกอบมาตรฐานฟีนอล....	42
ภาพที่ 4.11 ผลการวิเคราะห์ด้วยเครื่อง HPLC ของสารประกอบมาตรฐานฟีนอล.....	42
ภาพที่ 4.12 ผลการทดสอบ UV-VIS Spectrophotometer ของสารประกอบมาตรฐานฟีนอลโดย ใช้ไทเทเนีย-P25 ปริมาณ (ก) 1g/L (ข) 2g/L.....	44
ภาพที่ 4.13 ผลการวิเคราะห์ด้วยเครื่อง HPLC ของสารประกอบมาตรฐานฟีนอลโดยใช้ ไทเทเนีย-P25 ปริมาณ (ก) 1g/L (ข) 2g/L.....	46
ภาพที่ 4.14 UV-VIS spectrum ของอะซีโตน.....	46
ภาพที่ 4.15 อัตราการแตกสลายสารประกอบมาตรฐานฟีนอลด้วยตัวเร่งปฏิกิริยาไทเทเนีย-P25 ปริมาณ (ก) 1g/L (ข) 2g/L.....	47
ภาพที่ 4.16 ผลการทดสอบ UV-VIS Spectrophotometer ของสารประกอบมาตรฐานฟีนอลโดย ใช้ไทเทเนีย/ซิลิกาปริมาณ 2 g/L.....	49
ภาพที่ 4.17 ผลการวิเคราะห์ด้วยเครื่อง HPLC ของสารประกอบมาตรฐานฟีนอลโดยใช้ ไทเทเนีย/ซิลิกาปริมาณ 2 g/L.....	49
ภาพที่ 4.18 อัตราการแตกสลายสารประกอบมาตรฐานฟีนอลด้วยตัวเร่งปฏิกิริยาไทเทเนีย/ซิลิกา ปริมาณ 2g/L.....	50
ภาพที่ 4.19 ผลการทดสอบ UV-VIS Spectrophotometer ของสารประกอบมาตรฐาน ควิมีนไฮโดรเปอร์ออกไซด์.....	52
ภาพที่ 4.20 ผลการวิเคราะห์ด้วยเครื่อง HPLC ของสารประกอบมาตรฐาน ควิมีนไฮโดรเปอร์ออกไซด์.....	52
ภาพที่ 4.21 ผลการทดสอบ UV-VIS Spectrophotometer ของสารประกอบมาตรฐาน ควิมีนไฮโดรเปอร์ออกไซด์โดยใช้ ไทเทเนีย-P25 ปริมาณ (ก) 1 g/L (ข) 2 g/L.....	54
ภาพที่ 4.22 ผลการวิเคราะห์ด้วยเครื่อง HPLC ของสารประกอบมาตรฐานควิมีนไฮโดรเปอร์ ออกไซด์โดยใช้ไทเทเนีย-P25 ปริมาณ (ก) 1 g/L (ข) 2 g/L.....	55

ภาพที่ 4.23 อัตราการแตกสลายสารประกอบมาตรฐานควินินไฮโดรเปอร์ออกไซด์ด้วยตัวเร่ง ปฏิกิริยาไทเทเนีย-P25 ปริมาณ (ก) 1 g/L (ข) 2 g/L	56
ภาพที่ 4.24 ผลการทดสอบ UV-VIS Spectrophotometer ของสารประกอบมาตรฐาน ควินินไฮโดรเปอร์ออกไซด์โดยใช้ ไทเทเนีย/ซิลิกาปริมาณ 2 g/L	57
ภาพที่ 4.25 ผลการวิเคราะห์ด้วยเครื่อง HPLC ของสารประกอบมาตรฐานควินินไฮโดรเปอร์ ออกไซด์โดยใช้ไทเทเนีย/ซิลิกาปริมาณ 2 g/L	57
ภาพที่ 4.26 อัตราการแตกสลายสารประกอบมาตรฐานควินินไฮโดรเปอร์ออกไซด์ด้วยตัวเร่ง ปฏิกิริยาไทเทเนีย/ซิลิกาปริมาณ 2 g/L	58
ภาพที่ 4.27 ผลการทดสอบ UV-VIS Spectrophotometer ของสารประกอบมาตรฐาน อะซีโตฟีโนน.....	60
ภาพที่ 4.28 ผลการวิเคราะห์ด้วยเครื่อง HPLC ของสารประกอบมาตรฐานอะซีโตฟีโนน	60
ภาพที่ 4.29 อัตราการแตกสลายของสารประกอบมาตรฐานอะซีโตฟีโนน.....	61
ภาพที่ 4.30 ผลการทดสอบ UV-VIS Spectrophotometer ของสารประกอบมาตรฐาน อะซีโตฟีโนนโดยใช้ไทเทเนีย-P25 ปริมาณ (ก) 1 g/L (ข) 2 g/L.....	62
ภาพที่ 4.31 ผลการวิเคราะห์ด้วยเครื่อง HPLC ของสารประกอบมาตรฐานอะซีโตฟีโนนโดยใช้ ไทเทเนีย-P25 ปริมาณ (ก) 1 g/L (ข) 2 g/L.....	63
ภาพที่ 4.32 อัตราการแตกสลายสารประกอบมาตรฐานสลายอะซีโตฟีโนนด้วยตัวเร่งปฏิกิริยา ไทเทเนีย-P25 ปริมาณ (ก) 1 g/L (ข) 2 g/L.....	64
ภาพที่ 4.33 ผลการทดสอบ UV-VIS Spectrophotometer ของสารประกอบมาตรฐาน อะซีโตฟีโนนโดยใช้ไทเทเนีย/ซิลิกาปริมาณ 2 g/L	65
ภาพที่ 4.34 ผลการวิเคราะห์ด้วยเครื่อง HPLC ของสารประกอบมาตรฐานอะซีโตฟีโนนโดยใช้ ไทเทเนีย/ซิลิกาปริมาณ 2 g/L	65
ภาพที่ 4.35 อัตราการแตกสลายสารประกอบมาตรฐานอะซีโตฟีโนนด้วยตัวเร่งปฏิกิริยา ไทเทเนีย/ซิลิกาปริมาณ 2g/L	66
ภาพที่ 4.36 ผลการทดสอบ UV-VIS Spectrophotometer ของน้ำเสียที่สภาวะมืด	68
ภาพที่ 4.37 ผลการวิเคราะห์ด้วยเครื่อง HPLC ของน้ำเสียในสภาวะมืด	68
ภาพที่ 4.38 ผลการทดสอบ UV-VIS Spectrophotometer ของไทเทเนีย-P25 ปริมาณ 15 g/L ใน น้ำเสียที่สภาวะมืด	69

ภาพที่ 4.39 ผลการวิเคราะห์ด้วยเครื่อง HPLC ของไทเทเนีย-P25 ปริมาณ 15 g/L ในน้ำเสียที่
 สภาวะมืด..... 69

ภาพที่ 4.40 ผลการทดสอบ UV-VIS Spectrophotometer ของน้ำเสียในสภาวะมืดโดยใช้
 ไทเทเนีย/ซิลิกาปริมาณ (ก) 50 g/L (ข) 100 g/L..... 71

ภาพที่ 4.41 ผลการวิเคราะห์ด้วยเครื่อง HPLC ของน้ำเสียในสภาวะมืดโดยใช้ไทเทเนีย/ซิลิกา
 ปริมาณ (ก) 50 g/L (ข) 100 g/L..... 71

ภาพที่ 4.42 ผลการทดสอบ UV-VIS Spectrophotometer ของน้ำเสีย 72

ภาพที่ 4.43 ผลการวิเคราะห์ด้วยเครื่อง HPLC ของน้ำเสีย..... 73

ภาพที่ 4.44 ผลการทดสอบ UV-VIS Spectrophotometer ของน้ำเสียโดยใช้ไทเทเนีย-P25
 ปริมาณ (ก) 1 g/L (ข) 5 g/L (ค) 10 g/L (ง) 15 g/L 76

ภาพที่ 4.45 ผลการวิเคราะห์ด้วยเครื่อง HPLC ของน้ำเสียโดยใช้ไทเทเนีย-P25 ปริมาณ (ก) 1 g/L
 (ข) 5 g/L (ค) 10 g/L (ง) 15 g/L..... 77

ภาพที่ 4.46 ผลการทดสอบ UV-VIS Spectrophotometer ของน้ำเสียโดยใช้ไทเทเนีย/ซิลิกา
 ปริมาณ (ก) 1 g/L (ข) 5 g/L (ค) 10 g/L (ง) 50 g/L (จ) 100 g/L 80

ภาพที่ 4.47 ผลการวิเคราะห์ด้วยเครื่อง HPLC ของน้ำเสียโดยใช้ไทเทเนีย/ซิลิกาปริมาณ (ก) 1 g/L
 (ข) 5 g/L (ค) 10 g/L (ง) 50 g/L (จ) 100 g/L..... 82

บทที่ 1

บทนำ

1.1 ความเป็นมาและความสำคัญของปัญหา

ในชีวิตประจำวันมีการปล่อยน้ำเสียออกมาเป็นจำนวนมากจากอาคารบ้านเรือนและโรงงานอุตสาหกรรม ซึ่งน้ำเสียที่ปล่อยออกมานั้นส่วนใหญ่มีสารพิษในปริมาณที่เกินมาตรฐานที่กำหนดไว้ สารพิษที่อยู่ในน้ำเสียเป็นสารอินทรีย์ที่มีโครงสร้างเป็นวงอโรมาติก ซึ่งยากต่อการทำปฏิกิริยาออกซิเดชัน จึงกลายเป็นสารตกค้างในสิ่งแวดล้อมเป็นเวลานาน ส่งผลกระทบต่อแหล่งน้ำและสุขภาพของมนุษย์ ทำให้มีความจำเป็นที่ต้องบำบัดน้ำเสียก่อนปล่อยลงสู่แหล่งน้ำ วิธีเดิมในการบำบัดน้ำเสียได้แก่ ระบบดูดซับด้วยผงถ่านกัมมันต์ (activated carbon adsorption) พบว่าคาร์บอนที่ใช้ในการดูดซับสารอินทรีย์กลายเป็นของเสียชนิดใหม่ที่ต้องกำจัด และการบำบัดน้ำเสียด้วยการแตกสลายทางชีวภาพ พบว่าสารอินทรีย์ที่เป็นพิษบางชนิดในน้ำเสียไปกำจัดจุลินทรีย์ที่เป็นประโยชน์ต่อการแตกสลายทางชีวภาพ ดังนั้น ทำให้มีการค้นคว้าหาวิธีอื่นที่เหมาะสมต่อการบำบัดน้ำเสีย จากการศึกษางานวิจัยพบว่า การบำบัดน้ำเสียโดยปฏิกิริยาเชิงแสงเป็นวิธีที่เหมาะสมที่สุด

ปฏิกิริยาเชิงแสงเหมาะสมในการบำบัดน้ำเสียเนื่องจากไม่มีความซับซ้อนในการใช้งาน ต้นทุนต่ำ และไม่หลงเหลือสารพิษตกค้างหลังการบำบัดน้ำเสีย ซึ่งปฏิกิริยาเชิงแสงมีการใช้ตัวเร่งปฏิกิริยาเชิงแสงในการเพิ่มประสิทธิภาพการแตกสลายสารอินทรีย์ เช่น ไทเทเนีย (TiO_2) ซิงค์ออกไซด์ (ZnO) ซิงค์ซัลเฟต (ZnSO_4) แคดเมียมซัลไฟด์ (CdS) และไอรอนออกไซด์ (FeO) จากการศึกษาพบว่า ไทเทเนีย เป็นตัวเร่งปฏิกิริยาเชิงแสงที่มีศักยภาพสูงที่สุด เนื่องจากไทเทเนียเป็นตัวเร่งปฏิกิริยาเชิงแสงที่มีประสิทธิภาพสูง ส่งเคราะห์จากวัตถุดิบที่มีราคาถูก หาได้ง่าย ไม่เป็นพิษ ไม่ละลายน้ำ มีความคงทนทางเคมี และเป็นสารกึ่งตัวนำที่มีช่องแถบพลังงาน (energy band gap) 3.2 eV ซึ่งถูกกระตุ้นให้ทำปฏิกิริยาเชิงแสงได้ง่ายเมื่อมีรังสียูวีที่มีความยาวคลื่นน้อยกว่า 388 นาโนเมตร ดังนั้นงานวิจัยนี้จึงมุ่งเน้นศึกษาปฏิกิริยาเชิงแสงของไทเทเนียที่มีต่อน้ำเสียจากโรงงานอุตสาหกรรม ตัวเร่งปฏิกิริยาเชิงแสงที่ดีควรมีพื้นที่ผิวจำเพาะสูง มีความสามารถในการ

ดูดกลืนและแตกสลายสารพิษอินทรีย์ วิธีหนึ่งในการเพิ่มความสามารถในการดูดซับของไทเทเนียคือใช้ชั้นสเตรตที่มีพื้นที่ผิวและรูพรุนสูง พบว่าซิลิกาเป็นวัสดุที่เหมาะสมในการทำเป็นชั้นสเตรตให้กับไทเทเนีย เพราะซิลิกามีความเฉื่อยต่อการทำปฏิกิริยาเคมี มีความโปร่งแสงเมื่อถูกฉายด้วยรังสียูวีและมีพื้นที่ผิวสูง ในแต่ละปีประเทศไทยมีปริมาณแกลบเป็นผลิตภัณฑ์ผลพลอยได้จากการปลูกข้าวเป็นจำนวนมาก ผู้วิจัยจึงมีแนวคิดที่จะนำแกลบซึ่งเป็นแหล่งของซิลิกามาทำเป็นชั้นสเตรตสำหรับไทเทเนีย เนื่องจากแกลบมีรูพรุนสูง และเมื่อเผาที่อุณหภูมิสูงแล้วมีองค์ประกอบทางเคมีเป็นซิลิกาที่มีรูพรุนทั้งระดับนาโนและไมโครเมตร (nano-micro) อีกทั้งยังมีความบริสุทธิ์สูง ดังนั้นแกลบจึงมีความเหมาะสมอย่างยิ่งที่จะนำมาเป็นแหล่งซิลิกาเพื่อเป็นชั้นสเตรตชนิดพรุน

งานวิจัยนี้มุ่งเน้นที่จะศึกษาประสิทธิภาพของตัวเร่งปฏิกิริยาไทเทเนีย 2 ชนิด คือ ไทเทเนีย-P25 ซึ่งเป็นไทเทเนียที่ใช้ในทางการค้าที่มีประสิทธิภาพที่ดีที่สุดในปัจจุบัน และไทเทเนีย/ซิลิกา ที่มาจากการสังเคราะห์ไทเทเนียมไดรอกไซด์โดยใช้ซิลิกาเป็นชั้นสเตรต

1.2 วัตถุประสงค์ของการวิจัย

ศึกษาภาวะที่เหมาะสมในการแตกสลายสารประกอบฟีนอลจากน้ำเสียโดยใช้ตัวเร่งปฏิกิริยาเชิงแสงไทเทเนีย-P25 และไทเทเนีย/ซิลิกา เพื่อนำข้อมูลที่ได้มาวิเคราะห์สารที่เกิดจากการแตกสลายสารประกอบฟีนอล และ reaction kinetics ในการแตกสลาย

1.3 ขอบเขตของการวิจัย

สังเคราะห์ตัวเร่งปฏิกิริยาเชิงแสง ไทเทเนีย/ซิลิกา วิเคราะห์สมบัติเฉพาะ และศึกษาประสิทธิภาพในการแตกสลายสารประกอบฟีนอล ของไทเทเนีย/ซิลิกา เปรียบเทียบกับไทเทเนีย-P25 ที่ภาวะต่างๆ เช่น ปริมาณตัวเร่งปฏิกิริยา เวลาในการฉายรังสียูวี และ pH ที่เหมาะสมต่อการแตกสลายสารประกอบฟีนอลในน้ำเสีย และชนิดของสารที่เกิดจากการแตกสลาย

1.4 ประโยชน์ที่คาดว่าจะได้รับ

ได้ข้อมูลเกี่ยวกับสมบัติเฉพาะ ภาวะที่เหมาะสม และ reaction kinetics ในการแตกสลายสารประกอบฟีนอลจากน้ำเสียของตัวเร่งปฏิกิริยาเชิงแสงไทเทเนีย/ซิลิกา ที่เตรียมขึ้นมา ซึ่งอาจนำไปสู่การพัฒนาตัวเร่งปฏิกิริยาไทเทเนียให้มีประสิทธิภาพสูงในการกำจัดน้ำเสียต่อไป

บทที่ 2

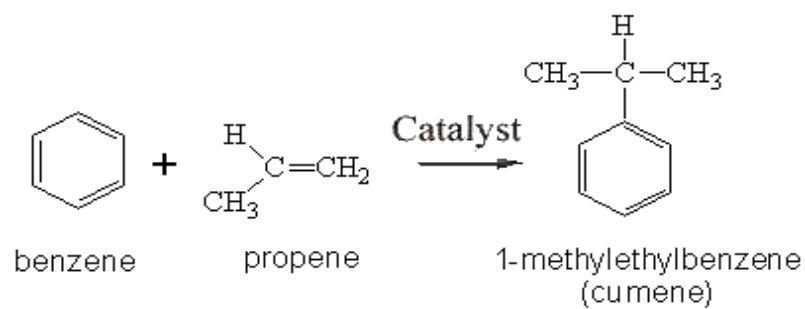
เอกสารและงานวิจัยที่เกี่ยวข้อง

ในงานวิจัยนี้ มีจุดมุ่งหมายที่จะแตกสลายสารประกอบฟีนอลจากน้ำเสียโดยใช้ปฏิกิริยาเชิงแสง ซึ่งปฏิกิริยาเชิงแสงนี้จะใช้ตัวเร่งปฏิกิริยาเชิงแสงช่วยในการทำปฏิกิริยา นอกจากนี้ ตัวเร่งปฏิกิริยาเชิงแสงที่นิยมใช้เป็นจำนวนมากในปัจจุบัน ทั้งยังมีประสิทธิภาพที่ดีที่สุดด้วยก็คือไทเทเนีย ซึ่งในงานวิจัยนี้ได้เพิ่มประสิทธิภาพของตัวเร่งปฏิกิริยาเชิงแสงโดยการสังเคราะห์ไทเทเนียแล้วเคลือบลงบนซิลิกา โดยใช้ซิลิกานั้นเป็นชั้นสเตรตชนิดที่มีรูพรุนสูงเพื่อเป็นการเพิ่มความสามารถในการดูดซับสารประกอบฟีนอลจากน้ำเสีย

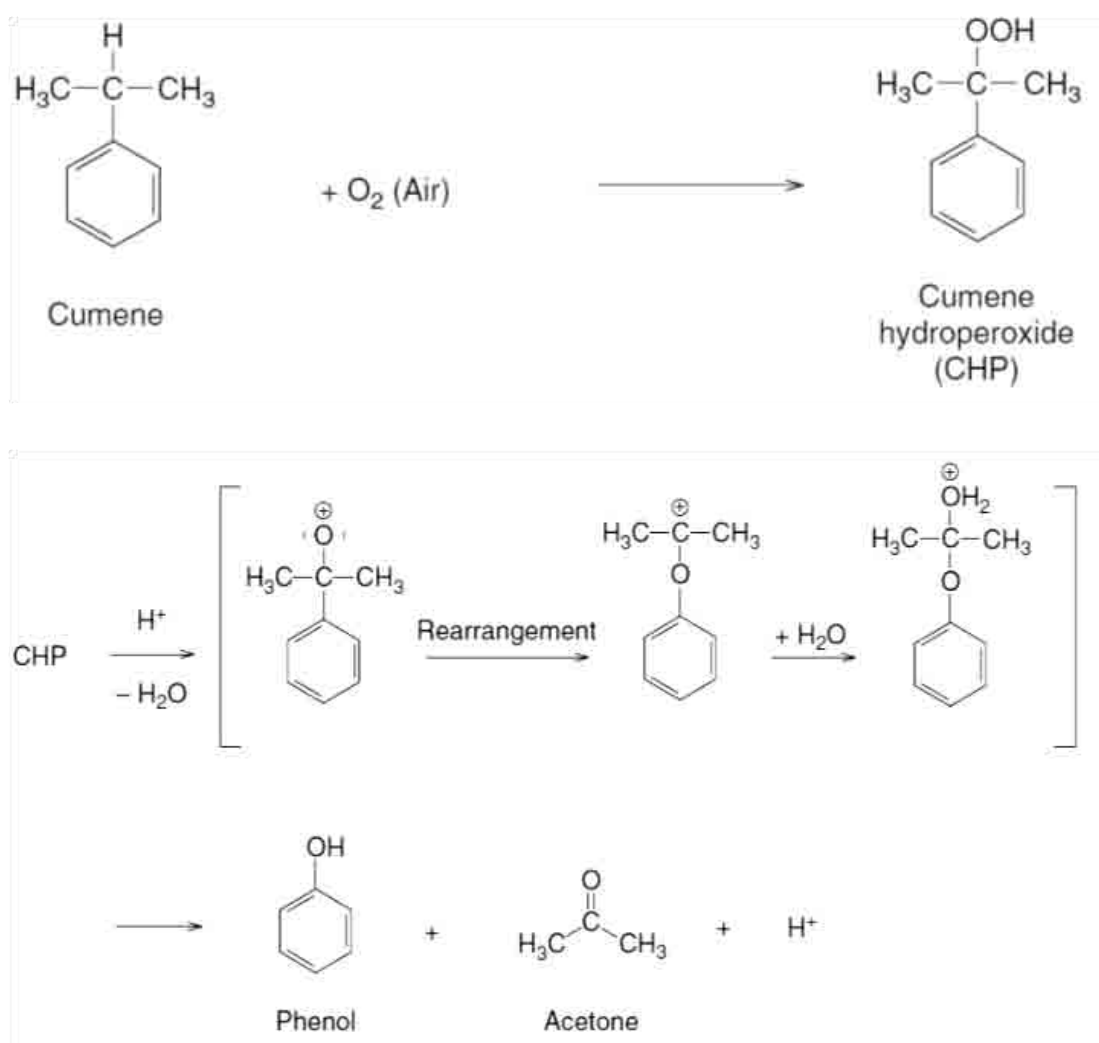
2.1 การสังเคราะห์ฟีนอล⁽¹⁻⁴⁾

2.1.1 การเตรียมฟีนอลจากควินิน (Hock process)

กระบวนการนี้สามารถผลิตฟีนอลได้ในปริมาณมากโดยใช้ควินินเป็นสารตั้งต้นในการเกิดปฏิกิริยา ซึ่งควินินสามารถเตรียมได้จากการทำปฏิกิริยาระหว่างเบนซีนและโพรฟิน ซึ่งมี heterogeneous zeolite เป็นตัวเร่งปฏิกิริยา ดังแสดงในภาพที่ 2.1 และควินินที่ได้จะถูกออกซิไดซ์กับออกซิเจนในอากาศได้ควินินไฮโดรเปอร์ออกไซด์ จากนั้นควินินไฮโดรเปอร์ออกไซด์ถูกแตกพันธะที่ส่วนบนของวงเบนซีนของควินินไฮโดรเปอร์ออกไซด์โดยใช้กรดเป็นตัวเร่งปฏิกิริยาได้ฟีนอลและอะซีโตนออกมาดังภาพที่ 2.2 นอกจากนี้ยังพบว่าภายใต้สภาวะที่เหมาะสม ควินินปริมาณ 1.31 ตัน สามารถผลิตฟีนอลได้ 1 ตันและอะซีโตน 0.615 ตัน นอกจากนี้ความบริสุทธิ์ของฟีนอลที่ได้จากกระบวนการนี้คือ 99.99 % โดยน้ำหนัก ซึ่งมีปริมาณสารเจือปนเกิดขึ้นเพียง 60 ppm เท่านั้น



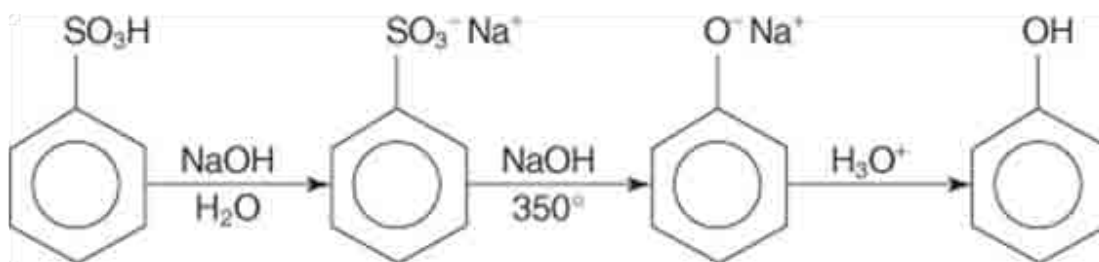
ภาพที่ 2.1 ปฏิกริยาการเกิดควิมีน⁽⁴⁾



ภาพที่ 2.2 การเตรียมฟีนอลจากควิมีน⁽⁴⁾

2.1.2 การเตรียมฟีนอลจากกรดซัลฟินิก

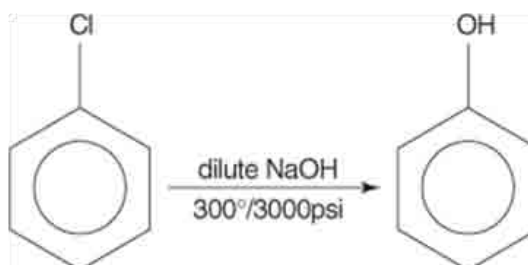
ในกระบวนการนี้ นำกรดซัลฟินิกมาทำปฏิกิริยากับสารละลายโซเดียมไฮดรอกไซด์ และเกลือที่ได้นำไปผสมกับโซเดียมไฮดรอกไซด์ พร้อมกับหลอมที่อุณหภูมิ 350°C จากนั้นทำให้มีความเป็นกลางด้วยกรด เพื่อให้ได้ฟีนอล ดังแสดงในภาพที่ 2.3



ภาพที่ 2.3 การเตรียมฟีนอลจากกรดซัลฟินิก⁽²⁾

2.1.3 การเตรียมฟีนอลจากคลอโรเบนซีน (Dow process)

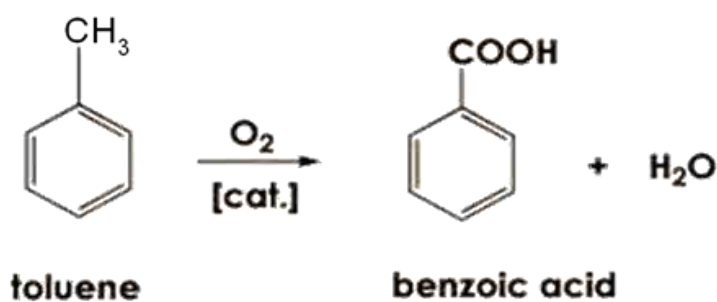
กระบวนการนี้ ใช้คลอโรเบนซีนทำปฏิกิริยากับโซเดียมไฮดรอกไซด์เจือจาง แต่พันธะ $\text{C} - \text{Cl}$ ของสารอะโรมาติกที่สลายได้ยาก จึงต้องทำภายใต้อุณหภูมิและความดันสูง (300 องศาเซลเซียส ความดัน 300 psi) ดังภาพที่ 2.4



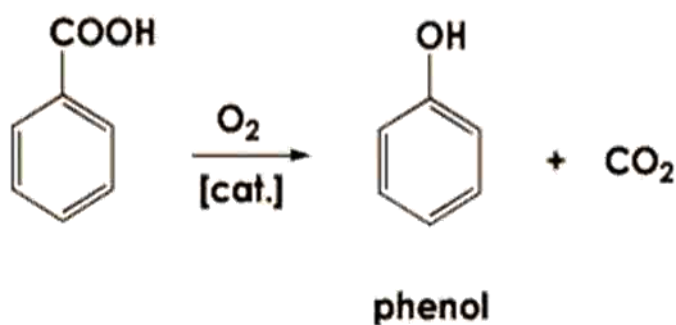
ภาพที่ 2.4 การเตรียมฟีนอลจากคลอโรเบนซีน⁽²⁾

2.1.4 การเตรียมฟีนอลจากโทลูอิน

กระบวนการนี้มี 2 ขั้นตอน คือ ขั้นแรกเริ่มจากโทลูอินถูกออกซิไดซ์โดยใช้โคบอลท์เป็นตัวเร่งปฏิกิริยากลายเป็นกรดเบนโซอิกดังภาพที่ 2.5 ต่อมากกรดเบนโซอิกถูกตั้งคาร์บอนไดออกไซด์ออกจากโมเลกุลโดยใช้คอปเปอร์เป็นตัวเร่งปฏิกิริยาเพื่อที่จะผลิตฟีนอลออกมา ดังแสดงในภาพที่ 2.6 ซึ่งกระบวนการนี้สามารถเตรียมฟีนอลได้ประมาณ 88%



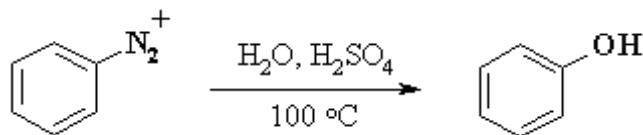
ภาพที่ 2.5 ปฏิกิริยาการเกิดกรดเบนโซอิก⁽²⁾



ภาพที่ 2.6 การเตรียมฟีนอลจากโทลูอิน⁽²⁾

2.1.5 การเตรียมฟีนอลจากเกลือไดอะโซเนียม

เกลือไดอะโซเนียม ซึ่งเตรียมจากปฏิกิริยาระหว่าง แอริลเอมีนกับกรดไนตริก (HNO_2) สามารถเปลี่ยนเป็นฟีนอลได้โดยการแทนที่ด้วยหมู่ไฮดรอกซิลจากน้ำ และให้ความร้อนที่อุณหภูมิ 100 องศาเซลเซียส ดังแสดงในภาพที่ 2.7



ภาพที่ 2.7 กระบวนการเตรียมฟีนอลจากเกลือไดอะโซเนียม⁽²⁾

2.1.6 การเตรียมฟีนอลด้วยวิธีอื่นๆ

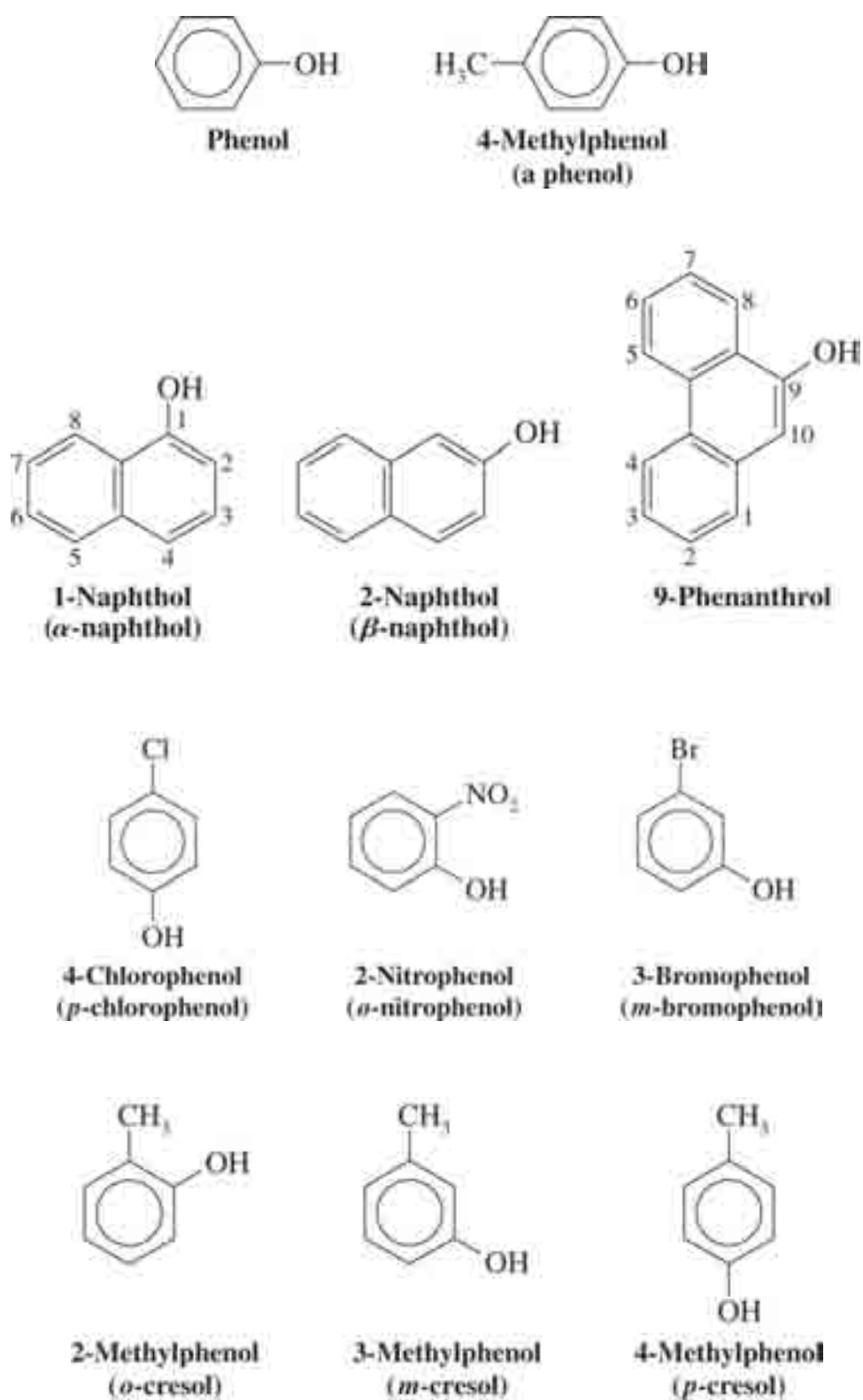
นอกเหนือจากที่กล่าวมา การเตรียมฟีนอลยังสามารถทำได้อีกหลายวิธี เช่น การเปลี่ยนไซโคลเฮกซีนไปเป็น ไซโคลเฮกซานอล-ไซโคลเฮกซาโนน (cyclohexanol-cyclohexanone) ตามด้วยการไฮโดรจีเนทเพื่อเปลี่ยนเป็นฟีนอล และการทำปฏิกิริยาของคลอรีนและเบนซีนด้วยการไฮโดรไลซิสของคลอโรเบนซีน

2.2 สารประกอบฟีนอล

น้ำเสียจากโรงกลั่นฟีนอลมักจะพบสารประกอบอินทรีย์ เช่น ฟีนอล อะซีโตฟีโนน และคิวมีน ไฮโดรเปอร์ออกไซด์ปะปนอยู่เป็นจำนวนมาก และสารเหล่านี้ต่างเป็นสารพิษที่เป็นอันตรายต่อระบบนิเวศและสุขภาพมนุษย์เป็นอย่างมาก⁽⁴⁻⁹⁾ โดยสารเหล่านี้ ได้แก่

2.2.1 ฟีนอล^(4,10-11)

ฟีนอลเป็นสารประกอบอโรมาติกที่มีกลุ่มไฮดรอกซิลมากกว่าหนึ่งทำพันธะกับวงอโรมาติก ส่งผลให้ฟีนอลนั้นมีอนุพันธ์ของฟีนอลเกิดขึ้น ทั้งยังมีโครงสร้างทางเคมีที่หลากหลาย ดังแสดงในภาพที่ 2.8 โดยสูตรทางเคมีของฟีนอล คือ $\text{C}_6\text{H}_5\text{OH}$ และตารางที่ 2.1 แสดงถึงสมบัติทางกายภาพของฟีนอลและอนุพันธ์ของฟีนอล



ภาพที่ 2.8 สูตรโครงสร้างทางเคมีของฟีนอลและอนุพันธ์ของฟีนอล⁽⁴⁾

ตารางที่ 2.1 สมบัติทางกายภาพของฟีนอลและอนุพันธ์ฟีนอล⁽⁴⁾

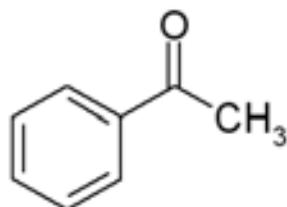
Name	MW	MP (°C)	BP (°C)	pK _a 25°C
Phenol Hydroxybenzene	94.1	40.9	181.8	10
o-Cresol 2-Methylphenol	108.1	31	191	10.32
m-Cresol 3-Methylphenol	108.1	12.2	202.2	10.09
p-Cresol 4-Methylphenol	108.1	34.7	201.9	10.27
2,3-Xylenol 2,3-Dimethylphenol	122.2	72.6	216.9	10.54
2,4-Xylenol 2,4-Dimethylphenol	122.2	24.5	210.9	10.6
2,5-Xylenol 2,5-Dimethylphenol	122.2	74.9	211.1	10.41
2,6-Xylenol 2,6-Dimethylphenol	122.2	45.6	201	10.63
3,4-Xylenol 3,4-Dimethylphenol	122.2	65.1	227	10.36
3,5-Xylenol 3,5-Dimethylphenol	122.2	63.3	221.7	10.19
Resorcinol 3-Hydroxyphenol	110.1	109.8	276.5	–
Bisphenol-A 2,2-Bis(4-hydroxyphenyl)propane	228.3	157.3	–	–

ฟีนอลในสภาวะของแข็งจะไม่มีสี เมื่อสัมผัสถูกอากาศจะเปลี่ยนเป็นสีชมพูอย่างรวดเร็วถ้าฟีนอลมีสิ่งเจือปนที่มาจากกระบวนการผลิตอยู่⁽¹⁰⁾ เช่น เหล็กหรือทองแดง นอกจากนี้ ยังมีการนำฟีนอลซึ่งเป็นสารที่มีความเป็นพิษสูงไปใช้อย่างหลากหลายในกระบวนการอุตสาหกรรม เช่น ในอุตสาหกรรมสี ยาฆ่าเชื้อ เป็นสารกันเสียในการผลิตยารักษาโรค ผลิตระเบิด ยาง ปู่ยง แร่ใยหิน, สิ่งทอ น้ำหอม พลาสติก และสังเคราะห์เรซิน⁽¹¹⁾

2.2.2 อะซีโตฟีนอน⁽¹²⁾

สูตรเคมีของอะซีโตฟีนอนคือ $C_6H_5COCH_3$ มีโครงสร้างเป็นวงอโรมาติก ดังแสดงในภาพที่ 2.9 ลักษณะทางกายภาพของอะซีโตฟีนอนนั้นเป็นสารละลายใส, ไม่มีสี, ละลายในน้ำได้เล็กน้อย มีจุดหลอมเหลว 19-20 °C และจุดเดือด 202 °C อะซีโตฟีนอนนั้นผลิตได้จากปฏิกิริยาระหว่างเบนซีนและอะซีติก แอนไฮไดรด์ หรือ อะซีติล คลอไรด์ โดยกระบวนการ Friedel-Crafts นอกจากนี้ อะซีโตฟีนอนถูกนำไปใช้เป็นตัวเร่งปฏิกิริยาโพลีเมอไรเซชันสำหรับการผลิตโอเลฟิน เป็นตัวกลาง

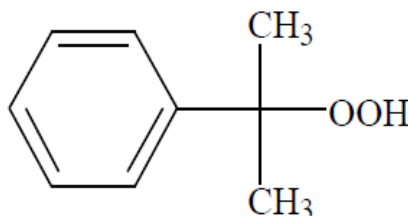
สำหรับการผลิตยา ทั้งยังใช้เป็นยานอนหลับ และยังเป็นตัวทำละลายสำหรับพลาสติกและเรซินอีกด้วย อะซีโตฟีโนนมีความเป็นพิษสูง ดังนั้นผู้ใช้ควรมีความระมัดระวังในการใช้งาน



ภาพที่ 2.9 สูตรโครงสร้างทางเคมีของอะซีโตฟีโนน⁽¹²⁾

2.2.3 คิวมินไฮโดรเปอร์ออกไซด์⁽¹³⁾

สูตรเคมีของคิวมินไฮโดรเปอร์ออกไซด์คือ $C_6H_5C(CH_3)_2OOH$ จากภาพที่ 2.10 พบว่า คิวมินไฮโดรเปอร์ออกไซด์มีโครงสร้างเป็นวงอะโรมาติก ลักษณะของคิวมินไฮโดรเปอร์ออกไซด์เป็นของเหลวใสไม่มีสี คิวมินไฮโดรเปอร์ออกไซด์ถูกนำไปใช้เป็นตัวเร่งปฏิกิริยาพอลิเมอไรเซชัน เป็นสารทำให้ยางคงสภาพสำหรับการผลิตเรซินโพลีเอสเตอร์ที่ไม่อิมัตว และเป็นสารตั้งต้นสำหรับปฏิกิริยาพอลิเมอไรเซชันของมอนอเมอร์ของสไตรีนและอะครีลิค นอกจากนี้ ยังพบว่า คิวมินไฮโดรเปอร์ออกไซด์นั้นเกิดขึ้นระหว่างกระบวนการเตรียมฟินอลด้วยคิวมิน โดยสมบัติทางกายภาพและเคมีของคิวมินไฮโดรเปอร์ออกไซด์จะแสดงในตารางที่ 2.2



ภาพที่ 2.10 สูตรเคมีของคิวมินไฮโดรเปอร์ออกไซด์⁽¹³⁾

ตารางที่ 2.2 สมบัติทางกายภาพและเคมีของคิวมินไฮโดรเปอร์ออกไซด์⁽¹³⁾

Property	Information
Physical state	colorless to pale yellow liquid
Odor	sharp, aromatic
pH	~ 4
Melting point (°C)	< -40
Boiling point (°C)	100-101@ 8 mm Hg Decomposes at 127
Freezing point (°C)	-9
Density	1.024 g/mL @ 20 °C, 1.03 g/mL @ 25 °C
Vapor pressure	0.24 mm Hg @ 20 °C
Specific gravity	1.05 units
% Volatile (by volume)	100%
Flash point	175 °C
Flammability	0.9-6.5%
vaporation rate (butyl acetate=	0.1
Heat of combustion	-7400 cal/g
Heat of decomposition	-475 cal/g
Liquid surface tension	25 dynes/cm @ 25 °C
Liquid/water interfacial tension	30 dynes/cm @ 25 °C
Refractive index	1.5210 @ 20 °C
Solubility (mg/mL @18°C)	water: <0.1 95% ethanol: > 100 acetone: > 100 dimethyl sulfoxide (DMSO): decomposes
Other solubilities	water (also given as): 1.39×10^4 mg/L @ 25 °C alcohol: soluble esters: soluble hydrocarbons (HCs): soluble chlorinated HCs: soluble
Corrosion:	Reactive with metal-containing materials

จากที่กล่าวมา พบว่าสารประกอบฟีนอลเหล่านี้ต่างมีโครงสร้างเป็นวงอโรมาติกทั้งหมด ซึ่งทำให้ยากต่อการแตกสลายพันธะ ส่งผลให้สารประกอบเหล่านี้ตกค้างอยู่ในน้ำเสียจากโรงงาน ฟีนอลเป็นจำนวนมาก

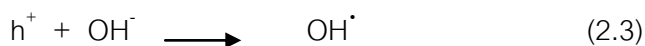
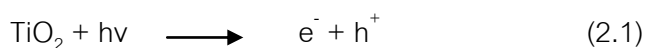
2.3 ตัวเร่งปฏิกิริยาเชิงแสง

ตัวเร่งปฏิกิริยาเชิงแสง คือ ตัวเร่งปฏิกิริยาที่สามารถดูดกลืนแสงเพื่อไปทำปฏิกิริยาอื่นๆต่อได้ ซึ่งตัวเร่งปฏิกิริยาเชิงแสงมีการใช้งานที่หลากหลาย เช่น ด้านแบคทีเรีย กรองอากาศ ดับกลิ่น ป้องกันคราบสกปรกที่ติดอยู่ตามผนังภายในและภายนอกอาคาร และทำให้น้ำสะอาด จากการศึกษาพบว่า มีการนำสารกึ่งตัวนำมาทำเป็นตัวเร่งปฏิกิริยาเชิงแสงหลากหลายชนิด เช่น ไทเทเนีย (TiO_2)⁽¹⁴⁾ ซิงค์ออกไซด์ (ZnO)⁽¹⁵⁾ ซิงค์ซัลเฟต (ZnO_4)⁽¹⁶⁾ แคดเมียมซัลไฟด์ (CdS)⁽¹⁷⁾ และ ไอรอนออกไซด์ (FeO)⁽¹⁸⁾ ในงานวิจัยนี้ ได้เลือกไทเทเนียเป็นตัวเร่งปฏิกิริยาเชิงแสง เนื่องจากไทเทเนียมีความสามารถในการทำปฏิกิริยาสูง มีความคงทนสูงต่อการฉายแสง ราคาถูก และไม่เป็นพิษ⁽¹⁹⁾ นอกจากนี้ ไทเทเนียถูกนำมาใช้ในงานวิจัยเกี่ยวกับปฏิกิริยาเชิงแสงมากมาย⁽²⁰⁻²⁵⁾

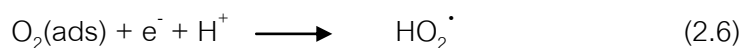
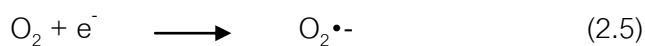
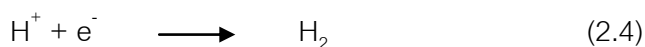
Chung-Hsin Wu และคณะวิจัย⁽²⁶⁾ ได้ศึกษาการแตกสลายด้วยแสงของ polychlorinated dibenzo-*p*-dioxins โดยเปรียบเทียบกับตัวเร่งปฏิกิริยาเชิงแสงหลายชนิด ได้แก่ ไทเทเนีย ซิงค์ออกไซด์และทินไดออกไซด์ โดยฉายภายใต้รังสียูวีที่ช่วงความยาวคลื่นระหว่าง 300 ถึง 400 นาโนเมตร พบว่า first-order rate constant ของไทเทเนีย ซิงค์ออกไซด์และทินไดออกไซด์ คือ 5.30, 0.74 และ 0.28 h^{-1} ตามลำดับ หมายความว่าไทเทเนียมีประสิทธิภาพในการแตกสลายได้ดีที่สุดเมื่อเทียบกับตัวเร่งปฏิกิริยาเชิงแสงชนิดอื่น

ไทเทเนียเป็นสารกึ่งตัวนำ มี 3 เฟสที่พบตามธรรมชาติ คือ อะนาเทส รูไทล์และบรูไคต์ ซึ่งเฟสอะนาเทสของไทเทเนียมีความสามารถในการทำปฏิกิริยาเชิงแสงดีกว่ารูไทล์⁽¹⁹⁾ Teruhisa O. และคณะวิจัย⁽²⁷⁾ ได้ศึกษาปฏิกิริยาเชิงแสงของอนุภาคไทเทเนียที่ผสมด้วยเฟสของอะนาเทสและรูไทล์ในการแตกสลายเนพทาลิน พบว่าการใช้เฟสอะนาเทสที่มีอนุภาคขนาดเล็กผสมกับเฟสรูไทล์ที่มีอนุภาคขนาดใหญ่ ทำให้มีการแตกสลายได้ดีกว่าการใช้เฟสอะนาเทสหรือรูไทล์เพียงอย่างเดียว

กลไกการเกิดปฏิกิริยาเชิงแสงของไทเทเนียมเกิดขึ้นเมื่อไทเทเนียมซึ่งเป็นสารกึ่งตัวนำที่มีช่องแถบพลังงาน (energy band gap) 3.2 eV ถูกกระตุ้นด้วยรังสียูวีที่มีความยาวคลื่นน้อยกว่า 388 นาโนเมตร ซึ่งมีโฟตอนที่มีพลังงานมากกว่าช่องแถบพลังงานไปยังผิวของสารกึ่งตัวนำ ทำให้อิเล็กตรอนที่แถบพลังงานเวเลนซ์ (valence band) เกิดการเปลี่ยนระดับพลังงานไปยังแถบการนำ (conduction band) ก่อให้เกิดอิเล็กตรอนอิสระที่แถบการนำและโฮลที่แถบพลังงานเวเลนซ์ ดังแสดงในภาพที่ 2.11 ซึ่งโฮลที่อยู่บริเวณผิวของไทเทเนียมไปทำปฏิกิริยากับไฮดรอกไซด์ (OH⁻) ในน้ำ ก่อให้เกิดอนุมูลอิสระไฮดรอกซิล (OH[•]) ตามปฏิกิริยาดังนี้^(28,29)

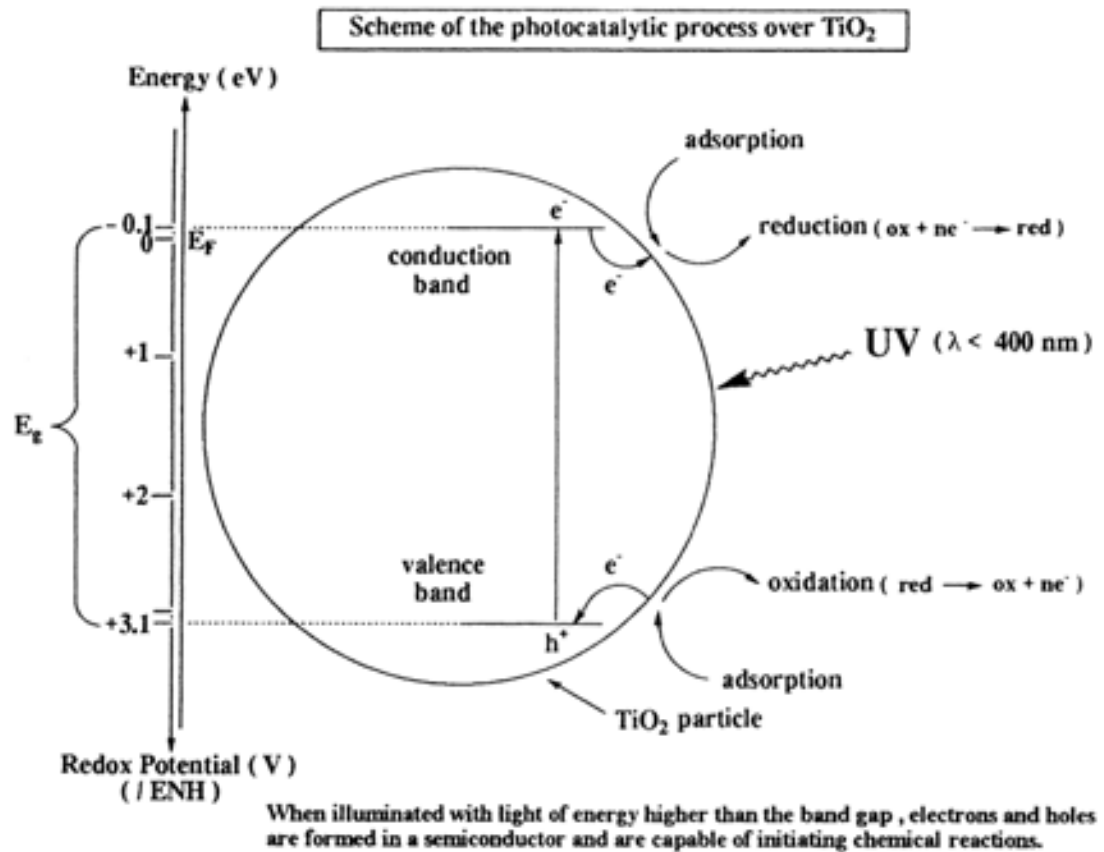


ในทางตรงกันข้าม อิเล็กตรอนอิสระที่แถบการนำไปลด H⁺ ในสารละลาย ก่อให้เกิดก๊าซไฮโดรเจน (H₂) หรือทำปฏิกิริยากับออกซิเจนก่อให้เกิดอนุมูลอิสระซูเปอร์ออกไซด์ไฮดรอกไซด์ (O₂^{•-}) ตามปฏิกิริยาดังนี้



จากนั้นอนุมูลอิสระไฮดรอกซิลทำปฏิกิริยากับฟีนอล (C₆H₆O) เกิดคาร์บอนไดออกไซด์และน้ำซึ่งไม่เป็นมลพิษต่อสิ่งแวดล้อมดังสมการ 2.7





ภาพที่ 2.11 กลไกการเกิดปฏิกิริยาเชิงแสงของไทเทเนียม⁽²⁹⁾

นอกจากนี้ พบว่าไทเทเนียมที่นิยมใช้มากทั้งในงานวิจัยต่างๆและอุตสาหกรรม คือ ไทเทเนียม-P25 ที่ผลิตโดย Degussa ซึ่งมีคุณสมบัติแสดงในตารางที่ 2.3

ตารางที่ 2.3 คุณสมบัติเฉพาะของไทเทเนียม-P25⁽³⁰⁾

Parameter (test method)	Unit	TiO ₂ -P25
Specific surface area (BET)	m ² /g	50 ± 15
pH (4% dispersion in water)	-	3.5-4.5
Average primary particle size	nm	approx. 21
Tapped density (acc. to DIN EN ISO 787/11, August 1993)	g/L	aprox. 130
Moisture (2 hours at 105°C)	wt.-%	≤ 1.5
Ignition loss (2 hours at 1000°C based on material dried for 2 hours at 105°C)	wt.-%	≤ 2.0
TiO ₂ content (based on ignited material)	wt.-%	≥ 99.5
Al ₂ O ₃ content	wt.-%	≤ 0.3
SiO ₂ content	wt.-%	≤ 0.2
Fe ₂ O ₃ content	wt.-%	≤ 0.01
HCl content	wt.-%	≤ 0.3
Sieve residue by Mocker, 45 µm	nm	≤ 0.5

ในงานวิจัยนี้ได้มีแนวคิดที่จะเพิ่มความสามารถของตัวเร่งปฏิกิริยาเชิงแสงโดยการนำซิลิกามาเป็นขั้วเสตรตให้กับไทเทเนียม เนื่องจากซิลิกามีความเฉื่อยต่อการทำปฏิกิริยาเคมี มีความโปร่งแสงเมื่อถูกฉายแสงด้วยรังสียูวีและมีพื้นที่ผิวสูง⁽³¹⁾ ซึ่งจะทำให้ตัวเร่งปฏิกิริยาเชิงแสงมีพื้นที่

ผิวในการทำปฏิกิริยามากขึ้นและมีรูพรุนในการดูดซับสารอินทรีย์ที่เป็นพิษ นอกจากนี้ยังมีงานวิจัยจำนวนมากที่ศึกษาเกี่ยวกับการใช้งานของไทเทเนีย/ซิลิกา⁽³²⁻³⁷⁾

ดูโรวรรณ⁽³⁸⁾ ได้ศึกษาความเป็นไปได้และข้อจำกัดของในการใช้เกลบในการเตรียมซิลิกาให้มีโครงสร้างระดับนาโน โดยนำเกลบมาผ่านกระบวนการทางเคมีด้วยเอทิลเอมและกรดชนิดต่างๆ จากนั้นเผาที่อุณหภูมิ 600°C เป็นเวลา 6 ชั่วโมง พบว่าเกลบได้เปลี่ยนเป็นซิลิกาที่มีขนาดอนุภาค 26 นาโนเมตร พื้นที่ผิวจำเพาะมีค่า 250 m²/g และซิลิกาที่ได้มีความบริสุทธิ์ถึงร้อยละ 99 Tzong-Horng Liou⁽³⁹⁾ ได้ศึกษาการเตรียมซิลิกาจากเกลบในลักษณะเดียวกัน พบว่าเกลบที่ไม่ได้ผ่านการเผานั้นมีลักษณะพื้นผิวที่เป็นรูพรุนสูง ดังภาพที่ 2.12 และเมื่อทำการเผาเกลบแล้วจะได้ ซิลิกาที่มีรูพรุนทั้งขนาดนาโนเมตรและไมโครเมตร ดังแสดงในภาพที่ 2.13 ดังนั้น งานวิจัยนี้จึงมีแนวคิดที่จะนำเกลบซึ่งเป็นแหล่งซิลิกามาทำเป็นซับสเตรตให้กับไทเทเนีย เนื่องจากในแต่ละปีประเทศไทยมีปริมาณเกลบซึ่งเป็นผลิตภัณฑ์พลอยได้จากการปลูกข้าวเป็นจำนวนมากและลักษณะทางกายภาพของเกลบที่ผ่านการเผาแล้วซึ่งมีรูพรุนสูงนั้น จะช่วยเพิ่มความสามารถในการดูดซับสารให้กับตัวเร่งปฏิกิริยาเชิงแสง ดังนั้น เกลบซึ่งเป็นแหล่งของซิลิกาจึงมีความเหมาะสมอย่างยิ่งที่จะนำมาเป็นตัวซับสเตรตให้กับไทเทเนียในการทำปฏิกิริยาเชิงแสง



ภาพที่ 2.12 ลักษณะรูพรุนของเกลบที่ไม่ได้เผา⁽³⁹⁾

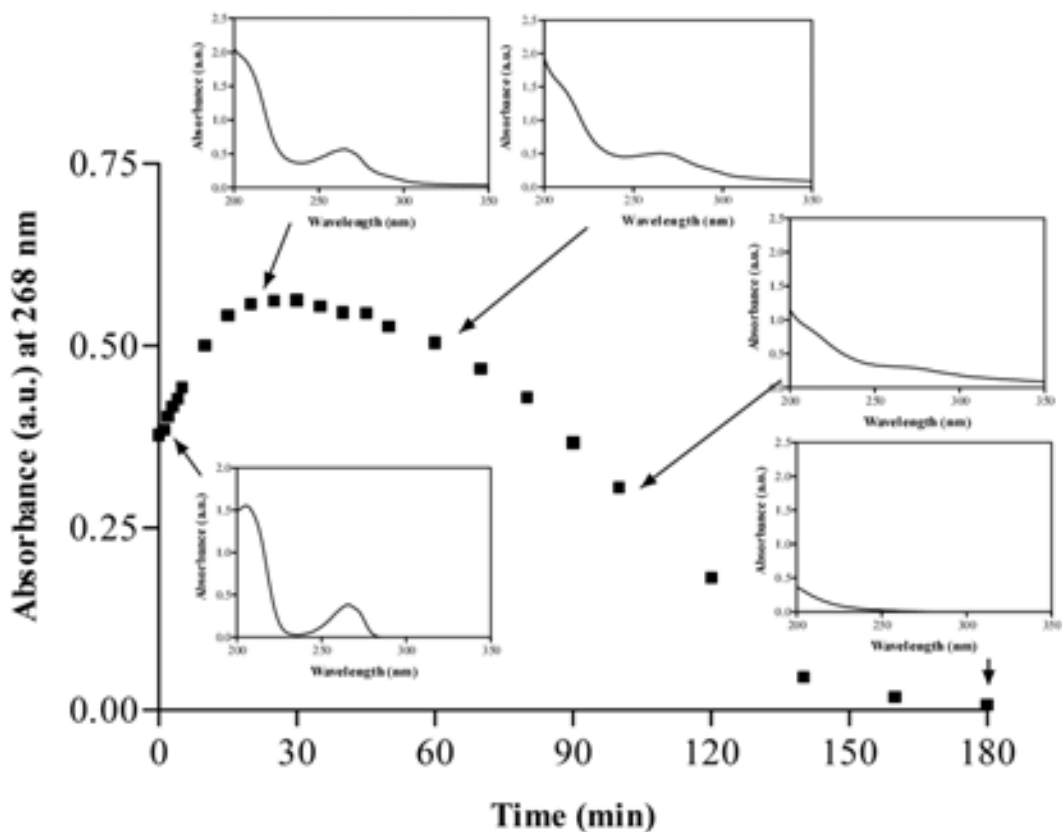


ภาพที่ 2.13 ลักษณะผิวภายในของซีลิกาที่ได้จากการเผาแคลบ⁽³⁹⁾

2.4 เอกสารและงานวิจัยที่เกี่ยวข้อง

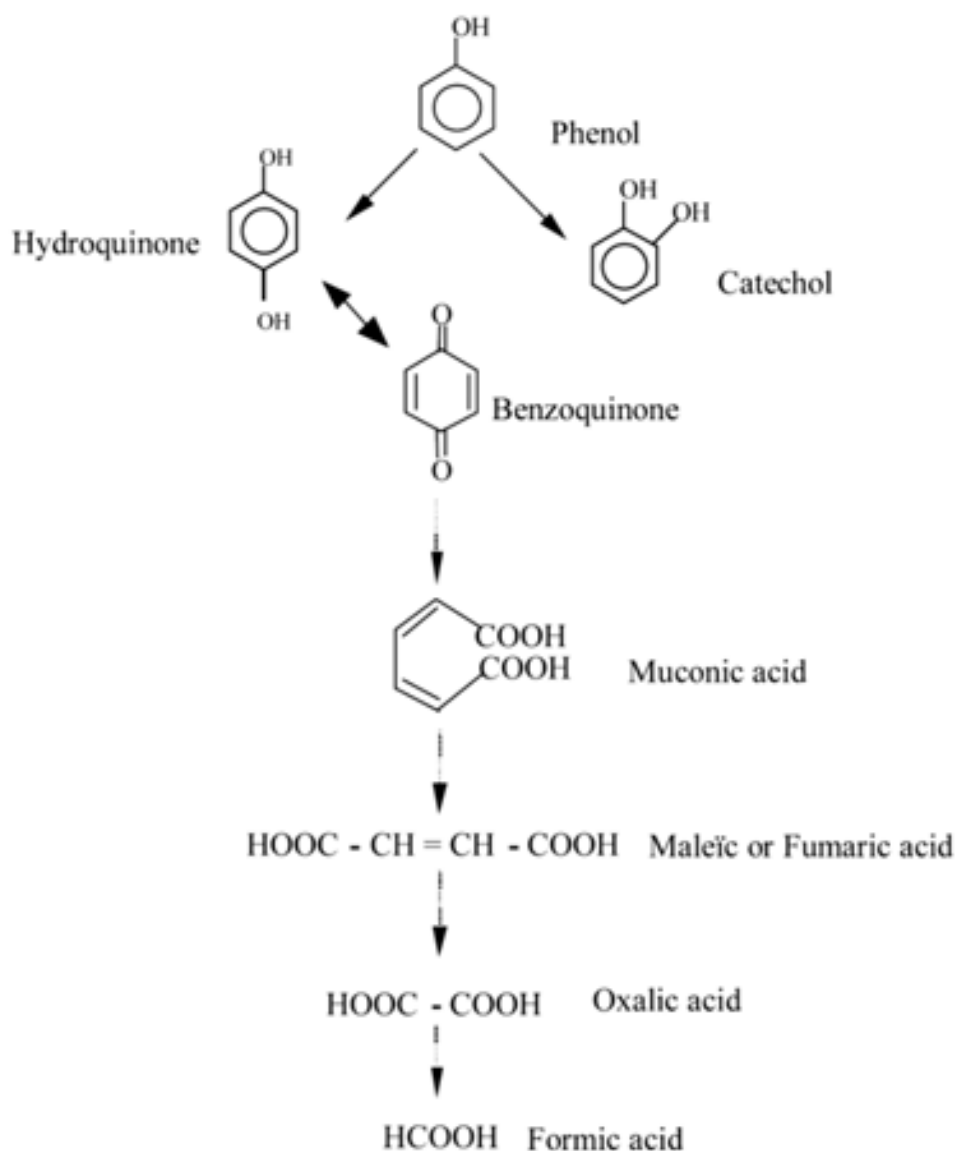
ในงานวิจัยที่ผ่านมาได้มีการศึกษาการกำจัดสารประกอบฟีนอลในน้ำเสียโดยใช้ปฏิกิริยาเชิงแสงไว้ดังนี้

Roig B., Gonzalez C. และ Thomas O.⁽⁴⁰⁾ ได้ศึกษาการแตกสลายของฟีนอลด้วยแสง โดยใช้เครื่อง UV-Visible spectrophotometer ในการตรวจวิเคราะห์ปฏิกิริยาเชิงแสงที่ความยาวคลื่น 254 นาโนเมตร และวิเคราะห์สารประกอบอินทรีย์ (ฟีนอลและสารที่เกิดขึ้นหลังการฉายแสง) ด้วยเครื่อง HPLC พบว่าค่าดูดกลืนแสงของฟีนอลปรากฏพีคที่ชัดเจนที่ความยาวคลื่น 264 นาโนเมตร ดังภาพที่ 2.14 ซึ่งเห็นได้ว่าฟีนอลถูกแตกสลายด้วยรังสียูวีจนหมดหลังจากฉายแสงเป็นเวลา 180 นาที



ภาพที่ 2.14 ค่าการดูดกลืนแสงของฟีนอลหลังจากฉายแสงยูวี⁽⁴⁰⁾

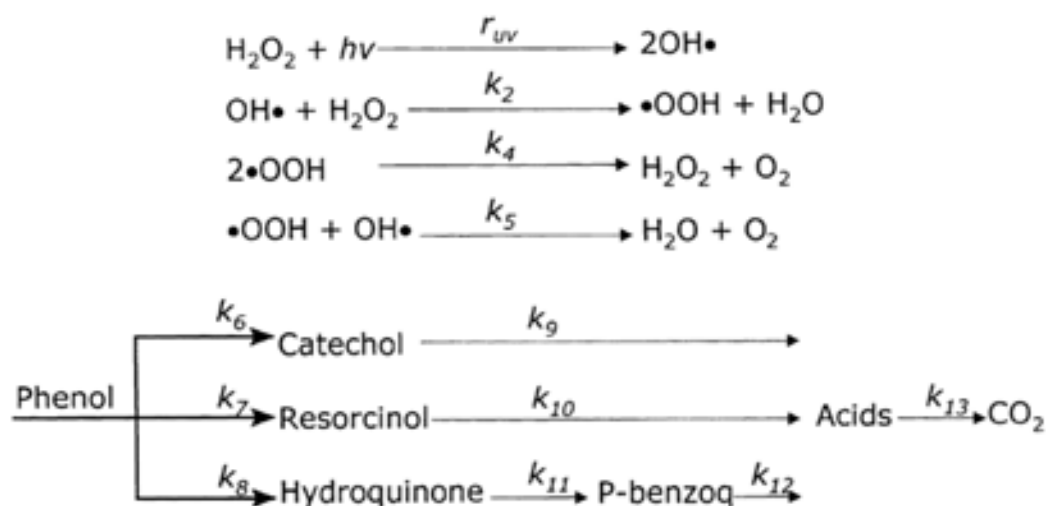
นอกจากนี้ จากการศึกษาการแตกสลายด้วยแสงของฟีนอลสามารถอธิบายอันดับการแตกสลายของฟีนอลได้ดังภาพที่ 2.15 โดยเริ่มจากการไฮดรอกซิเลชันของวงอะโรมาติกเพื่อให้ได้ไฮโดรควิโนน ซึ่งต่อมาเกิดการ hydrogen abstraction ได้เบนโซควิโนน จากนั้นวงเบนโซควิโนน ถูกทำลายได้กรดมิวโคนิก ซึ่งถูกแตกสลายด้วยอนุมูลอิสระไฮดรอกซิลกลายเป็นกรดมาเลอิก กรดออกซาลิกและกรดฟอร์มิก



ภาพที่ 2.15 แผนผังการแตกสลายด้วยแสงของฟีนอล⁽⁴⁰⁾

นอกจากการใช้แสงยูวีเพียงอย่างเดียวในการแตกสลายสารประกอบฟีนอลแล้ว ยังมีงานวิจัยอีกมากที่ได้เพิ่มประสิทธิภาพในการแตกสลายสารประกอบฟีนอล เช่น Alnaizy R และ Akgerman A.⁽⁴¹⁾ ได้ศึกษาความเป็นไปได้ในการใช้ระบบยูวี/ไฮโดรเจนเปอร์ออกไซด์ในการบำบัดน้ำที่มีฟีนอลเจือปนอยู่ โดยนำฟีนอลปริมาณ 40-500 ppm มาผสมกับไฮโดรเจนเปอร์ออกไซด์ที่มีอัตราส่วนโมลาร์ระหว่างไฮโดรเจนเปอร์ออกไซด์กับฟีนอลตั้งแต่ 0-500 จากนั้นป้อนให้เข้ากันเป็นเวลา 15 นาทีและนำไปทำปฏิกิริยาเชิงแสงโดยใช้หลอดยูวีที่มีความเข้มแสง 5400 $\mu\text{W}/\text{cm}^2$ และ

ศึกษาตัวแปรที่มีผลต่อการทำปฏิกิริยาเชิงแสง ได้แก่ ปริมาณไฮโดรเจนเปอร์ออกไซด์ที่เติมลงไป ความเข้มข้นฟีนอลเริ่มต้น อัตราส่วนโมลาร์ระหว่างไฮโดรเจนเปอร์ออกไซด์กับฟีนอล pH และ อุณหภูมิ จากการทดลองพบว่าความเข้มข้นฟีนอลเริ่มต้นประมาณ 200 ppm สามารถแตกสลาย ได้หมดในเวลาน้อยกว่า 1 ชั่วโมงที่อุณหภูมิ 27°C โดยระบบยูวี/ไฮโดรเจนเปอร์ออกไซด์ อย่างไรก็ตาม ฟีนอลเพียง 20% เท่านั้นที่ถูกแตกสลายกลายเป็นคาร์บอนไดออกไซด์และน้ำ ส่วนที่เหลือนั้น กลายเป็นตัวกลางที่เกิดขึ้นระหว่างการทำปฏิกิริยาดังแสดงในภาพที่ 2.16 นอกจากนี้ยังพบว่า การเพิ่มความเข้มข้นเริ่มต้นของไฮโดรเจนเปอร์ออกไซด์จะทำให้ลดประสิทธิภาพของระบบรังสียูวี/ไฮโดรเจนเปอร์ออกไซด์ลดลง และอัตราส่วนโมลาร์ระหว่างไฮโดรเจนเปอร์ออกไซด์กับฟีนอลที่เหมาะสมอยู่ในช่วง 100-250 นอกจากนี้ยังพบว่า pH นั้นไม่มีผลกระทบต่ออัตราการแตกสลายของ ฟีนอล



ภาพที่ 2.16 ปฏิกิริยาออกซิเดชันของฟีนอลโดยระบบยูวี/ไฮโดรเจนเปอร์ออกไซด์⁽⁴¹⁾

Mirat D.G. และ Robert V.⁽⁴²⁾ ได้ศึกษาปฏิกิริยาออกซิเดชันของสารประกอบฟีนอลโดยเปรียบเทียบระหว่างการใช้อิโชนและไอโชน/ยูวี โดยนำสารประกอบฟีนอลที่มีความเข้มข้น 50 ppm ที่ pH = 2.5 7 และ 9 มาเติมก๊าซไอโชนด้วยเครื่องกำเนิดไอโชนที่มีความเข้มข้นไอโชนช่วง 2-61.5 mg/L อัตราการไหลตัวของแก๊ส (gas flow rate) เป็น 1.01 min⁻¹ โดยความเข้มข้นของแก๊สไอโชนนั้นตรวจวิเคราะห์ด้วยเครื่อง UV spectrophotometer ที่ความยาวคลื่น 254 นาโนเมตร

และในการทดลองแบบเดียวกันนี้ได้เพิ่มหลอดยูวีที่มีกำลัง 2.2 W เพื่อศึกษาการแตกสลายของสารประกอบฟีนอลโดยระบบไอโซน/ยูวี จากการทดลองพบว่า ไม่ว่าจะมีการฉายรังสียูวีหรือไม่นั้นปฏิกิริยาของอนุมูลอิสระมีความสำคัญในการออกซิเดชันสารประกอบฟีนอล และ pH ที่เพิ่มขึ้นนั้นจะช่วยเพิ่มประสิทธิภาพในการแตกสลายสารประกอบฟีนอลระหว่างการให้ก๊าซไอโซนทั้งในระบบที่มีและไม่มี การฉายรังสียูวี ในกรณีที่ pH คงที่ สามารถเรียงลำดับการแตกสลายสารประกอบฟีนอลได้ดังนี้ ในระบบไอโซน/ยูวี > ระบบไอโซน > ระบบที่ฉายรังสียูวีเพียงอย่างเดียว

นอกเหนือจากการใช้ไฮโดรเจนเปอร์ออกไซด์และก๊าซไอโซนมาช่วยเพิ่มประสิทธิภาพในการทำปฏิกิริยาเชิงแสงแล้ว ยังมีการใช้ตัวเร่งปฏิกิริยาเชิงแสงมาช่วยเพิ่มความสามารถในการทำปฏิกิริยาอีกด้วย. Rahmani A.R, Samadi M.T. และ Enayati M.A. ⁽⁴³⁾ ได้ทำการตรวจวิเคราะห์การสลายตัวด้วยปฏิกิริยาเชิงแสงของฟีนอลโดยกระบวนการยูวี/ไทเทเนีย โดยนำฟีนอลที่มีความเข้มข้น 100 mg/L ผสมกับไทเทเนียที่มีความเข้มข้น 0.5-1 g/L และปรับ pH เป็น 3, 7 และ 11 จากนั้นฉายด้วยรังสียูวีที่มีความเข้มแสง 0.9 mW/cm² เป็นเวลา 1 3 5 7 และ 9 ชั่วโมง ตรวจวิเคราะห์ความเข้มข้นของฟีนอลที่เปลี่ยนแปลงไปด้วยเครื่อง spectrophotometer ที่ความยาวคลื่น 500 นาโนเมตร ผลการทดลองพบว่าหลังฉายรังสียูวีเป็นเวลา 9 ชั่วโมง ประสิทธิภาพการกำจัดฟีนอลที่ pH 3 7 และ 11 คือ 59 52 และ 83% ตามลำดับ นอกจากนี้ยังพบว่า การเพิ่มความเข้มข้นของไทเทเนีย เวลาการฉายรังสียูวีและ pH ช่วยเพิ่มประสิทธิภาพในการแตกสลายฟีนอลและภาวะที่สามารถแตกสลายฟีนอลได้มากที่สุดคือ pH = 11 ใช้เวลาฉายรังสียูวี 9 ชั่วโมง และไทเทเนียที่มีความเข้มข้น 1 g/L สรุปได้ว่า ตัวแปรที่มีผลต่อการสลายตัวของฟีนอลคือ pH เวลาฉายรังสียูวีและความเข้มข้นของไทเทเนีย

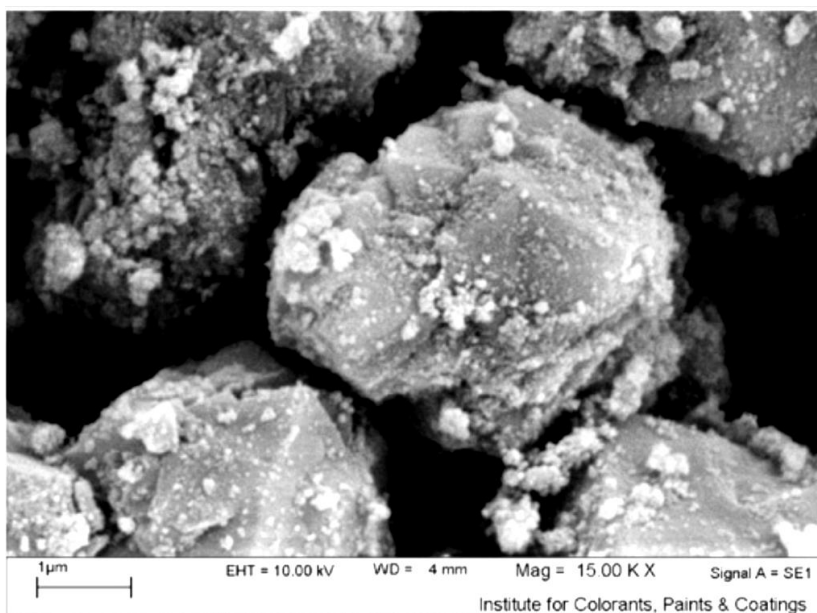
Dingwang C. และ Ajay K.R. ⁽⁴⁴⁾ ได้ทำการศึกษากลไกปฏิกิริยาเชิงแสงของฟีนอลและอนุพันธ์ของฟีนอลภายใต้การฉายรังสียูวีโดยนำ 4-คลอโรฟีนอล มาทำปฏิกิริยาเชิงแสงกับไทเทเนีย-P25 (Degussa) ที่มีอัตราส่วนเฟสระหว่างอะนาเทส:รูไทล์ คือ 80:20 มาเคลือบบนแผ่นแก้ว pyrex หนา 3.2 มิลลิเมตร โดยการจุ่มและนำไปเผาแคลไซน์ที่อุณหภูมิ 423-573 K เป็นเวลา 3 ชั่วโมง จากนั้นฉายรังสียูวีด้วยความเข้มแสงตั้งแต่ 1.5-24 mW/cm² และศึกษาความเข้มข้นของ 4-คลอโรฟีนอลด้วยเครื่อง UV/VIS detector ที่ความยาวคลื่น 225 นาโนเมตร พบว่าการใช้

ไทเทเนียที่มีความเข้มข้น 2 g/L และ pH เป็นกลาง สามารถกำจัด 4-คลอโรฟีนอล ได้เมื่อมีการฉายรังสียูวีความยาวคลื่น 200-350 นาโนเมตร ที่ความเข้มแสง 2 mW/cm² หลังฉายรังสียูวีเป็นเวลา 100 นาที pH ลดลงเนื่องจากเกิดการก่อตัวของกรดไฮโดรคลอริกระหว่างการสลายตัว และสารสุดท้ายที่ได้คือ คาร์บอนไดออกไซด์และกรดไฮโดรคลอริกที่เกิดขึ้นหลังการสลายตัวของ 4-คลอโรฟีนอล

Luis J.A. และคณะวิจัย⁽⁴⁵⁾ ได้ศึกษาปฏิกิริยาเชิงแสงของฟีนอลโดยใช้ตัวเร่งปฏิกิริยาไทเทเนียที่มีซิลิกาเป็นตัวซับซ้อน ซึ่งเตรียมโดยวิธีไฮโดรไลซิส โดยนำซิลิกา (Degussa) มากระจายตัวในน้ำที่ไม่มีประจุ จากนั้นเติมสารละลายไทเทเนียมไตรคลอไรด์ (TiCl₃) ลงไปแล้วทำให้เป็นเนื้อเดียวกันต่อมาเติมสารละลายแอมโมเนียมไปที่ละน้อยเพื่อปรับ pH ให้เป็นกลาง และนำสารที่ตกตะกอนแล้วไปกรองและล้างด้วยน้ำที่ไม่มีประจุหลายครั้งเพื่อกำจัดคลอไรด์ไอออนออกจากนั้นอบค้างคืนที่อุณหภูมิ 273 K และแคลไซน์ที่อุณหภูมิ 773 K เป็นเวลา 12 ชั่วโมง ต่อมาศึกษาปฏิกิริยาเชิงแสงโดยการนำฟีนอลที่มีความเข้มข้น 500 ppm มาเติมตัวเร่งปฏิกิริยาไทเทเนีย/ซิลิกาที่มีความเข้มข้น 2.5 g/L แล้วฉายรังสียูวีที่มีความเข้มแสง 50 mW/cm² และวิเคราะห์สารที่เกิดขึ้นด้วยวิธี gas chromatography ซึ่งงานวิจัยนี้ได้นำไทเทเนีย-P25 มาทดลองเพื่อเปรียบเทียบประสิทธิภาพของตัวเร่งปฏิกิริยา จากการทดลองพบว่าการใช้ซิลิกาเป็นซับซ้อนเร่งให้กับไทเทเนียนั้นช่วยเพิ่มพื้นที่ในการทำปฏิกิริยาเมื่อเทียบกับไทเทเนียที่ไม่มีซับซ้อน นอกจากนี้ การเพิ่มปริมาณไทเทเนียบนซับซ้อนซิลิกาจะไปลดพื้นที่ผิวจำเพาะของตัวเร่งปฏิกิริยาเนื่องจากเกิดการก่อตัวของผลึกขนาดใหญ่ของเฟสอะนาเทสของไทเทเนีย และการที่ไทเทเนียอยู่บนซิลิกาทำให้เพิ่มประสิทธิภาพในการทำปฏิกิริยาเชิงแสงเนื่องจากซิลิกาเป็นสารโปร่งแสงต่อการฉายรังสียูวี นอกจากนี้ การมีไทเทเนียปริมาณ 30% บนซิลิกานั้นมีประสิทธิภาพเทียบเท่ากับไทเทเนียที่ไม่มีซับซ้อน

Ehsan A. และ Shahrara A.⁽⁴⁶⁾ ได้ศึกษาการแตกสลายด้วยปฏิกิริยาเชิงแสงของอะซีโตฟีโนนและโทลูอินโดยผงไทเทเนียที่มีขนาดอนุภาคระดับนาโนที่มี NaX zeolite เป็นซับซ้อน ซึ่งในงานวิจัยนี้ได้นำโทลูอินและอะซีโตฟีโนนที่มีความเข้มข้น 30 ppm มาทำปฏิกิริยาเชิงแสงกับไทเทเนียซึ่งเตรียมด้วยวิธีไฮโดรไลซิส โดยนำสารละลายไทเทเนียมเตตระคลอไรด์ มา

ผสมกับ NaX zeolite ปริมาณ 4 กรัม และทำให้เป็นเนื้อเดียวกันในน้ำปริมาตร 100 มิลลิลิตรจนอิ่มตัว เป็นเวลา 1 ชั่วโมง จากนั้นนำมาอบให้แห้งที่อุณหภูมิ 323 K และตามด้วยการแคลไซน์ที่ 673 K เป็นเวลา 3 ชั่วโมง นอกจากนี้ยังได้นำหลอดยูวี 125 วัตต์มาใช้ในการปฏิกิริยาเชิงแสงของไททอีนและอะซีโตฟีโนนที่ได้ผสมกับตัวเร่งปฏิกิริยาเชิงแสงในปริมาณและ pH ที่เหมาะสม ซึ่งก่อนการฉายแสงจะปั่นสารละลายในความมืดเป็นเวลา 30 นาที และยังใช้วิธีโครมาโตกราฟีในการวัดความเข้มข้นที่ลดลงของไททอีนและอะซีโตฟีโนน จากการศึกษาโครงสร้างระดับจุลภาคของตัวเร่งปฏิกิริยาด้วยเครื่อง Scanning Electron Microscope (SEM) พบว่ามีอนุภาคของไทเทเนียเกาะติดบน NaX zeolite ดังแสดงในภาพที่ 2.17 จากการทดลองพบว่าไทเทเนียที่มี NaX zeolite เป็นชั้นสเตอร์มีประสิทธิภาพในการแตกสลายอะซีโตฟีโนนและไททอีนได้ดีกว่าไทเทเนียที่ไม่มีชั้นสเตอร์ถึง 14.5 เท่า



ภาพที่ 2.17 ภาพ SEM ของอนุภาคไทเทเนียที่เกาะติดบน NaX zeolite⁽⁴⁶⁾

Adrian M.T.S. และคณะ⁽⁴⁷⁾ ได้ทำการศึกษาการโดปซีเรียลงบนไทเทเนียสำหรับการแตกสลายของคลอโรฟีนอลด้วยปฏิกิริยาเชิงแสง โดยใช้วิธี solvothermolysis ในการโดปซีเรียในปริมาณที่ต่างกัน ได้แก่ 0.2 0.4 0.6 0.8 และ 1.0% (โดยน้ำหนัก) ลงบนไทเทเนีย จากนั้นศึกษาปฏิกิริยาเชิงแสงของคลอโรฟีนอลที่มีความเข้มข้น 100 mg/L กับตัวเร่งปฏิกิริยาเชิงแสงที่เตรียมไว้

เข้มข้น 1 g/L โดยใช้หลอดยูวีที่ได้มีการตัดแสง UV-B และ UV-C ออกซึ่งทำให้มีการฉายแสงยูวีในช่วงความยาวคลื่น 366, 405 และ 436 นาโนเมตร และวิเคราะห์ความเข้มข้นของสารระหว่างทำปฏิกิริยาเชิงแสงด้วยเครื่อง HPLC จากการทดลองพบว่าหลังฉายรังสียูวี 180 นาที ความสามารถในการแตกสลายของคลอโรฟีนอลโดยใช้ซีเรียที่โดปบนไทเทเนีย เรียงตามลำดับได้ดังนี้ ซีเรียที่โดปลงบนไทเทเนีย $0.6 > 0.4 > 0.8 > 0.2 > 1.0$ % โดยน้ำหนัก ดังนั้นจึงสรุปได้ว่าปริมาณซีเรียที่เหมาะสมในการเติมคือ 0.6% (โดยน้ำหนัก) นอกจากนี้การโดปซีเรียช่วยเพิ่มประสิทธิภาพการดูดกลืนแสงของไทเทเนียในช่วงความยาวคลื่นที่มากขึ้นจนถึงช่วงแสงที่ตามองเห็นโดยการลดแถบพลังงานของไทเทเนีย จึงสรุปได้ว่าการโดปซีเรียลงบนไทเทเนียนั้นสามารถแตกสลายคลอโรฟีนอลได้ภายใต้การฉายแสงช่วงตามองเห็น

บทที่ 3

วิธีดำเนินงานวิจัย

งานวิจัยนี้ได้ศึกษาภาวะที่เหมาะสมต่อการแตกสลายของสารประกอบฟีนอลในน้ำเสียโดยหาช่วง pH ที่เหมาะสมตั้งแต่ 4-12 เวลาที่เหมาะสมในการฉายรังสียูวีในช่วงเวลา 2-14 ชั่วโมง และชนิดของตัวเร่งปฏิกิริยาที่เหมาะสมที่สุดในการแตกสลายสารประกอบฟีนอลในน้ำเสีย ได้แก่ ไทเทเนียม-P25 และไทเทเนียม/ซิลิกา โดยในบทนี้จะกล่าวถึง วัตถุประสงค์และสารเคมี วิธีการเตรียมตัวอย่าง การตรวจสอบองค์ประกอบทางเฟสที่เกิดขึ้นของ ไทเทเนียม/ซิลิกา การเคลือบติดของ ไทเทเนียมบน ซิลิกา ซึ่งสามารถแบ่งออกเป็นหัวข้อต่างๆ ได้ดังนี้

3.1 สารเคมีวัตถุประสงค์และอุปกรณ์ที่ใช้ในการทดลอง

3.1.1 สารเคมีและวัตถุประสงค์

- แกลบ (จังหวัด ราชบุรี)
- Hydrochloric acid fuming 37% (AR Grade, Merck Chemical Co.)
- น้ำกลั่น
- น้ำ reverse osmosis (RO) ยี่ห้อสยาม
- Titanium (III) chloride solution ($TiCl_3$) about 15% (AR-Grade, Merck Chemical Co.)
- ไทเทเนียม P25 (Degussa, Germany)
- Sodium hydroxide pellets (NaOH) (AR Grade, Ajax Finechem)
- Silver nitrate ($AgNO_3$) (BDH PROLABO)
- ฟีนอล (C_6H_5OH) (AR Grade, Merck Chemical Co.)

- อะซีโตฟีโนน ($C_6H_5COCH_3$) (AR-Grade, Merck Chemical Co.)
- คิวมีนไฮโดรเปอร์ออกไซด์ ($C_6H_5C(CH_3)_2OOH$) (AR-Grade, Merck Chemical Co.)
- น้ำเสียจากโรงผลิตฟีนอล (บริษัท ปตท. จำกัด (มหาชน))

3.1.2 อุปกรณ์ที่ใช้ในการทดลอง

- ปีกเกอร์ กระบอกลดแรง และชั้นนํ้าตกสาร
- กรวย
- ขวดวัดปริมาตร
- หลอดหยด
- หลอดทดลอง
- เครื่องชั่งตวงวัด 4 ตำแหน่ง
- กระดาษกรองเบอร์ 42 (Whatman No. 42 ขนาดรูพรุน $2.5\ \mu\text{m}$)
- กระจกนาฬิกา และแท่งแก้ว
- บีเปตต์ขนาด 50ml
- ตู้ดูดควัน
- เครื่องดูดสุญญากาศ (suction)
- เครื่องหมุนเหวี่ยง (centrifuge)
- เครื่องกวนสาร (magnetic stirrer)
- แท่งแม่เหล็ก (magnetic bar)
- เต้าเผาแก๊ส

- เต้าเผาไฟฟ้า
- หลอดยูวี (NEC, FL10BL-B)

3.2 ขั้นตอนการเตรียมสารและทดสอบปฏิกิริยาเชิงแสง

3.2.1 การเตรียมซิลิกาจากแกลบ

- 1) ล้างแกลบด้วยน้ำเพื่อกำจัดสิ่งสกปรกและอบแกลบที่อุณหภูมิ 80 °C เพื่อไล่น้ำออก
- 2) เติมแกลบปริมาณ 50 กรัมที่ละน้อยลงในสารละลายกรดไฮโดรคลอริกที่มีความเข้มข้น 1 โมลาร์ และกวนให้เข้ากันจนแกลบอิมัตัว จากนั้นแช่ทิ้งไว้เป็นเวลา 1 คืน
- 3) ล้างแกลบด้วยน้ำกลั่นหลายๆครั้งจนกระทั่ง pH ของน้ำล้างเป็นกลาง
- 4) อบแกลบที่อุณหภูมิ 80 °C เป็นเวลา 12 ชั่วโมง
- 5) เผาแกลบด้วยเตาแก๊ส ณ อุณหภูมิ 700 °C เป็นเวลา 3 ชั่วโมง



ก

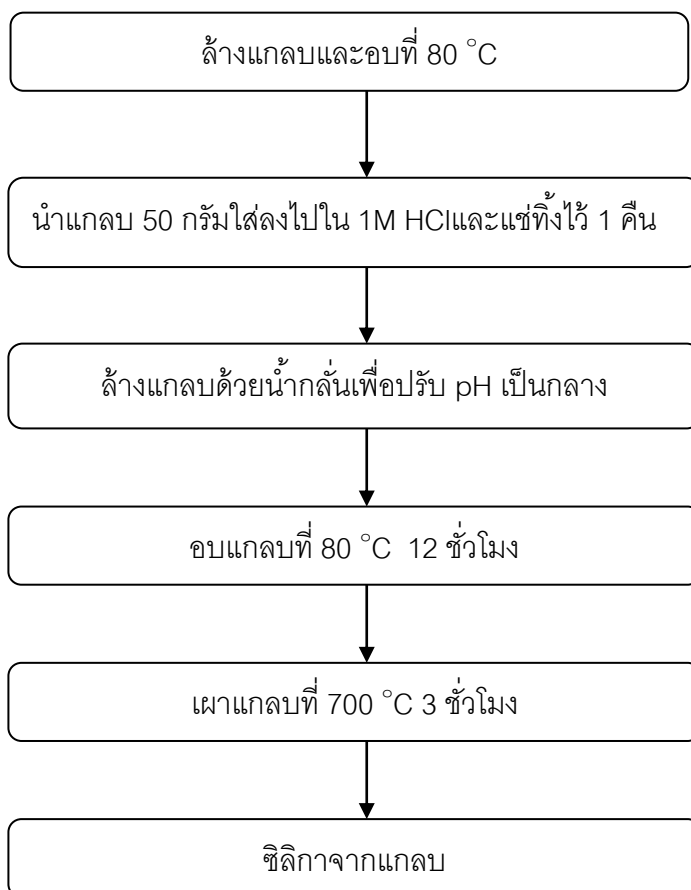


ข.

ภาพที่ 3.1 ลักษณะของแกลบก่อนและหลังเผา (ก.) แกลบก่อนเผา (ข.) แกลบหลังเผา

หมายเหตุ การเตรียมซิลิกาจากแกลบโดยวิธีการล้างด้วยกรดไฮโดรคลอริก พบว่าการล้างด้วยกรดจะทำให้เส้นใยเซลลูโลสในแกลบมีขนาดเล็กกลง และเมื่อผ่านการเผาแล้วจะทำให้เซลลูโลสสลายออกไปได้ง่ายขึ้นทำให้ได้ ซิลิกาอสัณฐานที่มีพื้นที่ผิวสูงขึ้น อีกทั้ง เพื่อละลายสารกลุ่มอัลคาไลน์ เช่น Na_2O และ K_2O ออก โดยพบว่าถ้ายังคงมีอัลคาไลน์หลงเหลืออยู่จะทำให้เกิดผลึกคริสโตบายไลต์ซึ่งส่งผลให้พื้นที่ผิวลดลงทั้งยังไม่ได้ ซิลิกาอสัณฐานตามที่ต้องการ จากการ

ทดลองพบว่าการเลือกใช้อุณหภูมิการเผาที่ $700\text{ }^{\circ}\text{C}$ เป็นเวลา 3 ชั่วโมง จะทำให้ได้ซิลิกาอสัณฐาน ถ้าเผาที่อุณหภูมิสูงกว่านี้คือ $800\text{-}900\text{ }^{\circ}\text{C}$ อาจทำให้ Na_2O และ K_2O ซึ่งเป็น ฟลักซ์เกิดการหลอม ปิโตรพูนในแกลบ



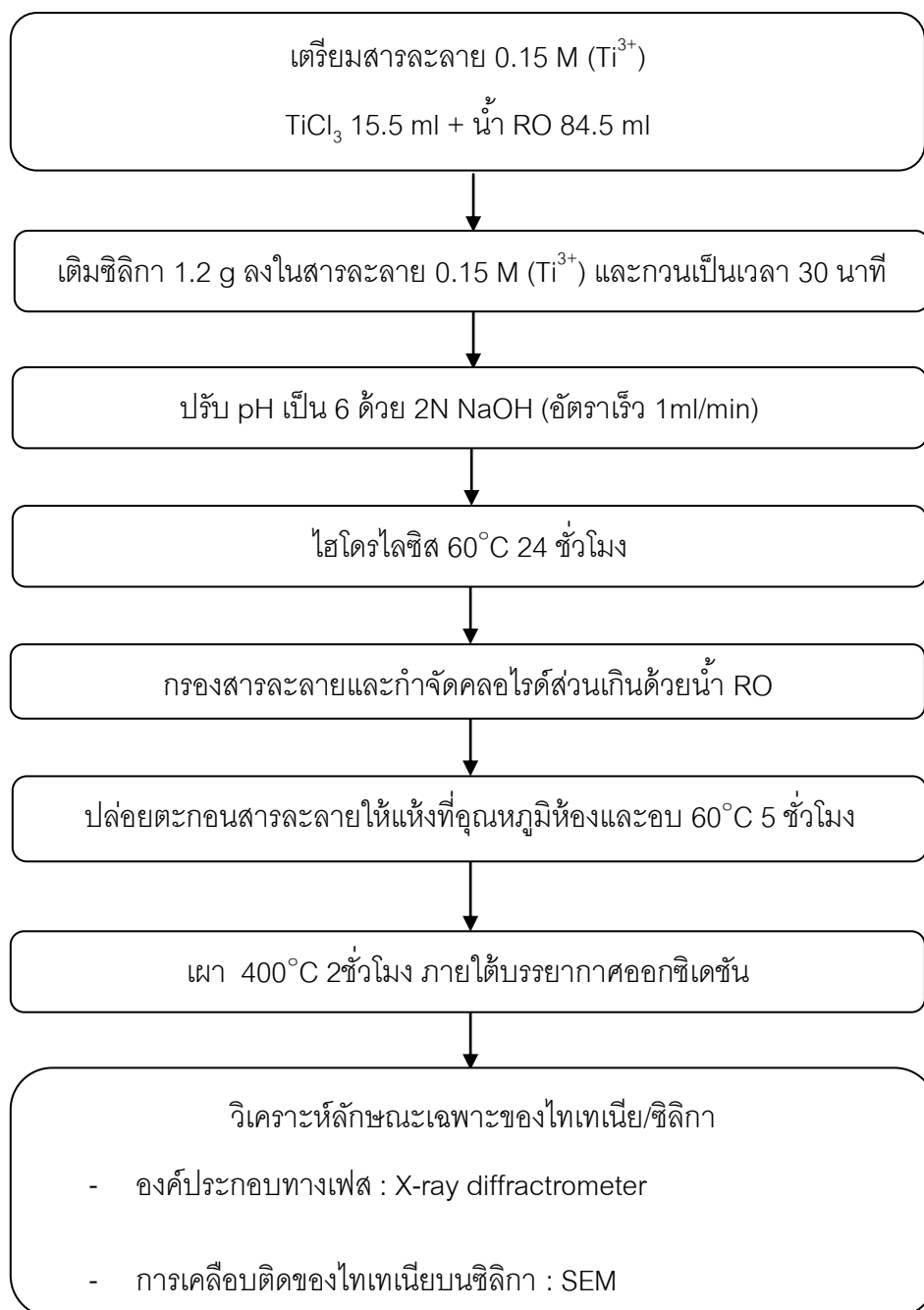
ภาพที่ 3.2 แผนผังการเตรียมซิลิกาจากแกลบ

3.2.2 การสังเคราะห์ตัวเร่งปฏิกิริยาเชิงแสงไทเทเนีย/ซิลิกา

- 1) การเตรียมสารละลาย $0.15\text{ M (Ti}^{3+})$ จากไทเทเนียมไตรคลอไรด์ 15 wt\% ใน $\sim 10\%$ ของกรดไฮโดรคลอริก

- 1.1) ปิเปตต์สารละลายไทเทเนียมไตรคลอไรด์ 15.5 ml เติมนลงในน้ำ reverse osmosis (RO, ยี่ห้อสยาม) 20ml
- 1.2) ปรับปริมาตรของสารละลายด้วยน้ำ RO เป็น 100ml
- 2) เติมซิลิกาที่เตรียมได้จากแคลบ 1.2 กรัม ลงในสารละลาย 0.15 M(Ti^{3+}) ปริมาตร 100ml
- 3) กวนให้เข้ากันเป็นเวลา 30 นาที เพื่อให้ไทเทเนียมไตรคลอไรด์ได้แทรกเข้าไปในรูพรุนของซิลิกา
- 4) ปรับ pH ด้วยการเติมสารละลายโซเดียมไฮดรอกไซด์ที่มีความเข้มข้น 2 N (อัตราเร็ว 1ml/นาที) เพื่อให้ไทเทเนียมไตรคลอไรด์ทำปฏิกิริยากับโซเดียมไฮดรอกไซด์อย่างช้าๆ โดยวิธีการไทเทตพร้อมๆกับการกวน จนกระทั่ง pH ปรับเป็น 6 โดยให้ค่า pH คงที่ประมาณ 30 นาที
- 5) ปิดปากปิเปตต์ของสารที่สังเคราะห์ได้แล้วนำไปอบที่อุณหภูมิ 60 °C เป็นเวลา 24 ชั่วโมง (ไฮโดรไลซิส)
- 6) นำสารที่ไฮโดรไลซิสแล้ว ออกจากเตาอบและรินสารละลายใส่ด้านบนของตะกอนทิ้ง จากนั้นกรองสารละลายที่เหลือผ่านกระดาษกรอง (whatman No.42 ขนาดรูพรุน 2.5 μm) โดยใช้เครื่องดูดสุญญากาศ เติมน้ำ RO ล้างตะกอนซ้ำเพื่อกำจัด Cl^- ส่วนเกิน (หยด 0.5 N $AgNO_3$ ลงในน้ำล้างตะกอนเพื่อตรวจสอบการมีอยู่ของ Cl^- อาจเกิดตะกอนขาวขุ่นเล็กน้อยถ้ายังมี Cl^- เหลืออยู่บ้าง)
- 7) เก็บตะกอนที่กรองได้ไว้ที่อุณหภูมิห้องให้พอแห้ง (semi-dry) แล้วนำไปอบแห้งที่อุณหภูมิ 60 °C เป็นเวลา 5 ชั่วโมง
- 8) บดและเผา (calcine) ภายใต้บรรยากาศออกซิเดชันที่อุณหภูมิ 400 °C เป็นเวลา 2 ชั่วโมง
- 9) วิเคราะห์เฟสที่เกิดขึ้นของไทเทเนีย/ซิลิกาด้วยเครื่อง X-ray Diffractometer (XRD) (Bruker, D8 Advance) โดยใช้ค่า 2θ ในช่วง 10-70 องศา

10) ตรวจสอบการเคลือบติดของไทเทเนียมซัลไฟด์ด้วยเครื่อง Scanning Electron
Microscope (SEM) (JSM-6480LV, JEOL)



ภาพที่ 3.3 แผนผังการสังเคราะห์ไทเทเนียมซัลไฟด์

3.2.3 การทดสอบปฏิกิริยาเชิงแสงและตัวแปรที่มีผลต่อการกำจัดสารมาตรฐานฟีนอล

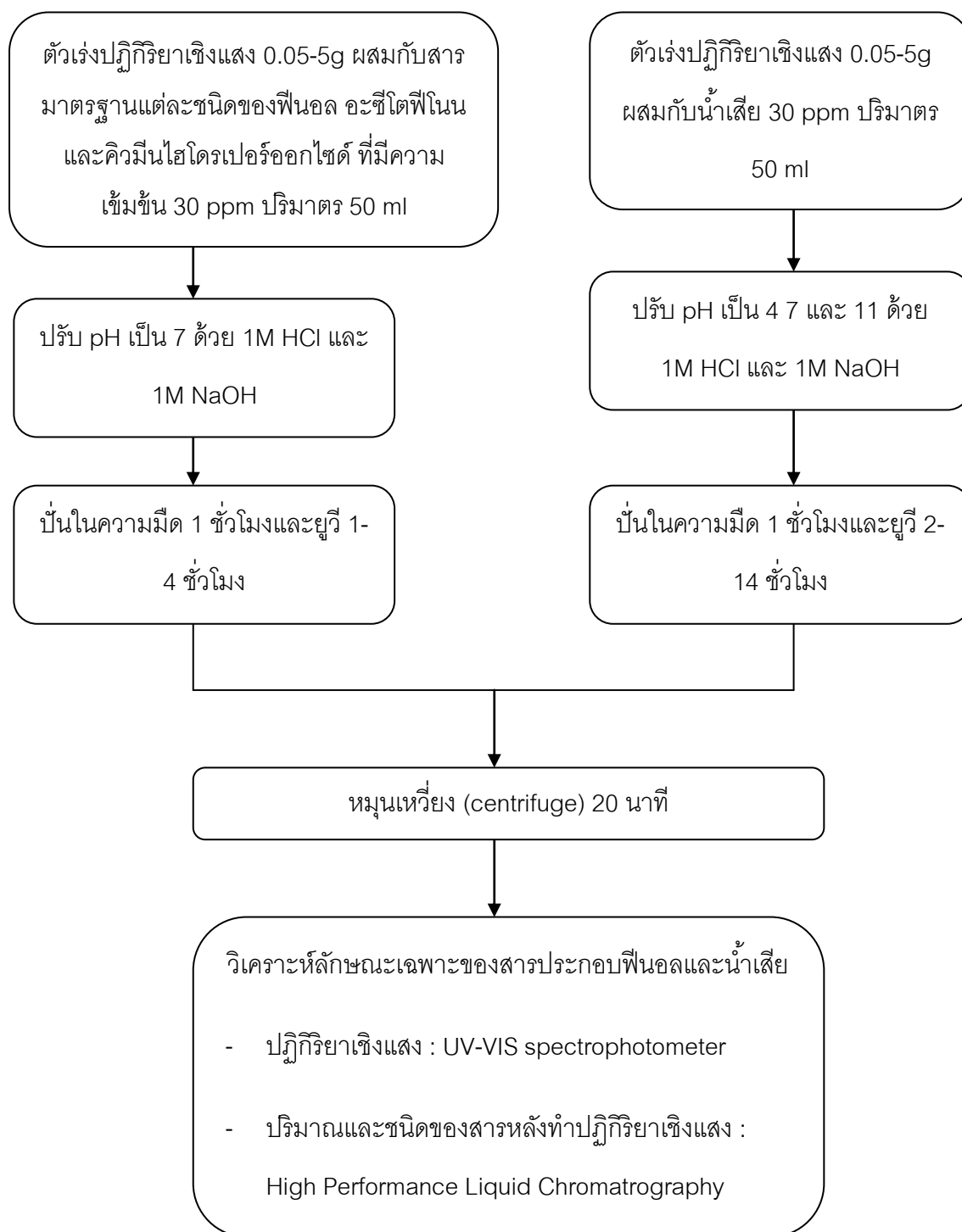
นอล : ฟีนอล อะซีโตฟีโนนและควิมีนไฮโดรเปอร์ออกไซด์ที่เป็นตัวแทนของน้ำเสีย

ทดสอบปฏิกิริยาเชิงแสงโดยนำตัวเร่งปฏิกิริยาเชิงแสง 2 ชนิดได้แก่ ไทเทเนีย/ซิลิกา และไทเทเนีย P25 ปริมาณตั้งแต่ 0.05-0.1 กรัม มาผสมกับสารมาตรฐานแต่ละชนิด : ฟีนอล อะซีโตฟีโนนและควิมีนไฮโดรเปอร์ออกไซด์ ซึ่งสารมาตรฐานดังกล่าวเป็นตัวแทนของสารประกอบหลักที่พบในน้ำเสียจากโรงผลิตฟีนอล โดยใช้ความเข้มข้นของสารมาตรฐานเหล่านี้ที่ 30 ppm ปริมาตร 50ml ปรับ pH เป็น 7 ด้วยกรดไฮโดรคลอริกและโซเดียมไฮดรอกไซด์ นำไปคนด้วยแท่งแม่เหล็กในความมืดเป็นเวลา 1 ชั่วโมงและฉายรังสียูวีที่ความเข้มแสง 2 mW/cm^2 เป็นเวลา 1-4 ชั่วโมง จากนั้นนำไปหมุนเหวี่ยง (centrifuge) เป็นเวลา 20 นาที หลังจาก centrifuge แล้วแยกเฉพาะส่วนของสารละลายใสมาวิเคราะห์ค่าการดูดกลืนแสงด้วยเครื่อง UV-VIS Spectrophotometer (Perkins Elmer, Lambda35 UV/VIS Spectrophotometer) ในช่วงความยาวคลื่น 190-400 นาโนเมตร

3.2.4 การทดสอบปฏิกิริยาเชิงแสงและตัวแปรที่มีผลต่อการกำจัดสารประกอบ

ฟีนอลในน้ำเสีย

ศึกษาปฏิกิริยาเชิงแสงโดยนำตัวเร่งปฏิกิริยาเชิงแสง 2 ชนิดได้แก่ ไทเทเนีย/ซิลิกา และไทเทเนีย P25 ปริมาณตั้งแต่ 0.05-5 กรัม มาผสมกับน้ำเสียจากโรงงานผลิตฟีนอลปริมาตร 50 ml ที่ผ่านการกรองด้วยกระดาษกรองขนาดรูพรุน $2.5 \mu\text{m}$ (Whatman® Grade5) ปรับ pH เป็น 4 7 และ 11 ด้วยกรดไฮโดรคลอริกและโซเดียมไฮดรอกไซด์ นำไปคนด้วยแท่งแม่เหล็กในความมืดเป็นเวลา 1 ชั่วโมงและฉายรังสียูวีที่ความเข้มแสง 2 mW/cm^2 เป็นเวลา 2-14 ชั่วโมง จากนั้นนำไปหมุนเหวี่ยง (centrifuge) เป็นเวลา 20 นาทีแล้วแยกเฉพาะส่วนของสารละลายใสมาวิเคราะห์ค่าการดูดกลืนแสงด้วยเครื่อง UV-VIS Spectrophotometer (Perkins Elmer, Lambda35 UV/VIS Spectrophotometer) ในช่วงความยาวคลื่น 190-400 นาโนเมตร



ภาพที่ 3.4 แผนผังการทดสอบปฏิกิริยาเชิงแสงของสารประกอบฟีนอลมาตรฐานและน้ำเสีย

3.3 การวิเคราะห์ลักษณะเฉพาะ

3.3.1 องค์ประกอบทางเฟสของตัวเร่งปฏิกิริยาเชิงแสง

ศึกษาองค์ประกอบทางเฟสของตัวเร่งปฏิกิริยาเชิงแสง ได้แก่ ไทเทเนีย P25 และ ไทเทเนีย/ซิลิกาที่สังเคราะห์ได้ด้วยเครื่อง X-ray Diffractometer (XRD) (Bruker, D8 Advance) โดยใช้ค่า 2θ ในช่วง 10-70 องศา ซึ่งชนิดของ X-ray ที่ใช้คือ $\text{CuK}\alpha$ โดยใช้ความยาวคลื่น 1.5406 Å°

3.3.2 การเคลือบติดของไทเทเนียบนซิลิกา

ตรวจสอบการเคลือบติดของไทเทเนียบนซิลิกาโดยการศึกษาคross-section morphology ของไทเทเนีย/ซิลิกาด้วยเครื่อง Scanning Electron Microscope (SEM) รุ่น JSM-6480LV, JEOL และใช้เครื่อง EDS ตรวจสอบธาตุองค์ประกอบที่พบในโครงสร้างจุลภาคของอนุภาคที่ตรวจสอบ

3.3.3 พื้นที่ผิวจำเพาะของตัวเร่งปฏิกิริยาเชิงแสง

วิเคราะห์พื้นที่ผิวจำเพาะของตัวเร่งปฏิกิริยาเชิงแสงโดยใช้เครื่อง BET analyzer โดยใช้ผงตัวเร่งปฏิกิริยาเชิงแสงหนัก 0.1-0.2 กรัมในการวิเคราะห์ โดยวิเคราะห์ซ้ำ 3 ครั้ง

3.3.4 ค่าการดูดกลืนแสงของสารประกอบฟีนอลและน้ำเสียหลังทำปฏิกิริยาเชิงแสง

วัดค่าการดูดกลืนแสงหลังทำปฏิกิริยาเชิงแสงของสารประกอบฟีนอลและน้ำเสีย เพื่อสังเกตการเปลี่ยนแปลงของปฏิกิริยาที่เกิดขึ้นด้วยเครื่อง UV-VIS Spectrophotometer (Perkins Elmer, Lambda35 UV/VIS Spectrophotometer) ในช่วงความยาวคลื่น 190-400 นาโนเมตร

3.3.5 ปริมาณและชนิดของสารหลังทำปฏิกิริยาเชิงแสงของสารประกอบฟีนอลและน้ำเสีย

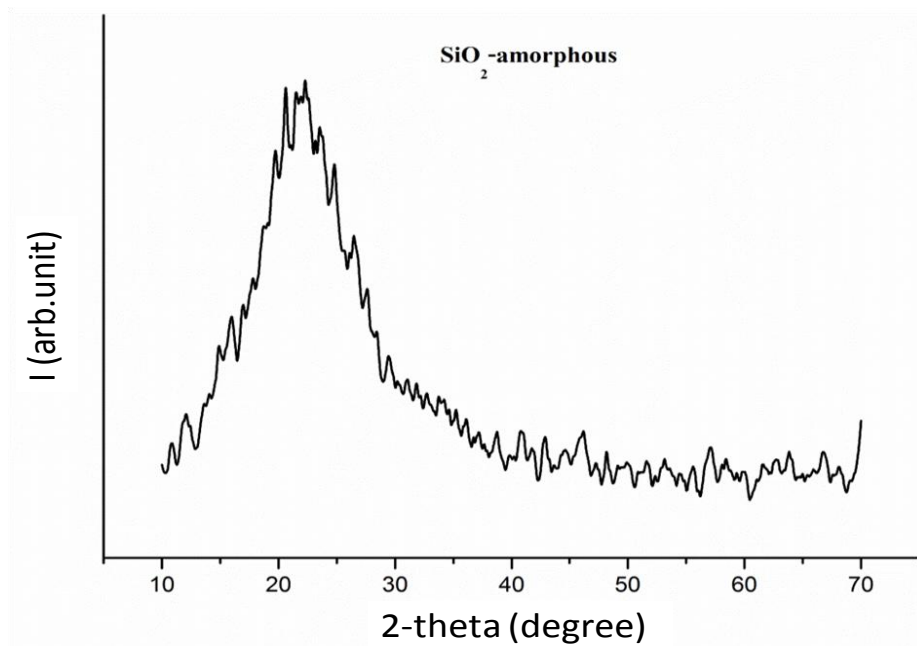
วิเคราะห์ปริมาณและชนิดของสารที่เกิดขึ้นหลังทำปฏิกิริยาเชิงแสงของสารประกอบฟีนอลและน้ำเสีย ด้วยวิธี High Performance Liquid Chromatography (HPLC) ซึ่งเป็นวิธีที่สามารถแยกส่วนผสมของสารประกอบได้ทั้งเชิงปริมาณและเชิงคุณภาพ ซึ่งในงานวิจัยนี้ใช้เครื่อง HPLC ((HP HEWLETT PACKARD SERIES 1100) ด้วยคอลัมน์ thermoscientific® Hypersil Gold particle size 1.9 μm ที่มีเส้นผ่านศูนย์กลาง 3 mm.

บทที่ 4

ผลการทดลอง

4.1 ผลการวิเคราะห์องค์ประกอบเฟสของซิลิกาจากแกลบ

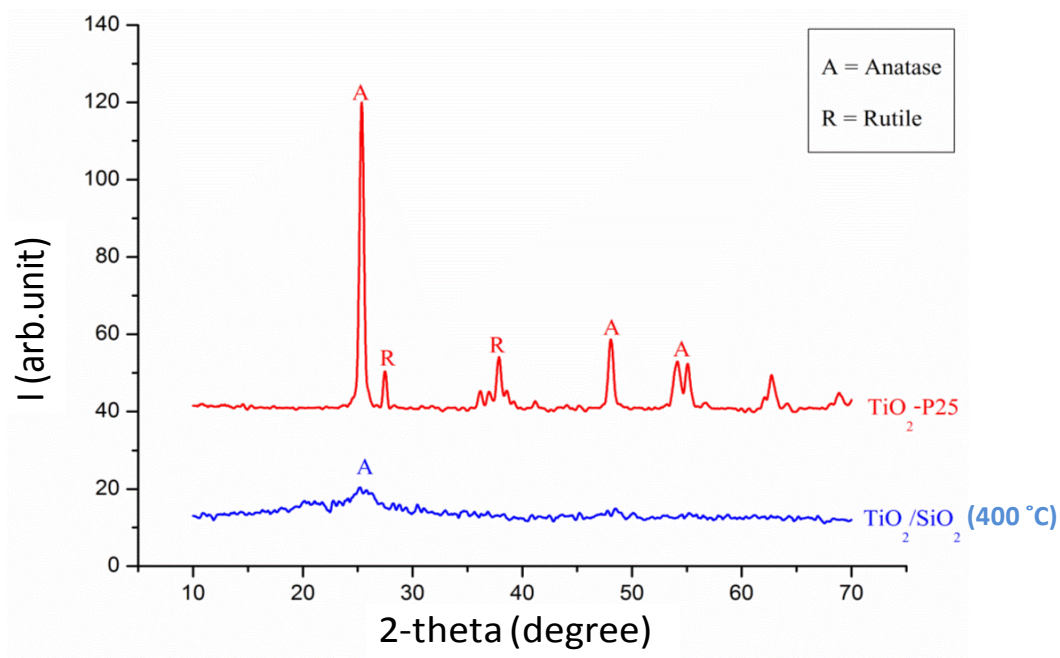
เมื่อนำซิลิกาที่มาจากการเผาแกลบมาวิเคราะห์องค์ประกอบของเฟสด้วย XRD ที่ $2\theta = 10-70^\circ$ พบว่าเป็นซิลิกาอสัณฐาน ดังแสดงในภาพที่ 4.1



ภาพที่ 4.1 XRD pattern ของซิลิกา เผาที่อุณหภูมิ 700°C เป็นเวลา 3 ชั่วโมง ที่ $2\theta = 10-70^\circ$

4.2 ผลการวิเคราะห์องค์ประกอบเฟสของไทเทเนีย/ซิลิกา

จากการวิเคราะห์ XRD พบว่าที่ $2\theta = 22^\circ$ ปรากฏเฟสอะนาเทสของไทเทเนีย-P25 และไทเทเนีย/ซิลิกา ที่เผาอุณหภูมิ 400°C โดยเฉพาะอย่างยิ่งในไทเทเนีย-P25 ปรากฏเฟสอะนาเทสอย่างชัดเจนและยังพบเฟสอื่นๆของ ไทเทเนีย ได้แก่ รูไทล์ ดังแสดงในภาพที่ 4.2



ภาพที่ 4.2 XRD pattern ของไทเทเนีย-P25 และไทเทเนีย/ซิลิกา

4.3 ผลการวิเคราะห์พื้นที่ผิวจำเพาะของตัวเร่งปฏิกิริยาเชิงแสง

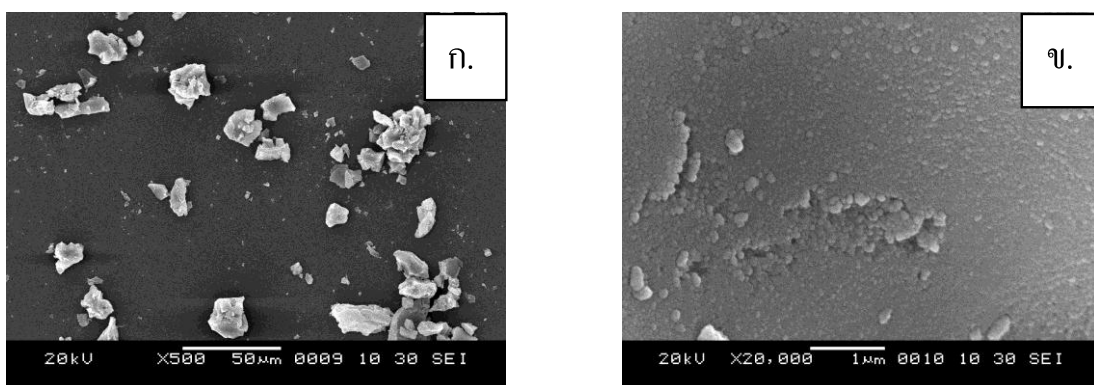
จากตารางที่ 4.1 แสดงค่าพื้นที่ผิวจำเพาะเฉลี่ยของตัวเร่งปฏิกิริยาเชิงแสงแต่ละชนิดที่ได้ทำการทดลองซ้ำ 3 ครั้ง พบว่าการใช้ซัพสเตรตซิลิกาสามารถเพิ่มพื้นที่ผิวจำเพาะให้กับไทเทเนีย ซึ่งพื้นที่ผิวจำเพาะที่เพิ่มขึ้นนี้จะช่วยเพิ่มพื้นที่ผิวในการทำปฏิกิริยาเชิงแสงของตัวเร่งปฏิกิริยาเชิงแสงไทเทเนีย/ซิลิกา

ตารางที่ 4.1 พื้นที่ผิวจำเพาะของตัวเร่งปฏิกิริยาเชิงแสงแต่ละชนิด

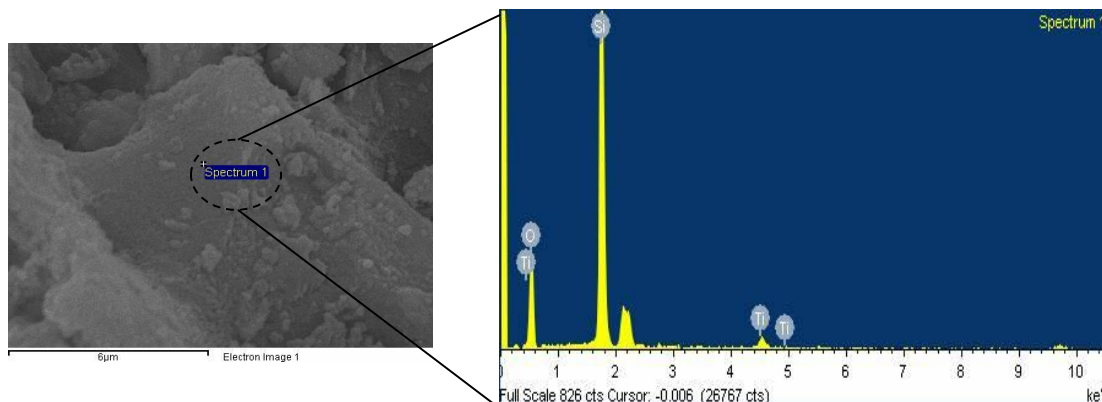
Types of photocatalyst	Specific surface area (m ² /g)
TiO ₂ -P25 (as purchased)	54.84
TiO ₂ (synthesis-400 °C)	179.00
SiO ₂ (700 °C)	220.00
TiO ₂ /SiO ₂ (400 °C)	292.40

4.4 ผลการทดสอบการเคลือบติดของไทเทเนียมบนซิลิกา

จากภาพที่ 4.3 โครงสร้างทางจุลภาคของไทเทเนียม/ซิลิกาที่กำลังขยาย 500 เท่าพบว่าอนุภาคของไทเทเนียม/ซิลิกามีหลายขนาดและอนุภาคมีการกระจายตัวดี เมื่อเพิ่มกำลังขยายเป็น 20,000 เท่า พบว่ามีอนุภาคไทเทเนียมระดับนาโนเกาะติดบนชั้นสเตรตซิลิกาอย่างหนาแน่นในลักษณะ agglomerate เมื่อวิเคราะห์ธาตุด้วย EDS พบธาตุ ไทเทเนียม ซิลิกอน และ ออกซิเจนเกิดขึ้นแสดงให้เห็นว่า มีเฟสของไทเทเนียม และซิลิกาเกิดขึ้น ทั้งยังเป็นการยืนยันว่ามีไทเทเนียมเคลือบติดบนซิลิกาแต่มีไทเทเนียมในปริมาณที่น้อยมากเมื่อเทียบกับซิลิกา ดังแสดงในภาพที่ 4.4



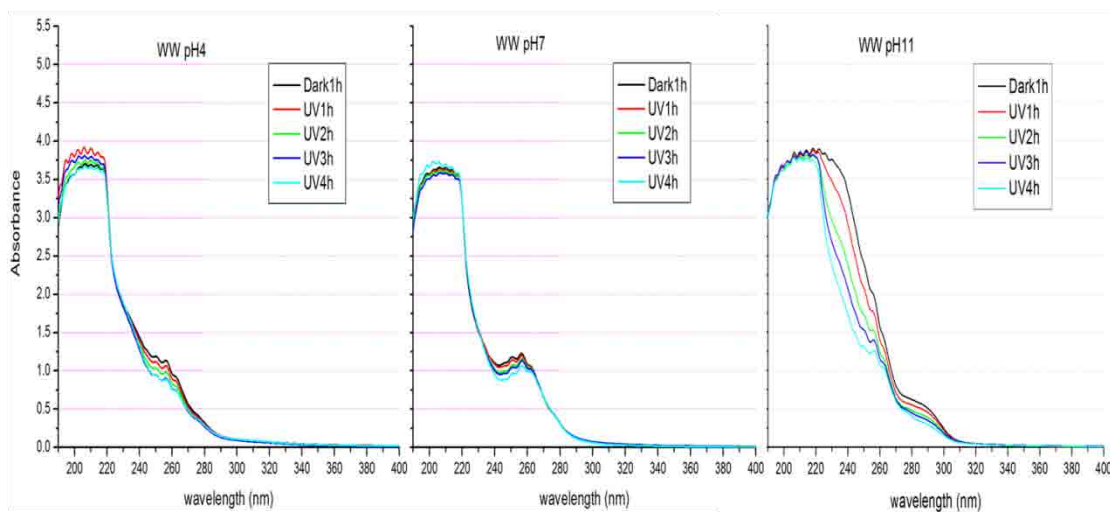
ภาพที่ 4.3 โครงสร้างจุลภาคของไทเทเนียม/ซิลิกาที่กำลังขยาย (ก.) 500 เท่า (ข.) 20,000 เท่า



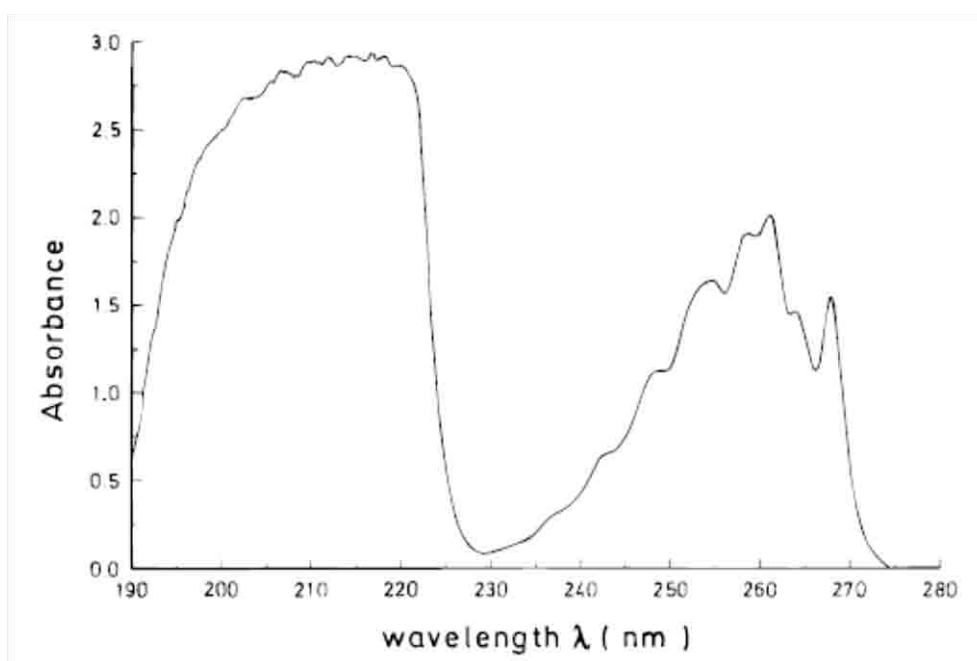
ภาพที่ 4.4 ธาตุองค์ประกอบของไทเทเนียม/ซิริลิกาด้วย EDS

4.5 ค่า pH ที่เหมาะสมในการศึกษาปฏิกิริยาเชิงแสง

จากภาพที่ 4.5 จะเห็นได้ว่าน้ำเสียที่ pH = 4 7 และ 11 มีการดูดกลืนแสงต่ำและไม่มีการเปลี่ยนแปลงมากนักระหว่างสภาวะฉายและไม่ฉายรังสียูวีในช่วงความยาวคลื่น 245-265 นาโนเมตร ซึ่งแสดงให้เห็นว่าการฉายรังสียูวีไม่มีผลต่อการเปลี่ยนแปลงของสารอินทรีย์ในน้ำเสีย และเมื่อพิจารณาค่าการดูดกลืนแสงของน้ำเสียที่ pH = 11 ซึ่งเป็นค่า pH ปกติของน้ำเสียนั้น พบว่าน้ำเสียที่ pH = 11 ก่อให้เกิดค่าการดูดกลืนแสงที่ไม่ชัดเจนทำให้ยากต่อการติดตามปฏิกิริยาเชิงแสงที่เกิดขึ้น แต่ใน pH = 4 เริ่มปรากฏการดูดกลืนแสงชัดเจนขึ้นและเห็นได้อย่างชัดเจนที่ pH = 7 และเมื่อเปรียบเทียบกับงานวิจัยของ R. Wittenberg และคณะวิจัย⁽⁴⁸⁾ ดังแสดงในภาพที่ 4.6 พบว่าลักษณะของค่าการดูดกลืนแสงของควิมีนในอะซีโตไนไตรล์ในช่วงความยาวคลื่น 250-270 นาโนเมตร นั้นมีลักษณะการดูดกลืนแสงที่ใกล้เคียงกับน้ำเสียที่ pH = 7 ที่ช่วงความยาวคลื่น 240-280 นาโนเมตร นอกจากนี้ในงานวิจัยได้มีการใช้ตัวเร่งปฏิกิริยาเชิงแสงไทเทเนียม/ ซิริลิกาในการทำปฏิกิริยาเชิงแสง พบว่าซิริลิกาที่เป็นซับสเตรตให้กับไทเทเนียมนั้นสามารถละลายได้ในสภาวะที่เป็นต่าง⁽⁴⁹⁾ ส่งผลให้ไทเทเนียม/ซิริลิกาไม่สามารถใช้เป็นตัวเร่งปฏิกิริยาเชิงแสงได้ในน้ำเสียที่ pH = 11 ดังนั้นในงานวิจัยนี้จึงเลือกทำการทดลองสารประกอบมาตรฐานที่มักพบในน้ำเสียและน้ำเสียจากโรงผลิตฟีนอลที่ pH = 7



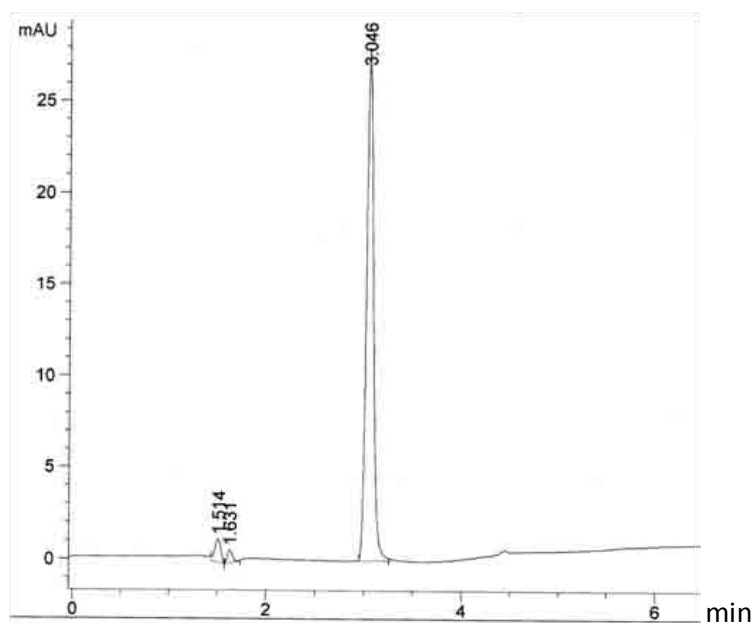
ภาพที่ 4.5 เปรียบเทียบค่าการดูดกลืนแสงของน้ำเสียที่ pH = 4 7 และ 11



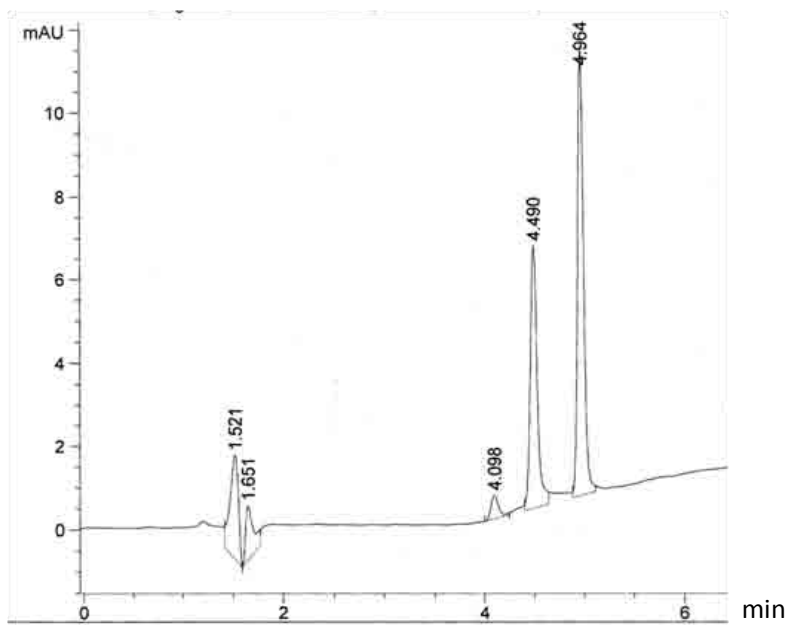
ภาพที่ 4.6 UV-VIS spectrum ของคิวมินในอะซิโตไนต์⁽⁴⁸⁾

4.6 การคำนวณปริมาณของสารประกอบที่เกิดขึ้นหลังทำปฏิกิริยาเชิงแสง

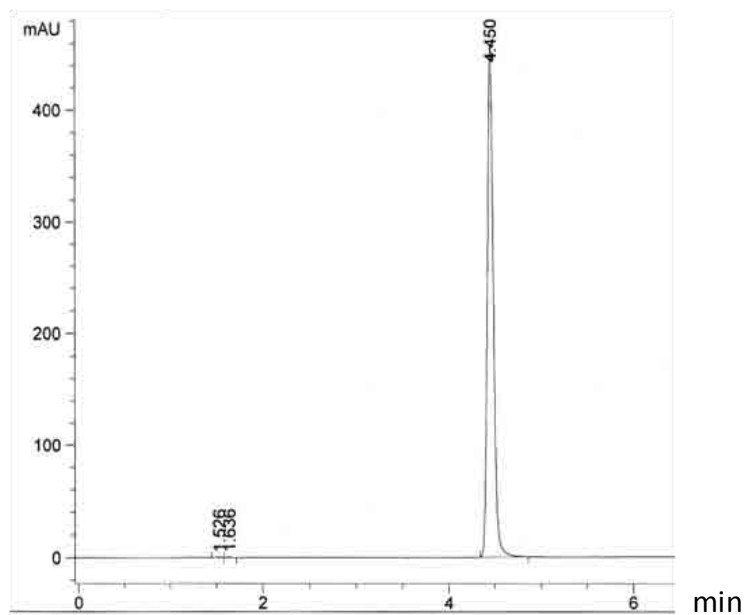
เพื่อเป็นแนวทางในการศึกษาปฏิกิริยาการแตกสลายของสารประกอบฟีนอลในน้ำเสีย ผู้วิจัยได้เลือกใช้สารมาตรฐานฟีนอล คิวมินไฮโดรเปอร์ออกไซด์และอะซีโตฟีโนนทดสอบควบคู่ไปกับน้ำเสีย หลังจากทำปฏิกิริยาเชิงแสงแล้ว สารประกอบมาตรฐานที่มักพบในน้ำเสียและน้ำเสียจากโรงผลิตฟีนอลจะนำไปวิเคราะห์หาปริมาณและชนิดของสารที่เกิดขึ้นด้วยเครื่อง High Performance Liquid Chromatography (HPLC) ซึ่งสารประกอบมาตรฐานแต่ละชนิดจะมีพีคเฉพาะที่ปรากฏขึ้นจากวิเคราะห์ด้วยเครื่อง HPLC ดังแสดงในภาพที่ 4.7 ภาพที่ 4.8 และ ภาพที่ 4.9 จะเห็นได้ว่า retention time ของฟีนอล คิวมินไฮโดรเปอร์ออกไซด์ และอะซีโตฟีโนน คือ 3.046, 4.964 และ 4.450 นาทีตามลำดับ



ภาพที่ 4.7 พีคเฉพาะของฟีนอลที่ retention time = 3.046 นาที



ภาพที่ 4.8 พีคเฉพาะของควิมีนไฮโดรเปอร์ออกไซด์ที่ retention time = 4.964 นาที



ภาพที่ 4.9 พีคเฉพาะของอะซีโตฟีโนนที่ retention time = 4.450 นาที

โดยปริมาณสารประกอบที่เกิดขึ้นหลังทำปฏิกิริยาเชิงแสงคำนวณจากสมการดังต่อไปนี้

$$\text{ฟีนอล} = 6.773x \quad (4.1)$$

$$\text{ควิมีนไฮโดรเปอร์ออกไซด์} = 1.682x \quad (4.2)$$

$$\text{อะซีโตฟีโนน} = 89.82x \quad (4.3)$$

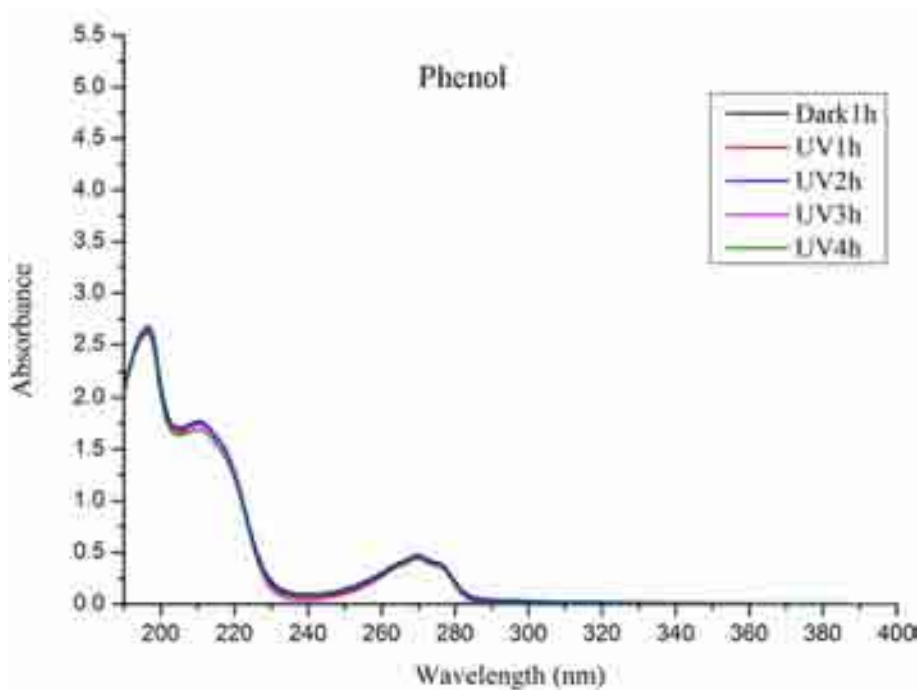
เมื่อ x = พื้นที่ใต้กราฟของสารประกอบฟีนอล

หมายเหตุ สมการคำนวณปริมาณสารประกอบที่เกิดขึ้นหลังทำปฏิกิริยาเชิงแสงมาจากการสร้าง calibration curve ของสารประกอบมาตรฐานที่มักพบในน้ำเสียแต่ละชนิด

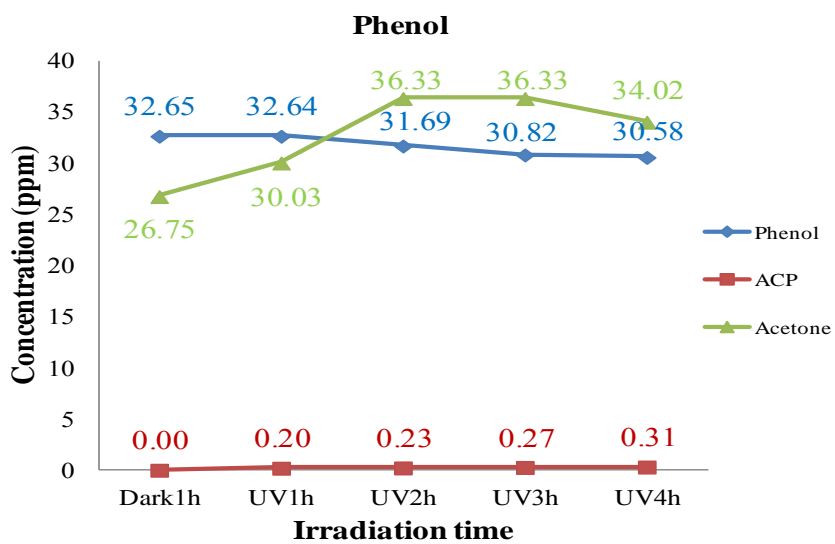
4.7 ผลการศึกษาปฏิกิริยาเชิงแสงและตัวแปรที่มีผลต่อการแตกสลายสารประกอบมาตรฐานฟีนอล

4.7.1 ผลการทดลองปฏิกิริยาเชิงแสงต่อการแตกสลายสารประกอบมาตรฐานฟีนอล

จากภาพที่ 4.10 พบว่าพีคของการดูดกลืนแสงที่สูงสุดของสารประกอบมาตรฐานฟีนอลเกิดขึ้นที่ความยาวคลื่น 270 นาโนเมตร พบว่าการดูดกลืนแสงของสารประกอบมาตรฐานฟีนอลไม่เปลี่ยนแปลงมากนักเมื่อเวลาในการฉายรังสียูวีเพิ่มขึ้นซึ่งมีแนวโน้มไปในทางเดียวกันในการทดลองทั้ง 3 ครั้ง ดังแสดงในภาคผนวก ก ภาพที่ ก-1 ซึ่งสัมพันธ์กับปริมาณของฟีนอลที่ได้จากการวิเคราะห์ด้วยเครื่อง HPLC ดังภาพที่ 4.11 จะเห็นได้ว่าฟีนอลถูกแตกสลายด้วยรังสียูวีเพียงเล็กน้อยและพบว่าอะซีโตฟีโนนเกิดขึ้นในปริมาณที่น้อยมาก เมื่อมีการฉายรังสียูวี นอกจากนี้ยังพบอะซีโตนเกิดขึ้นในแนวโน้มที่มากขึ้นเมื่อมีการฉายรังสียูวี หมายความว่าฟีนอลแตกสลายกลายเป็นอะซีโตฟีโนนและอะซีโตนเมื่อมีการฉายรังสียูวี แต่การใช้รังสียูวีเพียงอย่างเดียวไม่สามารถแตกสลายฟีนอลได้ ดังนั้น ในการแตกสลายสารประกอบมาตรฐานฟีนอลควรใช้ตัวเร่งปฏิกิริยาเชิงแสงในการเพิ่มประสิทธิภาพการทำปฏิกิริยาเชิงแสงของสารประกอบมาตรฐานฟีนอล



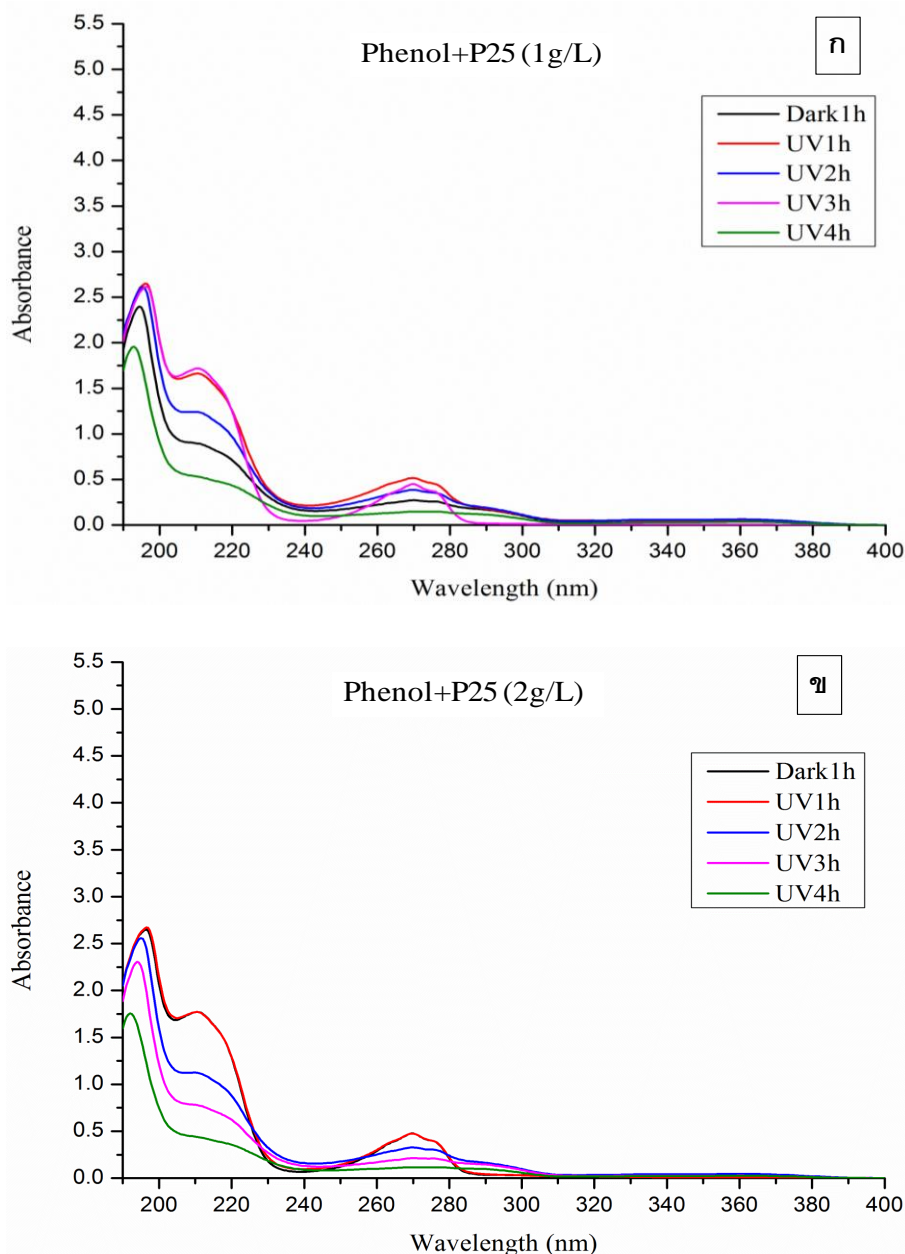
ภาพที่ 4.10 ผลการทดสอบ UV-VIS Spectrophotometer ของสารประกอบมาตรฐานฟีนอล



ภาพที่ 4.11 ผลการวิเคราะห์ด้วยเครื่อง HPLC ของสารประกอบมาตรฐานฟีนอล

4.7.2 ผลการทดลองใช้ไทเทเนีย-P25 เป็นตัวเร่งปฏิกิริยาเชิงแสงในสารประกอบ มาตรฐานฟีนอล

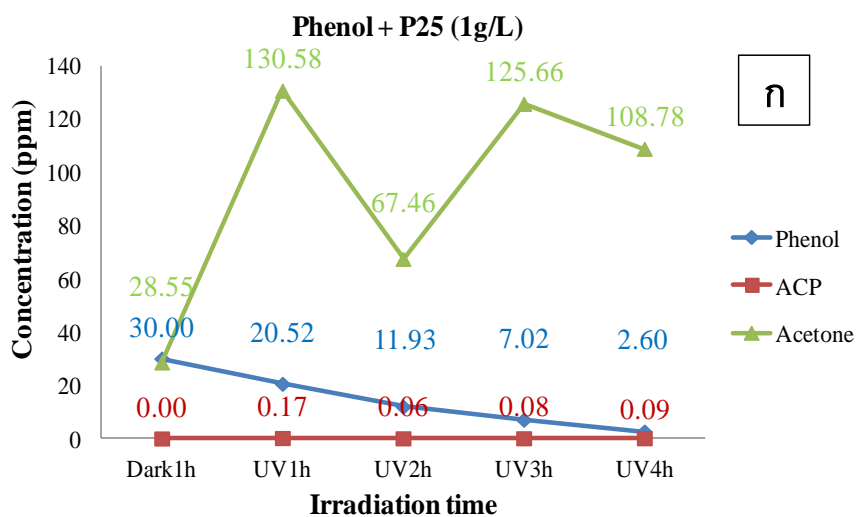
เมื่อทดลองใช้ไทเทเนีย-P25 ปริมาณ 1 g/L เป็นตัวเร่งปฏิกิริยาเชิงแสงในสารประกอบมาตรฐานฟีนอล พบว่าพีคของการดูดกลืนแสงที่สูงสุดที่ความยาวคลื่น 270 นาโนเมตรมีค่าเพิ่มขึ้นเมื่อฉายรังสียูวีไป 1 ชั่วโมงจากนั้นจึงลดลงตามเวลาในการฉายรังสียูวีที่เพิ่มขึ้นดังตามลำดับ ดังแสดงในภาพที่ 4.12 (ก) แต่เมื่อเพิ่มปริมาณไทเทเนีย-P25 เป็น 2 g/L พบว่าค่าการดูดกลืนแสงมีค่าลดลงตามเวลาในการฉายรังสียูวีที่เพิ่มขึ้นจนเกือบเป็นศูนย์ดังภาพที่ 4.12 (ข) ซึ่งในการทดลองทั้ง 3 ครั้งมีแนวโน้มที่ใกล้เคียงกันดังแสดงในภาคผนวก ก ภาพที่ ก-2 และ ภาพที่ ก-3 ซึ่งจะเห็นได้ว่าการเพิ่มปริมาณของไทเทเนีย-P25 นั้นช่วยให้เกิดการทำให้ปฏิกิริยาเชิงแสงต่อสารประกอบมาตรฐานฟีนอลดีขึ้นเมื่อเทียบกับการใช้รังสียูวีเพียงอย่างเดียว นอกจากนี้ B. Roig และคณะวิจัย⁽³⁹⁾ ได้อธิบายกรณีที่ค่าการดูดกลืนแสงของฟีนอลมีค่าเพิ่มขึ้นในช่วงแรกของการฉายรังสียูวีเป็นผลเนื่องมาจากการก่อตัวเพิ่มขึ้นของตัวกลางที่มีวงอโรมาติกในขณะที่ความเข้มข้นของฟีนอลลดลงและต่อมาเมื่อมีการฉายรังสียูวีนานขึ้นก่อให้เกิดการแตกสลายวงอโรมาติกออกไปเรื่อยๆจนทำให้ไม่เหลือวงอโรมาติกส่งผลให้ค่าการดูดกลืนแสงที่วัดได้เป็นศูนย์ ซึ่งสามารถอธิบายถึงปฏิกิริยาเชิงแสงของสารประกอบมาตรฐานฟีนอลของงานวิจัยนี้ได้ นอกจากนี้ เมื่อมีการเริ่มฉายรังสียูวีพบว่าช่วงพีคของการดูดกลืนแสงมีการขยายไปที่ช่วงความยาวคลื่นประมาณ 280-300 นาโนเมตร และความสูงของค่าการดูดกลืนแสงมีแนวโน้มที่ลดลงเมื่อมีฉายรังสียูวีนานขึ้น ซึ่งการเลื่อนของค่าการดูดกลืนแสงที่เกิดขึ้นนั้น เป็นผลมาจากการแตกสลายของสารประกอบมาตรฐานฟีนอลไปเป็นสารอีกชนิดที่มีความเข้มข้นสูงจนส่งผลให้พีคของการดูดกลืนแสงของฟีนอลมีการขยายมาที่ช่วงความยาวคลื่นที่สูงขึ้นดังที่กล่าวมา

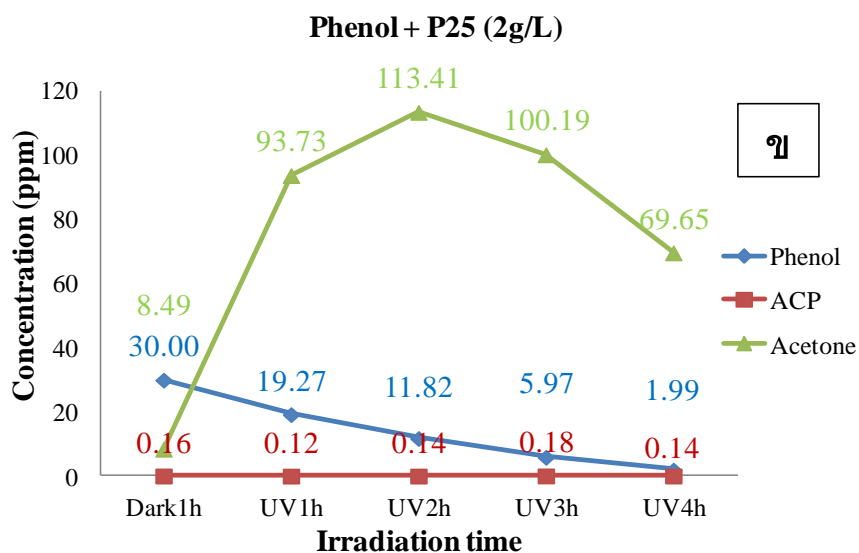


ภาพที่ 4.12 ผลการทดสอบ UV-VIS Spectrophotometer ของสารประกอบมาตรฐานฟีนอลโดยใช้ไทเทเนีย-P25 ปริมาณ (ก) 1g/L (ข) 2g/L

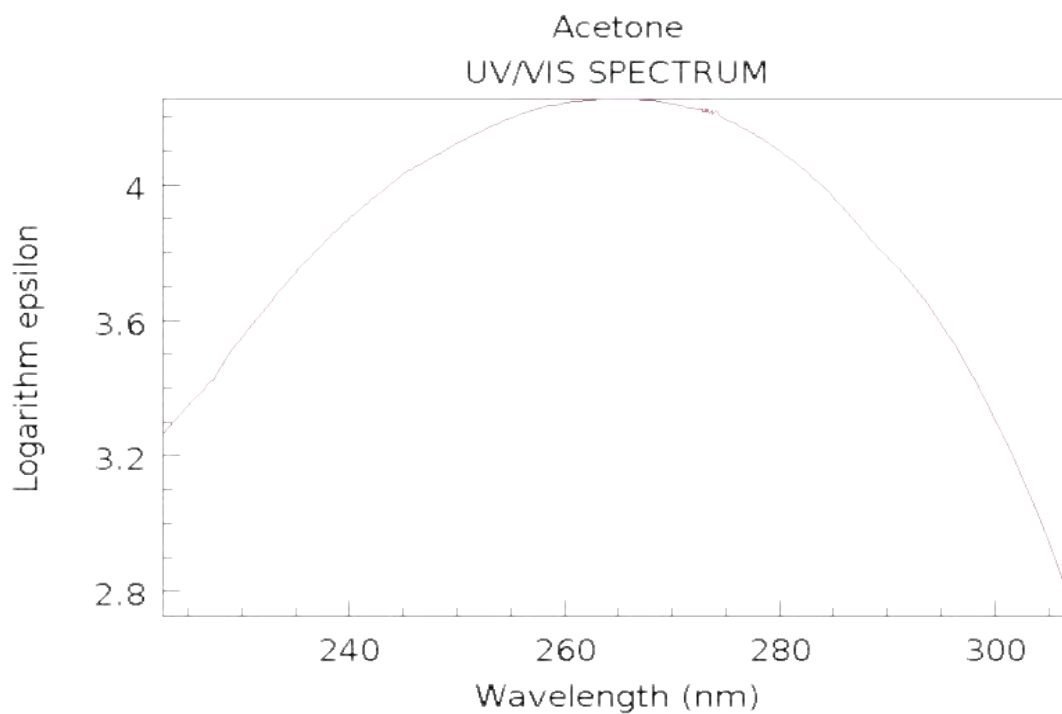
ผลจากการวิเคราะห์ด้วยเครื่อง HPLC ดังแสดงในภาพที่ 4.13 ซึ่งจะเห็นได้ว่า ปริมาณของไทเทเนีย- P25 1 g/L และ 2 g/L สามารถแตกสลายฟีนอลเหลือ 2.60 ppm และ 1.99 ppm ตามลำดับ หลังฉายรังสียูวีเป็นเวลา 4 ชั่วโมงแสดงว่าการใช้ไทเทเนีย- P25 ปริมาณ 1 g/L และ 2 g/L สามารถแตกสลายฟีนอล ได้ 91.33% และ 93.37 % ตามลำดับ นอกจากนี้ยังพบว่า

อะซีโตฟีโนนเกิดเพิ่มขึ้นตามเวลาในการฉายรังสียูวีที่เพิ่มขึ้น แต่มีอยู่ในปริมาณที่น้อยมาก ทั้งยังพบอะซีโตนเกิดขึ้นจากการทำปฏิกิริยาเชิงแสงในปริมาณมากและมีแนวโน้มที่ปริมาณลดลงเมื่อฉายรังสียูวีนานขึ้นซึ่งอาจเนื่องมาจากการระเหย (หรือการแตกสลายกลายเป็นก๊าซคาร์บอนไดออกไซด์และน้ำ) และจากผลวิเคราะห์ HPLC ที่พบปริมาณของอะซีโตนเป็นจำนวนมากเมื่อมีการฉายรังสียูวีนั้นสัมพันธ์กับค่าการดูดกลืนแสงในช่วงความยาวคลื่น 280-300 นาโนเมตร หมายความว่าอะซีโตนนั่นเป็นสารที่ทำให้พีคของการดูดกลืนแสงของฟินอลนั้นขยายมาที่ความยาวคลื่น 280-300 นาโนเมตร นอกจากนี้ จากภาพที่ 4.14 แสดงให้เห็นว่าลักษณะการดูดกลืนแสงของอะซีโตนมีลักษณะคล้ายกับสารที่ก่อให้เกิดการดูดกลืนแสงในช่วงความยาวคลื่น 280-300 นาโนเมตร ซึ่งเป็นการยืนยันได้ว่าอะซีโตนเป็นสารที่เกิดจากการแตกสลายของสารประกอบมาตรฐานฟินอลและก่อให้เกิดการดูดกลืนแสงในช่วงความยาวคลื่น 280-300 นาโนเมตร





ภาพที่ 4.13 ผลการวิเคราะห์ด้วยเครื่อง HPLC ของสารประกอบมาตรฐานฟีนอลโดยใช้ไทเทเนีย-
P25 ปริมาณ (ก) 1g/L (ข) 2g/L



ภาพที่ 4.14 UV-VIS spectrum ของอะซิโตน⁽⁵¹⁾

จากงานวิจัยของ M.N. Chong และคณะวิจัย⁽⁵⁰⁾ พบว่า first order kinetics นั้นมีความเหมาะสมต่อการคำนวณหาอัตราเร็วในการแตกสลายของสารอินทรีย์ที่ผ่านการแตกสลายด้วยแสง ซึ่งอัตราเร็วนี้คำนวณได้จากสมการ 4.4

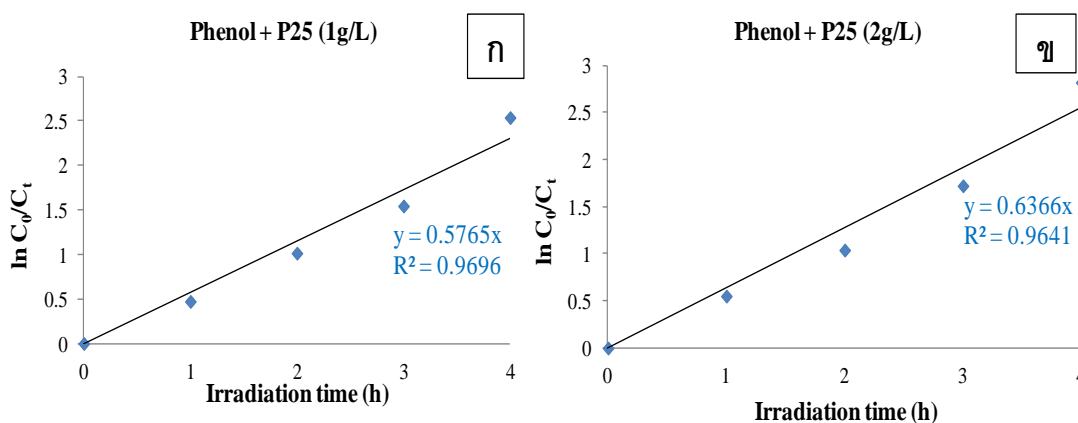
$$kt = \ln(C_0/C_t) \quad (4.4)$$

เมื่อ k = อัตราเร็วในการแตกสลายของสารประกอบที่เกิดขึ้น (1/h)

C_0 = ความเข้มข้นเริ่มต้น (ppm)

C_t = ความเข้มข้นหลังจากฉายรังสียูวีเป็นเวลา t ชั่วโมง (ppm)

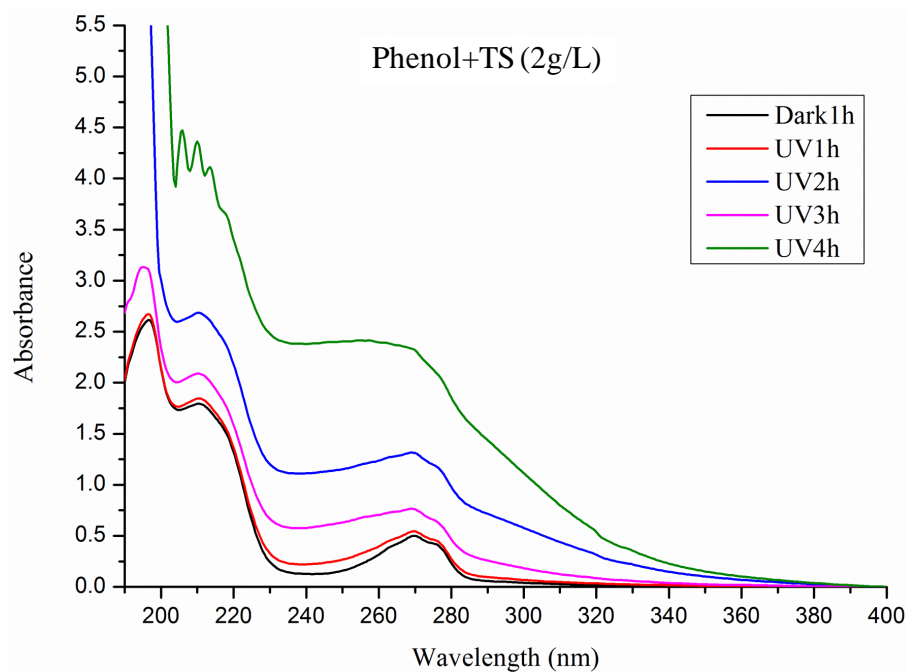
จากภาพที่ 4.15 พบว่าเส้นกราฟมีลักษณะเป็น pseudo-first-order reaction และอัตราเร็วในการแตกสลายฟีนอลโดยใช้ไทเทเนีย-P25 ปริมาณ 1 g/L และ 2 g/L เป็นตัวเร่งปฏิกิริยาเชิงแสง ได้อัตราการแตกสลายด้วยแสงเป็น 0.577 h^{-1} และ 0.637 h^{-1} ตามลำดับ จากที่กล่าวมาจะเห็นว่า การเพิ่มปริมาณของไทเทเนีย-P25 นั้นช่วยเพิ่มประสิทธิภาพในการแตกสลายฟีนอล



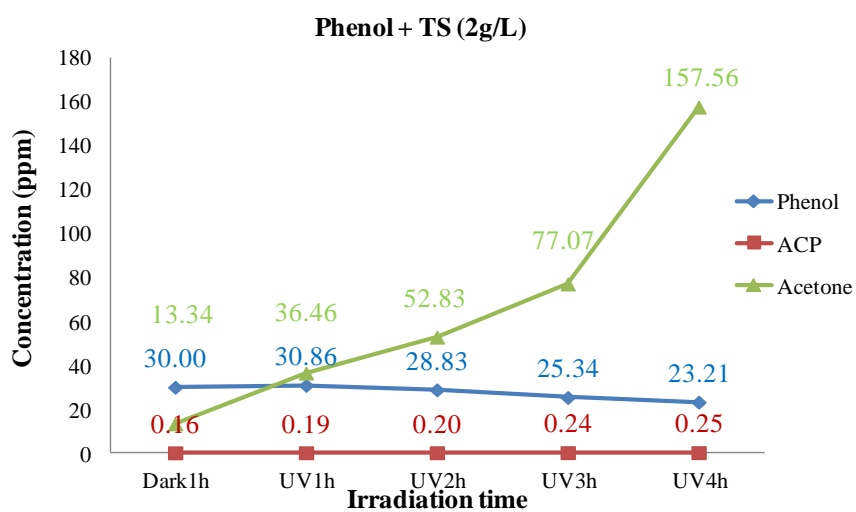
ภาพที่ 4.15 อัตราการแตกสลายสารประกอบมาตรฐานฟีนอลด้วยตัวเร่งปฏิกิริยาไทเทเนีย-P25 ปริมาณ (ก) 1g/L (ข) 2g/L

4.7.3 ผลการทดลองใช้ ไทเทเนีย/ซิลิกาเป็นตัวเร่งปฏิกิริยาเชิงแสงในสารประกอบ มาตรฐานฟีนอล

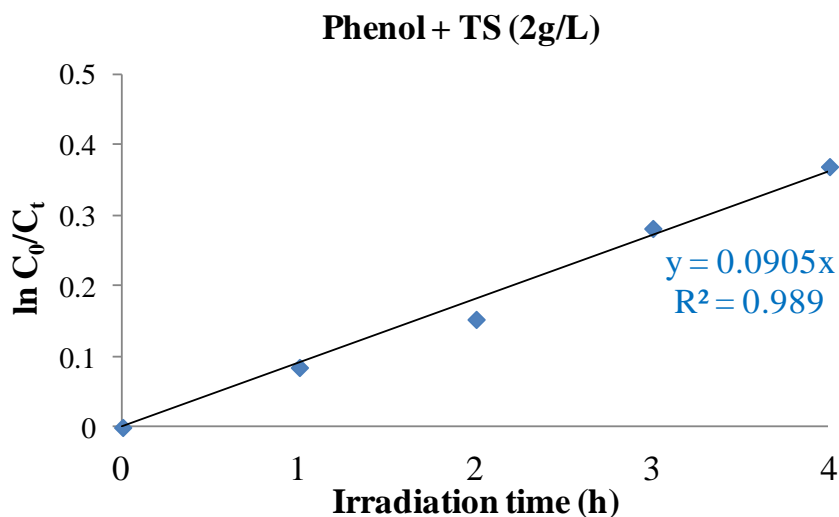
เมื่อทดลองใช้ไทเทเนีย/ซิลิกา ปริมาณ 2g/L เป็นตัวเร่งปฏิกิริยาในฟีนอล พบว่าพีคของการดูดกลืนแสงที่สูงสุดของสารประกอบมาตรฐานฟีนอลที่ความยาวคลื่น 270 นาโนเมตรมีค่าเพิ่มขึ้นเมื่อฉายรังสียูวีนานขึ้น ถึงแม้ว่าทำการฉายรังสียูวีเป็นเวลา 4 ชั่วโมงแล้วก็ตาม ดังภาพที่ 4.16 หมายความว่า การใช้ไทเทเนีย/ซิลิกานั้นไม่สามารถแตกสลายวงอโรมาติกของฟีนอลที่เกิดขึ้นได้จนหมด นอกจากนี้ยังพบว่าพีคของการดูดกลืนแสงมีการขยายไปในช่วงความยาวคลื่น 280-300 นาโนเมตร ซึ่งเป็นผลมาจากการแตกสลายของฟีนอลไปเป็นอะซีโตน และมีค่าการดูดกลืนแสงเพิ่มขึ้นเมื่อฉายรังสียูวีนานขึ้น ซึ่งหมายถึงมีปริมาณของอะซีโตนเพิ่มขึ้นเมื่อฉายรังสียูวีนานขึ้น และในการทดลองทั้ง 3 ครั้ง พบว่าค่าการดูดกลืนแสงนั้นมีแนวโน้มไปในทางเดียวกันตามที่แสดงในภาคผนวก ก ภาพที่ ก-4 และเมื่อทำการวิเคราะห์ปริมาณของฟีนอลที่เหลือด้วยเครื่อง HPLC ดังแสดงในภาพที่ 4.17 พบว่า ปริมาณของฟีนอลนั้นลดลงเพียงเล็กน้อยเมื่อทำการฉายรังสียูวีเป็นเวลา 4 ชั่วโมงซึ่งปริมาณฟีนอลลดลง เหลือ 23.21 ppm แสดงว่า การใช้ ไทเทเนีย/ซิลิกา (2 g/L) สามารถแตกสลายฟีนอลไปได้ 22.63% โดยมีอัตราเร็วในการแตกสลายฟีนอลเพียง 0.091 h^{-1} ดังแสดงในภาพที่ 4.18 และพบว่า มีอะซีโตนที่อินเกิดขึ้นปริมาณเล็กน้อยเมื่อมีการฉายรังสียูวี ทั้งยังพบอะซีโตนเกิดขึ้นระหว่างทำปฏิกิริยาในปริมาณที่มากขึ้นตามเวลาฉายรังสียูวีที่เพิ่มขึ้น



ภาพที่ 4.16 ผลการทดสอบ UV-VIS Spectrophotometer ของสารประกอบมาตรฐานฟีนอลโดยใช้ไทเทเนียม/ซีลีกาปริมาณ 2 g/L



ภาพที่ 4.17 ผลการวิเคราะห์ด้วยเครื่อง HPLC ของสารประกอบมาตรฐานฟีนอลโดยใช้ไทเทเนียม/ซีลีกาปริมาณ 2 g/L



ภาพที่ 4.18 อัตราการแตกสลายสารประกอบมาตรฐานฟีนอลด้วยตัวเร่งปฏิกิริยาไทเทเนีย/ซิลิกา ปริมาณ 2g/L

ตารางที่ 4.2 ปริมาณสาร ประสิทธิภาพการแตกสลายและอัตราการแตกสลายของสารประกอบมาตรฐานฟีนอลหลังฉายรังสียูวี 1-4 ชั่วโมง

Phenolic compound	Condition	Concentration (ppm)					Efficiency of degradation (%)	rate constant(k, 1/h)
		Dark 1h	UV1h	UV2h	UV3h	UV4h		
Phenol	Blank	30.00	30.00	30.00	30.00	30.00	0.00	-
	+P25 (1g/L)	30.00	20.52	11.93	7.02	2.60	91.33	0.577
	+P25 (2g/L)	30.00	19.27	11.82	5.97	1.99	93.37	0.637
	+TS (2g/L)	30.00	30.86	28.83	25.34	23.21	22.63	0.091

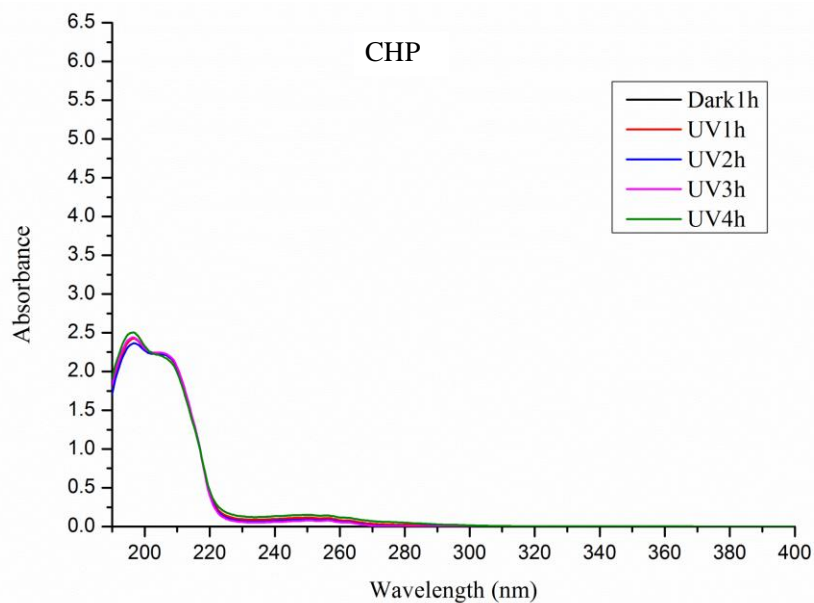
ตารางที่ 4.2 แสดงปริมาณสารประกอบที่เกิดขึ้นหลังทำปฏิกิริยาของสารประกอบมาตรฐานฟีนอลในสถานะต่างๆ รวมถึงประสิทธิภาพและอัตราในการแตกสลายสารประกอบ พบว่าการใช้แสงเพียงอย่างเดียวนั้นไม่สามารถแตกสลายฟีนอลได้ แต่การเติมไทเทเนีย-P25 ปริมาณ 2 g/L ให้ประสิทธิภาพในการแตกสลายฟีนอลได้ดีที่สุด ตามด้วยการเติมไทเทเนีย-P25

ปริมาณ 1 g/L และไทเทเนีย/ซิลิกา ปริมาณ 2g/L ที่ให้ประสิทธิภาพในการแตกสลายน้อยที่สุด เมื่อเปรียบเทียบระหว่างตัวทำปฏิกิริยาเชิงแสงด้วยกัน นอกจากนี้ การใช้ไทเทเนีย-P25 เป็นตัวเร่งปฏิกิริยาเชิงแสงสามารถแตกพันธะวงอโรมาติกของฟีนอลได้ทั้งหมด แต่เมื่อเปรียบเทียบกับการใช้ไทเทเนีย/ซิลิกาแล้ว ยังไม่สามารถแตกสลายวงอโรมาติกของฟีนอลได้

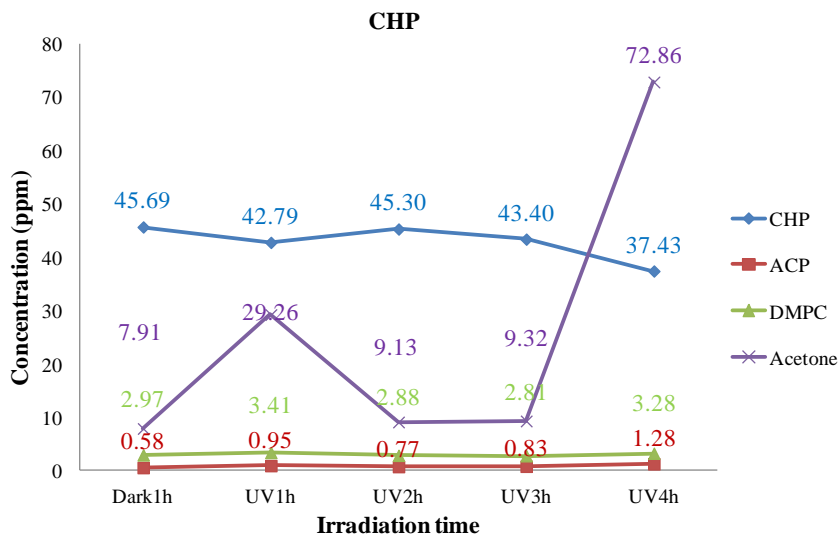
4.8 ผลการศึกษาปฏิกิริยาเชิงแสงและตัวแปรที่มีผลต่อการแตกสลายสารประกอบมาตรฐานคิวมินไฮโดรเปอร์ออกไซด์

4.8.1 ผลการทดลองปฏิกิริยาเชิงแสงของสารประกอบมาตรฐานคิวมินไฮโดรเปอร์ออกไซด์

จากภาพที่ 4.19 พีคของการดูดกลืนแสงที่สูงที่สุดของสารประกอบมาตรฐานคิวมินไฮโดรเปอร์ออกไซด์ที่ความยาวคลื่น 255 นาโนเมตร พบว่ามีค่าไม่เปลี่ยนแปลงมากนักเมื่อเวลาในการฉายรังสียูวีเพิ่มขึ้น ซึ่งค่าการดูดกลืนแสงในการทดลองทั้ง 4 ครั้งมีลักษณะไปในทางเดียวกันดังแสดงในภาคผนวก ก ภาพที่ ก-5 และผลการวิเคราะห์ด้วยเครื่อง HPLC ดังภาพที่ 4.20 พบว่าคิวมินไฮโดรเปอร์ออกไซด์นั้นแตกสลายไปได้เพียงเล็กน้อย นอกจากนี้ ยังพบว่ามีอะซีโตฟีโนนและ dimethyl phenyl carbinol (DMPC) เกิดขึ้นในปริมาณเล็กน้อย และอะซีโตนในปริมาณที่มากขึ้น เมื่อฉายรังสียูวีนานขึ้น แสดงว่าการใช้รังสียูวีเพียงอย่างเดียวในการแตกสลายนั้นก่อให้เกิดอะซีโตนฟีโนน อะซีโตนและ dimethyl phenyl carbinol (DMPC) ขึ้นระหว่างทำปฏิกิริยาเชิงแสง



ภาพที่ 4.19 ผลการทดสอบ UV-VIS Spectrophotometer ของสารประกอบมาตรฐาน
คิวมินไฮโดรเปอร์ออกไซด์

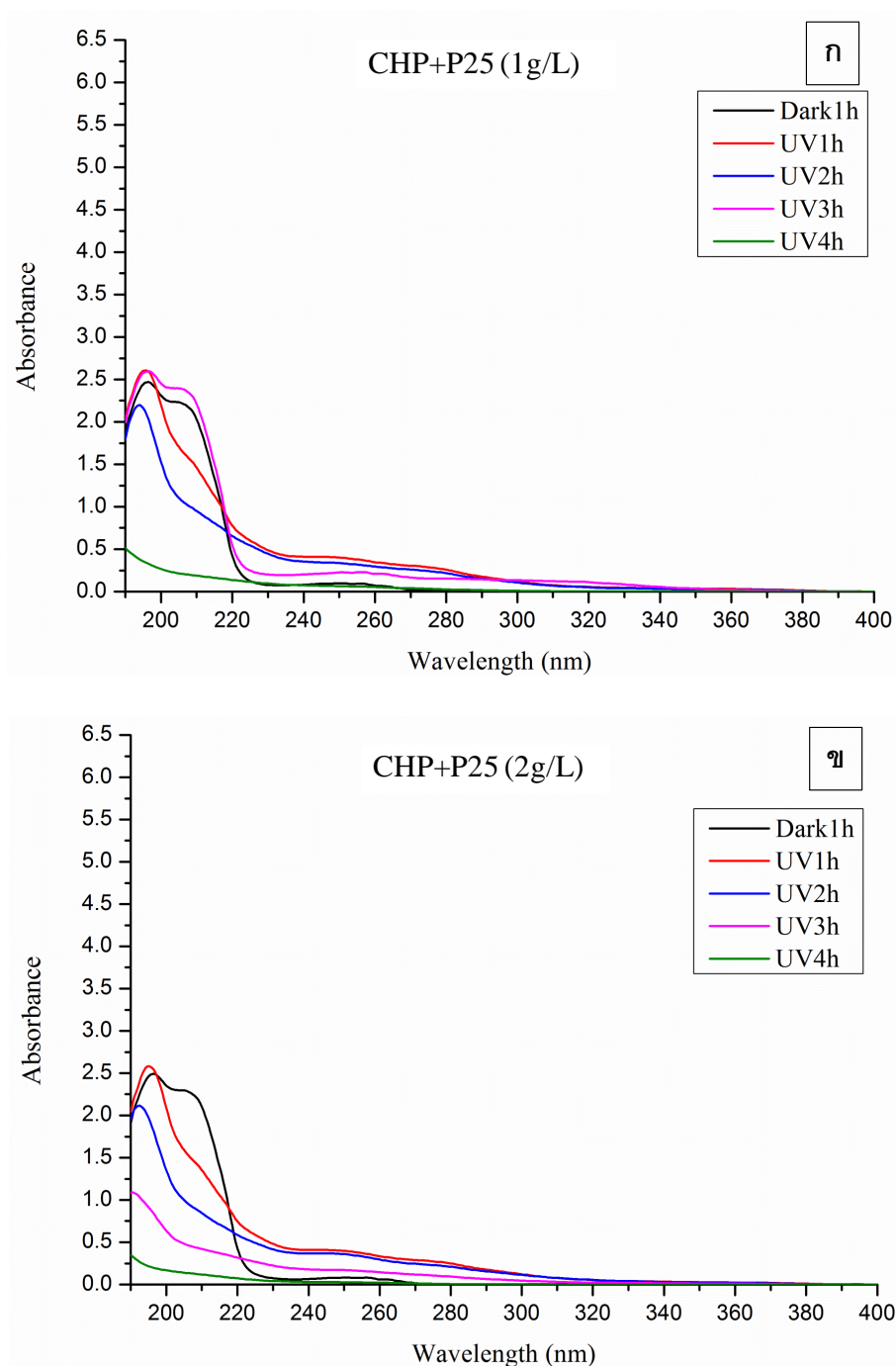


ภาพที่ 4.20 ผลการวิเคราะห์ด้วยเครื่อง HPLC ของสารประกอบมาตรฐาน
คิวมินไฮโดรเปอร์ออกไซด์

4.8.2 ผลการทดลองใช้ไทเทเนีย P25 เป็นตัวเร่งปฏิกิริยาเชิงแสงในสารประกอบ มาตรฐานควิมีนไฮโดรเปอร์ออกไซด์

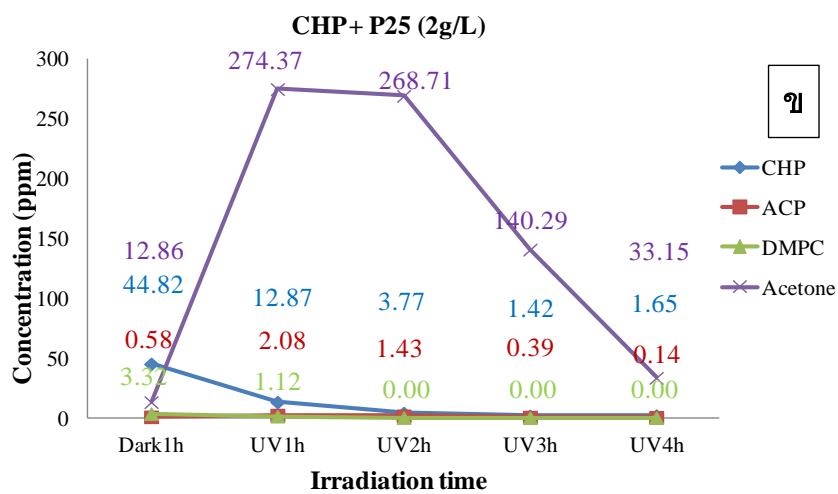
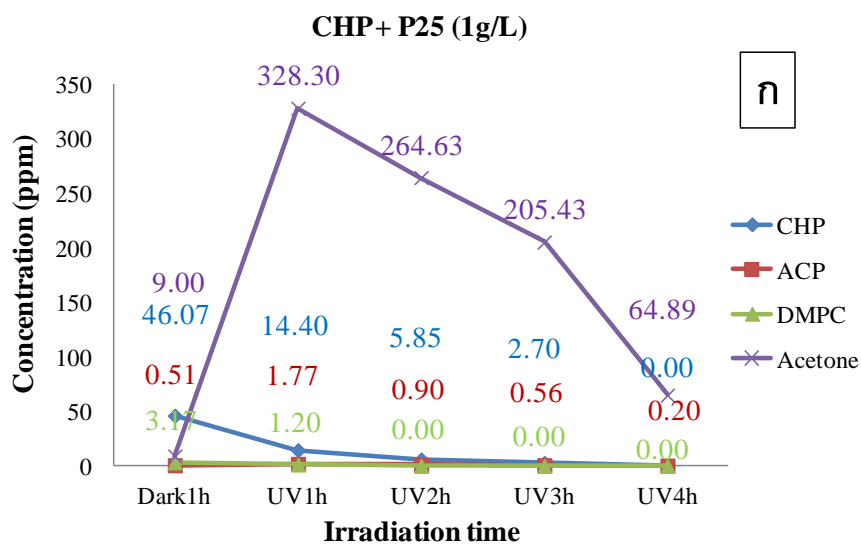
เมื่อทดลองใช้ไทเทเนีย-P25 ปริมาณ 1 g/L และ 2 g/L เป็นตัวเร่งปฏิกิริยาเชิงแสงในสารประกอบมาตรฐานควิมีนไฮโดรเปอร์ออกไซด์พบว่าพีคของการดูดกลืนแสงที่สูงสุดของควิมีนไฮโดรเปอร์ออกไซด์ที่ความยาวคลื่น 255 นาโนเมตร มีค่าเพิ่มขึ้นเมื่อฉายรังสียูวีไป 1 ชั่วโมง และเกิดการขยายช่วงการดูดกลืนแสงที่สูงสุดไปยังช่วงความยาวคลื่น 280-300 นาโนเมตรและค่าการดูดกลืนแสงลดลงตามเวลาในการฉายรังสียูวีที่เพิ่มขึ้น ดังแสดงในภาพที่ 4.21 (ก) และ (ข) ซึ่งหมายความว่าเมื่อมีการฉายรังสียูวี พบว่าควิมีนไฮโดรเปอร์ออกไซด์แตกสลายกลายเป็นอะซีโตนและความเข้มข้นของควิมีนไฮโดรเปอร์ออกไซด์และอะซีโตนลดลงเมื่อฉายรังสียูวีนานขึ้น นอกจากนี้ในงานวิจัยนี้ได้ทำการทดลองซ้ำ 4 ครั้ง พบว่าค่าการดูดกลืนแสงมีลักษณะที่เป็นไปในทางเดียวกัน ดังแสดงในภาคผนวก ก ภาพที่ ก-6 และ ภาพที่ ก-7 นอกจากนี้ ปริมาณควิมีนไฮโดรเปอร์ออกไซด์ที่ได้จากการวิเคราะห์ด้วยเครื่อง HPLC ดังแสดงในภาพที่ 4.22 จะเห็นได้ว่า ปริมาณควิมีนไฮโดรเปอร์ออกไซด์ลดลงไปเรื่อยๆตามเวลาที่ฉายรังสียูวีนานขึ้น โดยการใช้ ไทเทเนีย-P25 ปริมาณ 1 g/L สามารถแตกสลายควิมีนไฮโดรเปอร์ออกไซด์ได้จนหมด ในขณะที่การใช้ตัวเร่งปฏิกิริยาเชิงแสงปริมาณ 2 g/L สามารถแตกสลายควิมีนไฮโดรเปอร์ออกไซด์จนเหลือปริมาณ 1.65 ppm หลังฉายด้วยรังสียูวีเป็นเวลา 4 ชั่วโมง ซึ่งคำนวณประสิทธิภาพการแตกสลายได้ว่าการใช้ไทเทเนีย-P25 ปริมาณ 1 g/L และ 2 g/L สามารถแตกสลายควิมีนไฮโดรเปอร์ออกไซด์ไปได้ 100% และ 96.32% ตามลำดับ จากผลการวิเคราะห์ด้วยเครื่อง HPLC สามารถสรุปได้ว่าการใช้ไทเทเนีย-P25 เพียง 1 g/L นั้นเพียงพอต่อการแตกสลายควิมีนไฮโดรเปอร์ออกไซด์แล้ว นอกจากนี้ยังพบว่า มีอะซีโตนีโตนและ DMPC เกิดขึ้นในปริมาณเล็กน้อยเมื่อมีการฉายรังสียูวี ทั้งยังพบอะซีโตนเกิดขึ้นในปริมาณที่เพิ่มมากขึ้นเมื่อฉายรังสียูวีจนถึง 2 ชั่วโมง จากนั้นปริมาณของอะซีโตนจึงเริ่มลดลงเรื่อยๆ เนื่องจากเกิดการระเหย (ค่าความดันไอของอะซีโตน ควิมีนไฮโดรเปอร์ออกไซด์และอะซีโตนีโตนแสดงในภาคผนวก ข ตารางที่ ข- 1) ซึ่งความเข้มข้นที่ลดลงของควิมีนไฮโดรเปอร์ออกไซด์และอะซีโตนนั้นสัมพันธ์กับลักษณะการดูดกลืนแสงที่วิเคราะห์ด้วยเครื่อง UV-VIS spectrophotometer และเมื่อนำความเข้มข้นที่ได้มาคำนวณหาอัตราเร็วในการแตกสลายของสารประกอบมาตรฐานควิมีนไฮโดรเปอร์ออกไซด์โดยใช้ไทเทเนีย-P25 ปริมาณ 1 g/L และ 2 g/L

เป็นตัวเร่งปฏิกิริยาเชิงแสงพบว่าอัตราการแตกสลายด้วยแสงคือ 0.986 h^{-1} และ 0.992 h^{-1} ตามลำดับ ดังแสดงในภาพที่ 4.23

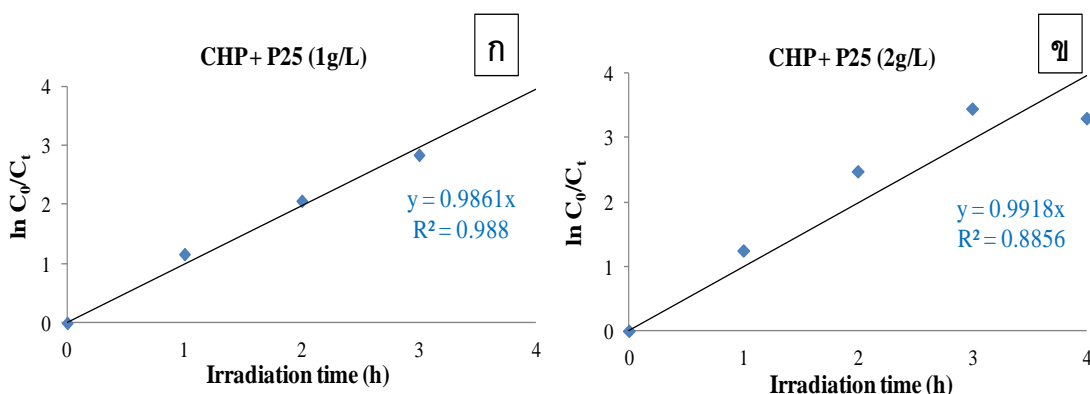


ภาพที่ 4.21 ผลการทดสอบ UV-VIS Spectrophotometer ของสารประกอบมาตรฐาน

คิวมินไฮโดรเปอร์ออกไซด์โดยใช้ ไทเทเนีย-P25 ปริมาณ (ก) 1 g/L (ข) 2 g/L



ภาพที่ 4.22 ผลการวิเคราะห์ด้วยเครื่อง HPLC ของสารประกอบมาตรฐาน คิวมีนไฮโดรเปอร์ออกไซด์โดยใช้ไทเทเนีย-P25 ปริมาณ (ก) 1 g/L (ข) 2 g/L

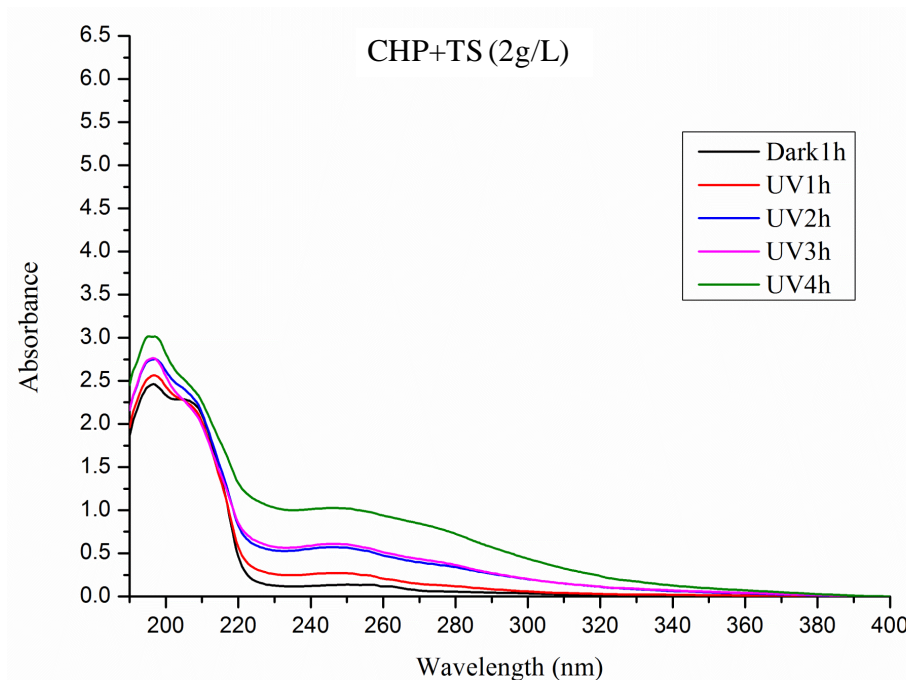


ภาพที่ 4.23 อัตราการแตกสลายสารประกอบมาตรฐานควิมีนไฮโดรเปอร์ออกไซด์ด้วยตัวเร่งปฏิกิริยาไทเทเนีย-P25 ปริมาณ (ก) 1 g/L (ข) 2 g/L

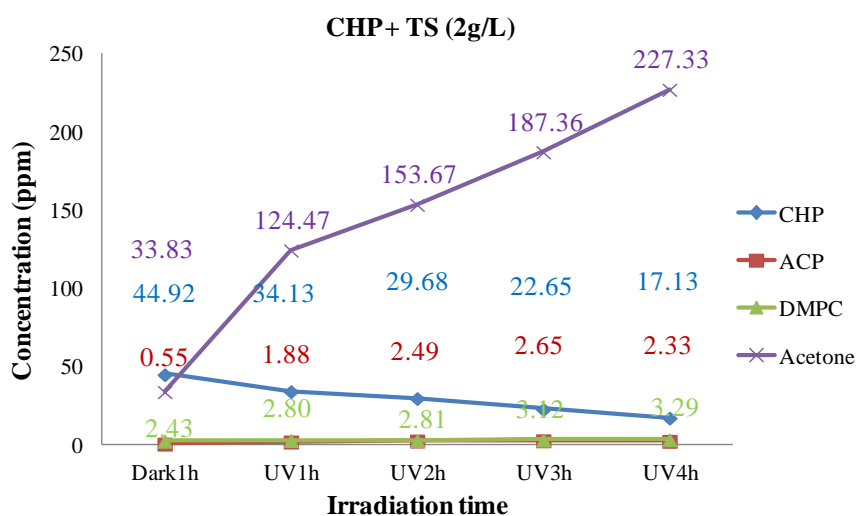
4.8.3 ผลการทดลองใช้ไทเทเนีย/ซิลิกาเป็นตัวเร่งปฏิกิริยาเชิงแสงในสารประกอบมาตรฐานควิมีนไฮโดรเปอร์ออกไซด์

เมื่อทดลองใช้ไทเทเนีย/ซิลิกาปริมาณ 2 g/L เป็นตัวเร่งปฏิกิริยาเชิงแสงในควิมีนไฮโดรเปอร์ออกไซด์พบว่าพีคของการดูดกลืนแสงที่สูงสุดที่ความยาวคลื่น 255 นาโนเมตร มีค่าเพิ่มขึ้นตามเวลาในการฉายรังสียูวีที่นานขึ้น และพบพีคของการดูดกลืนแสงในช่วงของอะซีโตนในช่วงความยาวคลื่น 280-300 นาโนเมตร ซึ่งมีค่าการดูดกลืนแสงเพิ่มขึ้นเมื่อฉายรังสียูวีนานขึ้น ซึ่งแสดงถึงปริมาณของอะซีโตนที่เพิ่มขึ้นจากการแตกสลายของสารประกอบมาตรฐานควิมีนไฮโดรเปอร์ออกไซด์เมื่อมีการฉายรังสียูวีนานขึ้น ดังแสดงในภาพที่ 4.24 นอกจากนี้ในการทดลองซ้ำ 4 ครั้งพบว่าค่าการดูดกลืนแสงนั้นต่างมีค่าเพิ่มขึ้นเมื่อฉายรังสียูวีนานขึ้น ดังแสดงในภาคผนวก ก ภาพที่ ก-8 จากการวิเคราะห์ด้วยเครื่อง HPLC ดังแสดงในภาพที่ 4.25 พบว่าการใช้ไทเทเนีย/ซิลิกาเป็นตัวเร่งปฏิกิริยาเชิงแสงนั้นทำให้ควิมีนไฮโดรเปอร์ออกไซด์แตกสลายจนมีความเข้มข้นลดลงเหลือ 17.13 ppm ซึ่งประสิทธิภาพในการแตกสลายควิมีนไฮโดรเปอร์ออกไซด์โดยใช้ไทเทเนีย/ซิลิกาปริมาณ 2 g/L คือ 61.87% และเมื่อนำความเข้มข้นที่ได้มาคำนวณหาอัตราเร็วในการแตกสลายควิมีนไฮโดรเปอร์ออกไซด์โดยใช้ ไทเทเนีย/ซิลิกาปริมาณ 2g/L เป็นตัวเร่งปฏิกิริยาเชิงแสงได้ ค่า $k = 0.234 \text{ h}^{-1}$ ดังแสดงในภาพที่ 4.26 นอกจากนี้ ยังพบว่าควิมีนไฮโดรเปอร์ออกไซด์แตกสลายกลายเป็นอะซีโตนฟีนอล DMPC และอะซีโตน โดยอะซีโตนฟีนอลและ DMPC เกิดขึ้นในปริมาณเล็กน้อย และอะซีโตนมีปริมาณเพิ่มขึ้นเมื่อฉายรังสียูวีนานขึ้นซึ่งสัมพันธ์กับผลการวิเคราะห์ด้วย

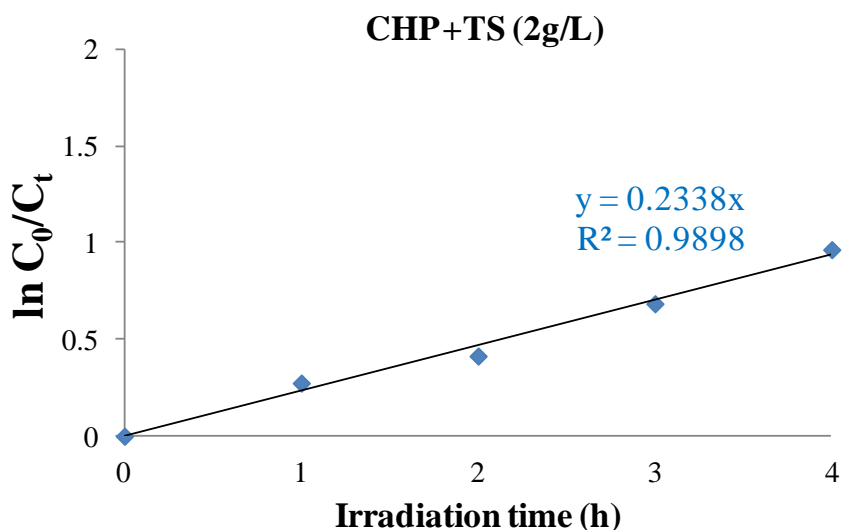
เครื่อง UV-VIS spectrophotometer การเพิ่มขึ้นของอะซีโตนคาดว่าเนื่องมาจากปฏิกิริยาที่ช้าและสมบัติเฉพาะของไทเทเนีย/ซิลิกา เช่น พื้นที่ผิวและความพรุนที่สูงมาก เป็นต้น



ภาพที่ 4.24 ผลการทดสอบ UV-VIS Spectrophotometer ของสารประกอบมาตรฐาน คิวมินไฮโดรเปอร์ออกไซด์โดยใช้ ไทเทเนีย/ซิลิกาปริมาณ 2 g/L



ภาพที่ 4.25 ผลการวิเคราะห์ด้วยเครื่อง HPLC ของสารประกอบมาตรฐาน คิวมินไฮโดรเปอร์ออกไซด์โดยใช้ไทเทเนีย/ซิลิกาปริมาณ 2 g/L



ภาพที่ 4.26 อัตราการแตกสลายสารประกอบมาตรฐานคิวมินไฮโดรเปอร์ออกไซด์ด้วยตัวเร่งปฏิกิริยาไทเทเนีย/ซิลิกาปริมาณ 2 g/L

ตารางที่ 4.3 ปริมาณสาร ประสิทธิภาพการแตกสลายและอัตราการแตกสลายของสารประกอบมาตรฐานคิวมินไฮโดรเปอร์ออกไซด์หลังฉายรังสียูวี 1-4 ชั่วโมง

Phenolic compound	Condition	Concentration (ppm)					Efficiency of degradation (%)	rate constant(k,1/h)
		Dark 1h	UV1h	UV2h	UV3h	UV4h		
CHP	Blank	45.69	42.79	45.30	43.40	37.43	18.08	-
	+P25 (1g/L)	46.07	14.40	5.85	2.70	0.00	100.00	0.986
	+P25 (2g/L)	44.82	12.87	3.77	1.42	1.65	96.32	0.992
	+TS (2g/L)	44.92	34.13	29.68	22.65	17.13	61.87	0.234

หมายเหตุ CHP คือ คิวมินไฮโดรเปอร์ออกไซด์

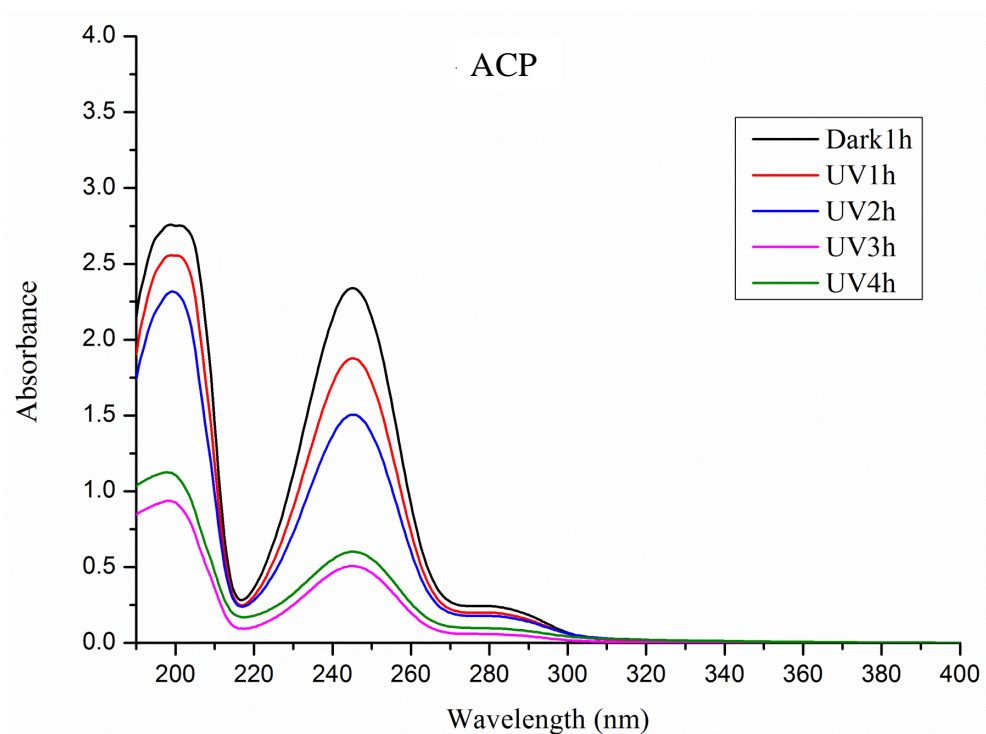
จากตารางที่ 4.3 แสดงปริมาณสารประกอบที่เกิดขึ้นหลังทำปฏิกิริยาเชิงแสงของคิวมินไฮโดรเปอร์ออกไซด์ในสภาวะต่างๆ รวมถึงประสิทธิภาพและอัตราในการแตกสลายสารประกอบ พบว่าการใช้แสงเพียงอย่างเดียวนั้นไม่สามารถแตกสลายคิวมินไฮโดรเปอร์ออกไซด์ได้ แต่การเติมไทเทเนีย-P25 ปริมาณ 2 g/L ให้ประสิทธิภาพในการแตกสลายคิวมินไฮโดรเปอร์

ออกไซด์ได้ดีที่สุด ตามด้วยการเติมไทเทเนีย-P25 ปริมาณ 1 g/L และไทเทเนีย/ซิลิกา ปริมาณ 2 g/L ที่ให้ประสิทธิภาพในการแตกสลายน้อยที่สุดเมื่อเปรียบเทียบระหว่างตัวทำปฏิกิริยาเชิงแสงด้วยกัน อย่างไรก็ตามการเติมไทเทเนีย-P25 ปริมาณ 1 g/L ก็เพียงพอต่อการแตกสลายควินินไฮโดรเปอร์ออกไซด์แล้ว

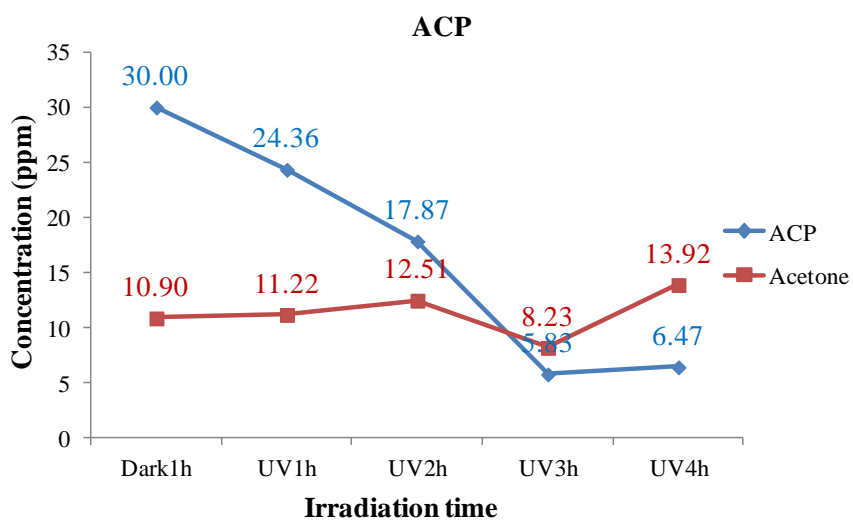
4.9 ผลการศึกษาปฏิกิริยาเชิงแสงและตัวแปรที่มีผลต่อการแตกสลายสารประกอบมาตรฐานอะซีโตฟีโนน

4.9.1 ผลการทดลองปฏิกิริยาเชิงแสงของสารประกอบมาตรฐานอะซีโตฟีโนน

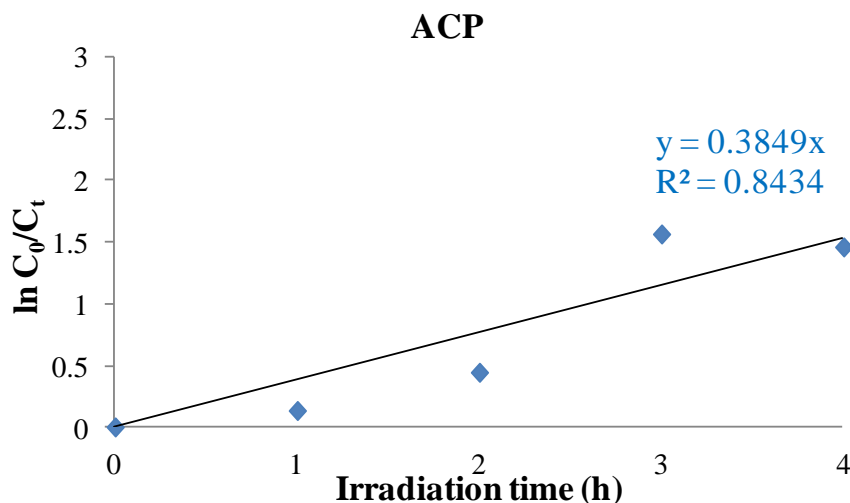
จากภาพที่ 4.27 ผลการทดสอบ UV-VIS Spectrophotometer ของสารประกอบมาตรฐานอะซีโตฟีโนน พบว่าพีคของการดูดกลืนแสงที่สูงสุดของสารประกอบมาตรฐาน อะซีโตฟีโนนที่ความยาวคลื่น 245 นาโนเมตร มีค่าลดลงตามเวลาในการฉายรังสียูวีเพิ่มขึ้นและพบพีคของการดูดกลืนแสงอีกในช่วงความยาวคลื่น 280-300 นาโนเมตร ซึ่งมีค่าการดูดกลืนแสงลดลงเมื่อฉายรังสียูวีนานขึ้น ซึ่งหมายความว่าวงอโรมาติกของอะซีโตฟีโนนสามารถแตกสลายได้ตั้งแต่ชั่วโมงแรกของการฉายรังสียูวี และก่อให้เกิดอะซีโตนขึ้นเมื่อมีการฉายรังสียูวี ในการทดลองทั้ง 4 ครั้งพบว่าค่าการดูดกลืนแสงมีแนวโน้มไปในทางเดียวกัน ดังแสดงในภาคผนวก ก ภาพที่ ก-9 นอกจากนี้ปริมาณของอะซีโตฟีโนนที่ได้จากการวิเคราะห์ด้วยเครื่อง HPLC ดังภาพที่ 4.28 พบว่าปริมาณอะซีโตฟีโนนลดลงเหลือ 6.47 ppm เมื่อฉายรังสียูวีเป็นเวลา 4 ชั่วโมงและมีประสิทธิภาพในการแตกสลาย 78.43 % เมื่อนำความเข้มข้นที่ได้มาคำนวณหาอัตราเร็วในการแตกสลายอะซีโตฟีโนนได้ ค่า $k = 0.385 \text{ h}^{-1}$ ดังภาพที่ 4.29 ทำให้คาดว่าใช้เพียงแสงยูวีเพียงอย่างเดียวก็สามารถแตกสลายอะซีโตฟีโนนได้ นอกจากนี้ยังพบอะซีโตนเกิดขึ้นเป็นผลพลอยได้ระหว่างทำปฏิกิริยาเชิงแสง



ภาพที่ 4.27 ผลการทดสอบ UV-VIS Spectrophotometer ของสารประกอบมาตรฐาน อะซีโตฟีโนน



ภาพที่ 4.28 ผลการวิเคราะห์ด้วยเครื่อง HPLC ของสารประกอบมาตรฐานอะซีโตฟีโนน

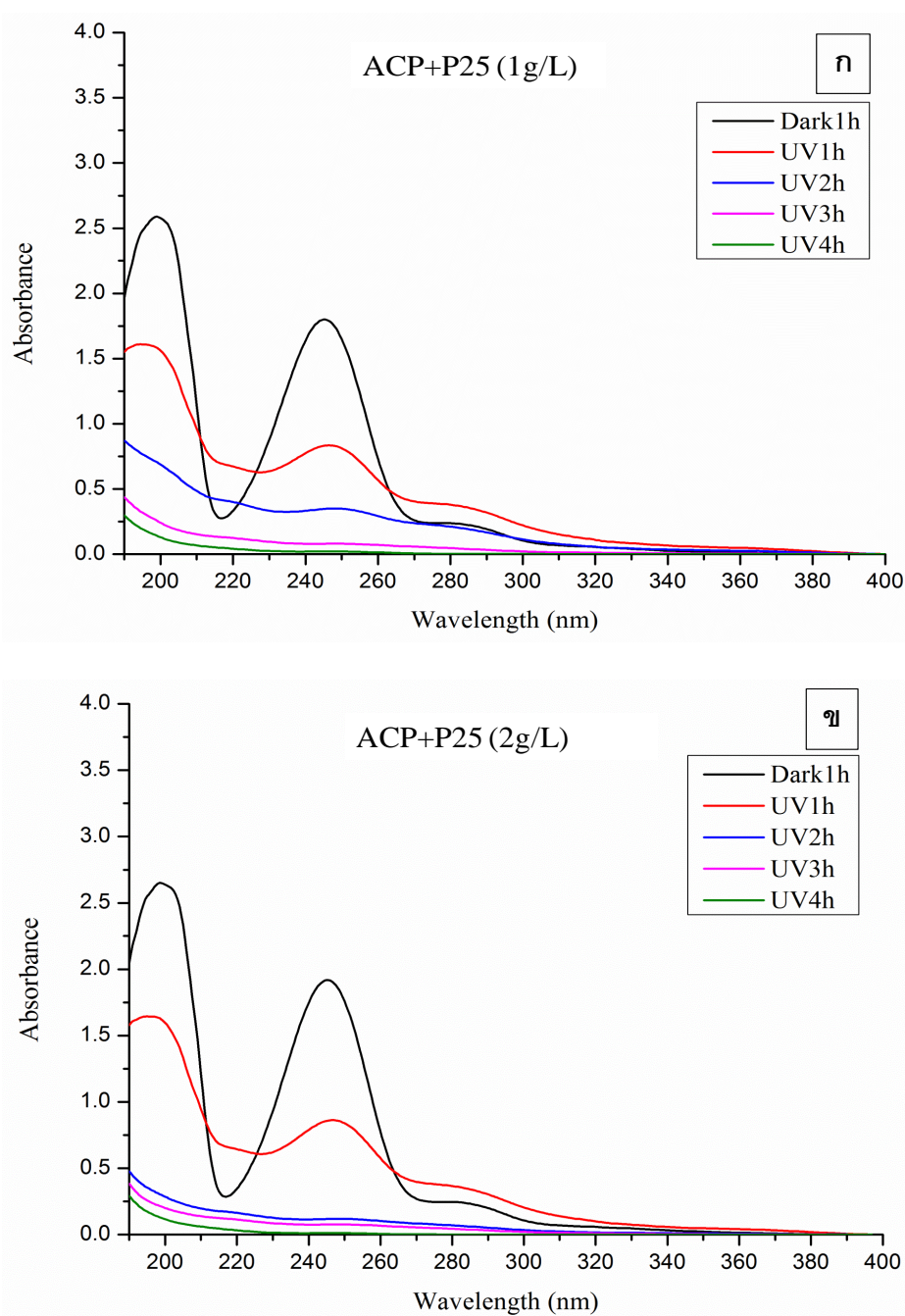


ภาพที่ 4.29 อัตราการแตกสลายของสารประกอบมาตรฐานอะซีโตฟีโนน

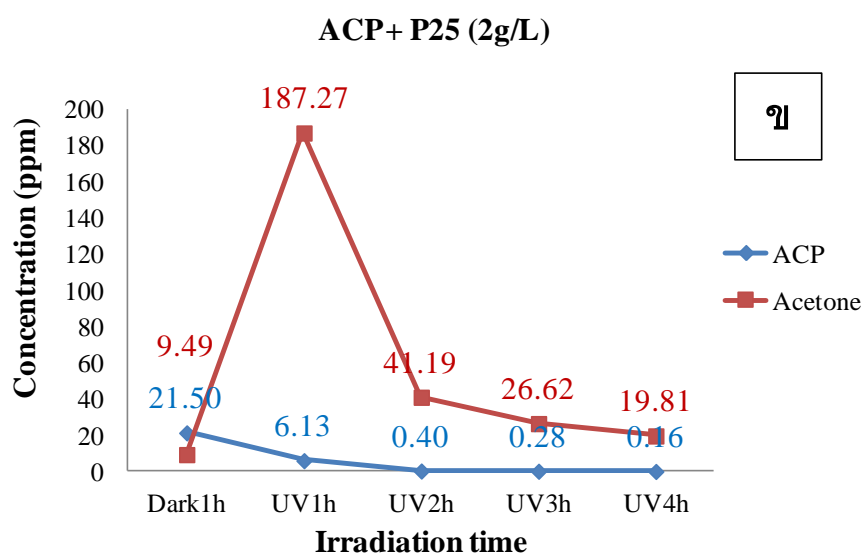
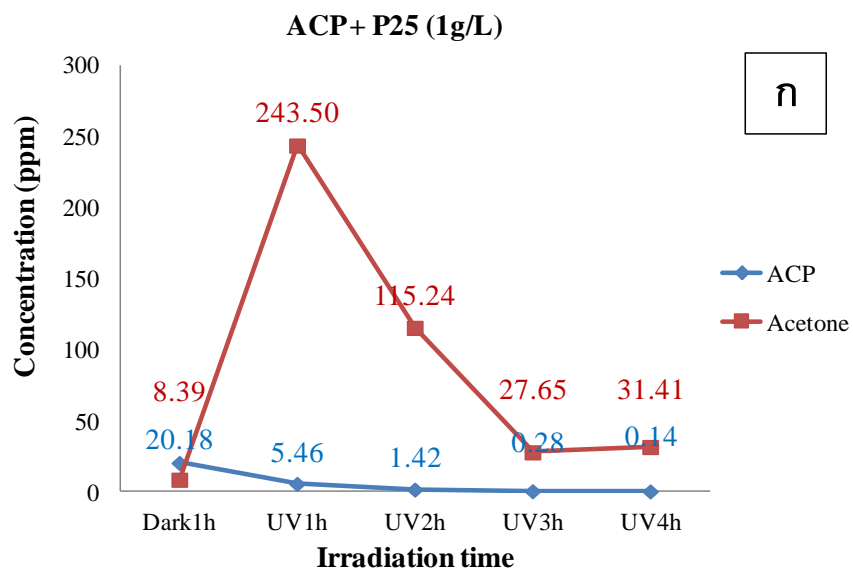
4.9.2 ผลการทดลองใช้ ไทเทเนีย-P25 เป็นตัวเร่งปฏิกิริยาเชิงแสงในสารประกอบมาตรฐานอะซีโตฟีโนน

เมื่อทดลองใช้ไทเทเนีย-P25 ปริมาณ 1 g/L และ 2 g/L เป็นตัวเร่งปฏิกิริยาเชิงแสงในสารประกอบมาตรฐานอะซีโตฟีโนนพบว่าพีคของการดูดกลืนแสงที่สูงสุดที่ความยาวคลื่น 245 นาโนเมตร มีค่าลดลงตามเวลาการฉายรังสียูวีที่นานขึ้นดังภาพที่ 4.30 และเมื่อฉายรังสียูวีเพิ่มขึ้นเป็น 3 และ 4 ชั่วโมงจะเห็นได้ว่าค่าการดูดกลืนแสงมีค่าเกือบเป็นศูนย์ ซึ่งเป็นไปได้ว่าวงอโรมาติกของอะซีโตฟีโนนนั้นถูกแตกสลายจนเกือบหมด ทั้งยังพบว่าเกิดพีคของการดูดกลืนแสงที่ช่วงความยาวคลื่น 280-300 นาโนเมตรเมื่อมีการฉายรังสียูวีเป็นเวลา 1 ชั่วโมงอีกด้วย และมีแนวโน้มของการดูดกลืนแสงลดลงเมื่อฉายรังสียูวีนานขึ้น ซึ่งแสดงถึงการแตกสลายของอะซีโตฟีโนนไปเป็นอะซีโตนเมื่อมีการฉายรังสียูวีและอะซีโตนนั้นก็ถูกแตกสลายจนมีปริมาณลดลงไปเรื่อยๆ และในการทดลองซ้ำทั้ง 4 ครั้งของการใช้ไทเทเนีย-P25 ปริมาณ 1 g/L และ 2 g/L เป็นตัวเร่งปฏิกิริยาเชิงแสงพบว่าค่าการดูดกลืนแสงมีแนวโน้มไปในทางเดียวกัน ดังภาคผนวก ก ภาพที่ ก-10 และ ภาพที่ ก-11 ตามลำดับ จากการวิเคราะห์ด้วยเครื่อง HPLC ดังภาพที่ 4.31 ซึ่งจะเห็นได้ว่าความเข้มข้นของอะซีโตฟีโนนที่มีการใช้ไทเทเนีย-P25 ปริมาณ 1 g/L และ 2 g/L ลดลงอย่างรวดเร็วเหลือ 0.03 ppm และ 0.16 ppm เมื่อฉายรังสียูวีเป็นเวลา 4 ชั่วโมง ซึ่งมีประสิทธิภาพในการแตกสลาย 99.31% และ 99.26 % ตามลำดับ ทั้งยังพบอะซีโตนเป็นผลพลอยได้จากการทำปฏิกิริยาเชิงแสง

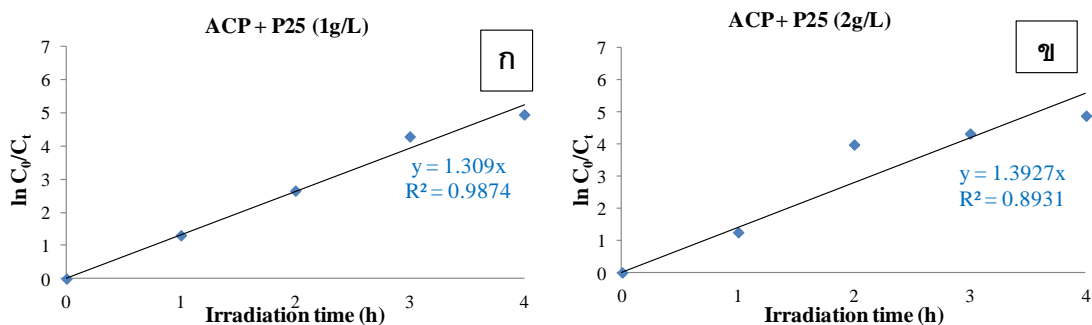
ซึ่งมีความเข้มข้นเพิ่มขึ้นสูงเมื่อฉายรังสียูวีเป็นเวลา 1 ชั่วโมง จากนั้นมีความเข้มข้นลดลงตามเวลา การฉายรังสียูวีและอัตราเร็วในการแตกสลายอะซีโตฟีโนนอยู่ที่ 1.304 h^{-1} และ 1.393 h^{-1} จากการใช้ไทเทเนีย-P25 ปริมาณ 1 g/L และ 2 g/L ตามลำดับ ดังภาพที่ 4.32



ภาพที่ 4.30 ผลการทดสอบ UV-VIS Spectrophotometer ของสารประกอบมาตรฐานอะซีโตฟีโนนโดยใช้ไทเทเนีย-P25 ปริมาณ (ก) 1 g/L (ข) 2 g/L



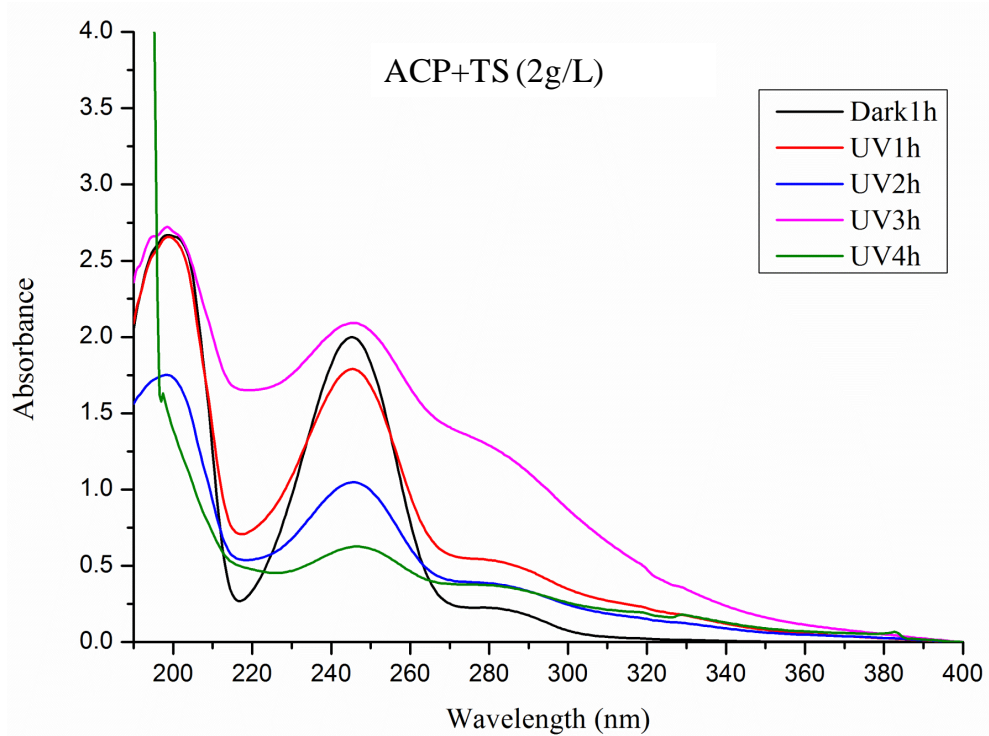
ภาพที่ 4.31 ผลการวิเคราะห์ด้วยเครื่อง HPLC ของสารประกอบมาตรฐานอะซีโตฟีโนนโดยใช้ไทเทเนีย-P25 ปริมาณ (ก) 1 g/L (ข) 2 g/L



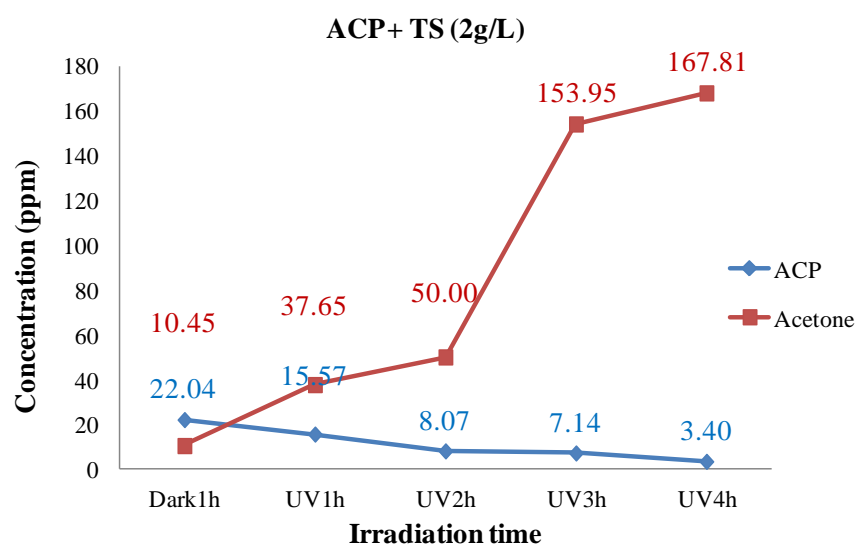
ภาพที่ 4.32 อัตราการแตกสลายประกอบมาตรฐานสลายอะซีโตฟีโนนด้วยตัวเร่งปฏิกิริยาไทเทเนีย-P25 ปริมาณ (ก) 1 g/L (ข) 2 g/L

4.9.3 ผลการทดลองใช้ ไทเทเนีย/ซิลิกาเป็นตัวเร่งปฏิกิริยาแสงในสารประกอบมาตรฐานอะซีโตฟีโนน

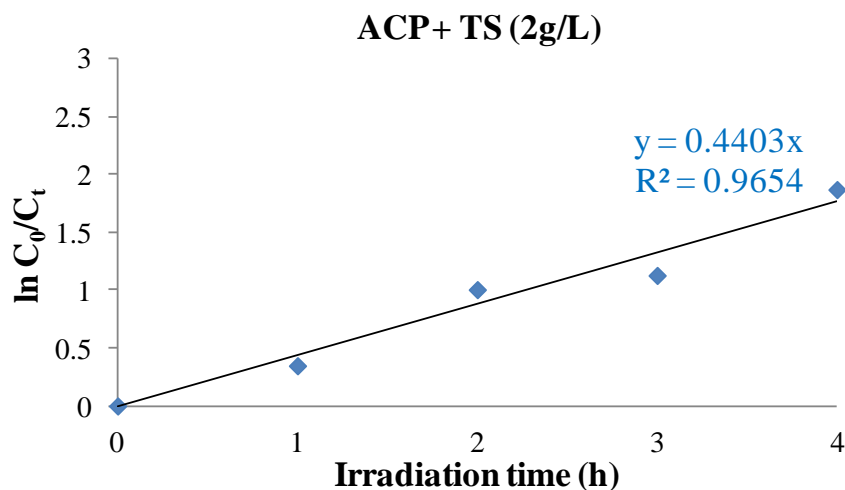
เมื่อทดลองใช้ ไทเทเนีย/ซิลิกา ปริมาณ 2 g/L พบว่าพีคของการดูดกลืนแสงที่สูงที่สุดของสารประกอบมาตรฐานอะซีโตฟีโนนที่มีความยาวคลื่น 245 นาโนเมตร มีแนวโน้มลดลงเมื่อฉายรังสียูวีนานขึ้น แสดงว่าความเข้มข้นของอะซีโตฟีโนนลดลงเมื่อฉายรังสียูวีนานขึ้น ทั้งยังพบพีคของการดูดกลืนแสงของอะซีโตนในช่วงความยาวคลื่น 280-300 นาโนเมตร และมีค่าการดูดกลืนแสงเพิ่มสูงเมื่อฉายรังสียูวีเป็นเวลานาน ซึ่งแสดงถึงการแตกสลายของสารประกอบมาตรฐานอะซีโตฟีโนนกลายเป็นอะซีโตนจึงทำให้ความเข้มข้นของอะซีโตนเพิ่มขึ้นเมื่อฉายรังสียูวีนานขึ้น ดังแสดงในภาพที่ 4.33 และได้มีการทดลองซ้ำ 4 ครั้ง ดังแสดงในภาคผนวก ภาพที่ ก-12 นอกจากนี้ ปริมาณอะซีโตฟีโนนที่ได้จากการวิเคราะห์ด้วยเครื่อง HPLC ดังแสดงในภาพที่ 4.34 ซึ่งจะเห็นว่าความเข้มข้นของอะซีโตฟีโนนลดลงอย่างต่อเนื่องเหลือ 3.40 ppm ซึ่งมีประสิทธิภาพในการแตกสลาย อะซีโตฟีโนน 84.57 % หลังทำการฉายรังสียูวีเป็นเวลา 4 ชั่วโมง และอัตราเร็วในการแตกสลายอะซีโตฟีโนนหลังฉายรังสียูวีเป็นเวลา 4 ชั่วโมงมีค่า 0.440 h^{-1} ดังแสดงในภาพที่ 4.35 นอกจากนี้ ยังพบอะซีโตนเกิดขึ้นจากการแตกสลายของอะซีโตฟีโนนซึ่ง อะซีโตนนั้นมีความเข้มข้นเพิ่มขึ้นตามเวลาการทำปฏิกิริยาที่นานขึ้น



ภาพที่ 4.33 ผลการทดสอบ UV-VIS Spectrophotometer ของสารประกอบมาตรฐาน อะซีโตฟีโนนโดยใช้ไทเทเนีย/ซิลิกาปริมาณ 2 g/L



ภาพที่ 4.34 ผลการวิเคราะห์ด้วยเครื่อง HPLC ของสารประกอบมาตรฐานอะซีโตฟีโนนโดยใช้ไทเทเนีย/ซิลิกาปริมาณ 2 g/L



ภาพที่ 4.35 อัตราการแตกสลายสารประกอบมาตรฐานอะซีโตฟีโนนด้วยตัวเร่งปฏิกิริยาไทเทเนีย/ซีลีกาปริมาณ 2g/L

ตารางที่ 4.4 ปริมาณสาร ประสิทธิภาพการแตกสลายและอัตราการแตกสลายของสารประกอบมาตรฐานอะซีโตฟีโนนหลังฉายรังสียูวี 1-4 ชั่วโมง

Phenolic compound	Condition	Concentration (ppm)					Efficiency of degradation (%)	rate constant(k,1/h
		Dark 1h	UV1h	UV2h	UV3h	UV4h		
ACP	Blank	30.00	24.36	17.87	5.83	6.47	78.43	0.385
	+P25 (1g/L)	20.18	5.46	1.42	0.28	0.14	99.31	1.304
	+P25 (2g/L)	21.50	6.13	0.40	0.28	0.16	99.26	1.393
	+TS (2g/L)	22.04	15.57	8.07	7.14	3.40	84.57	0.440

หมายเหตุ ACP คือ อะซีโตฟีโนน

จากตารางที่ 4.4 แสดงถึงปริมาณของอะซีโตฟีโนนหลังการทำปฏิกิริยาเชิงแสงในสภาวะต่างๆ รวมถึงประสิทธิภาพและอัตราการแตกสลายอะซีโตฟีโนน พบว่าการใช้แสงเพียงอย่างเดียวก็สามารถแตกสลายอะซีโตฟีโนนได้ไปบางส่วน เมื่อเปรียบเทียบประสิทธิภาพระหว่างตัวเร่งปฏิกิริยาเชิงแสงด้วยกันแล้วพบว่าการใช้ตัวเร่งปฏิกิริยาเชิงแสงไทเทเนีย-P25 ปริมาณ 2 g/L มีประสิทธิภาพในการแตกสลายอะซีโตฟีโนนได้ดีที่สุด ตามด้วยการใช้ไทเทเนีย-P25 ปริมาณ 1 g/L

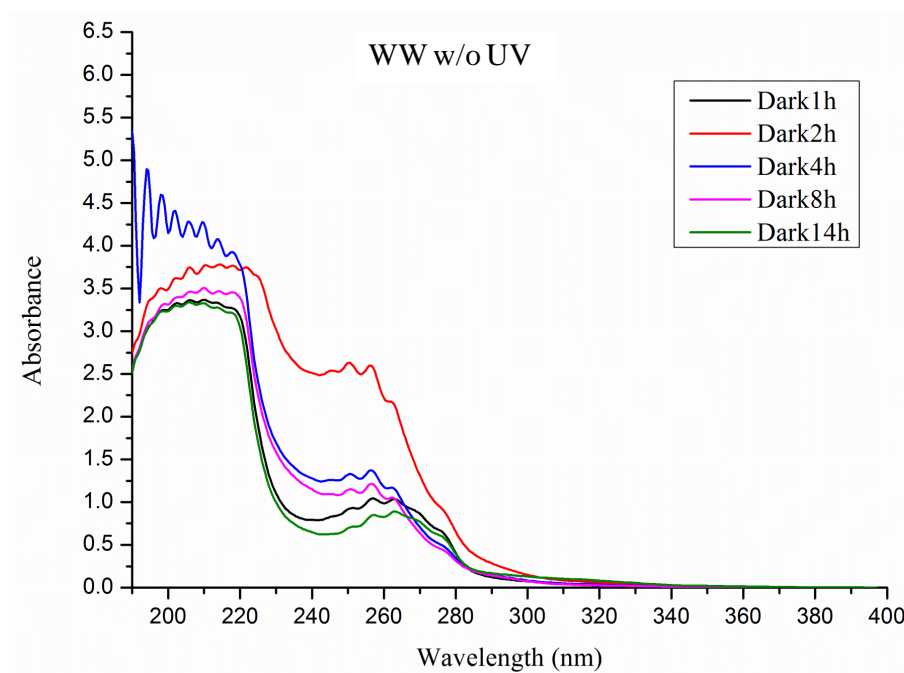
และการใช้ไทเทเนี่ยม/ซิลิกาปริมาณ 2 g/L มีประสิทธิภาพในการแตกสลายน้อยที่สุด แต่สามารถคงปริมาณอะซีโตนจากการระเหยได้นานกว่า

4.10 ผลศึกษาปฏิกิริยาเชิงแสงและตัวแปรที่มีผลต่อการแตกสลายสารประกอบอินทรีย์ในน้ำเสีย

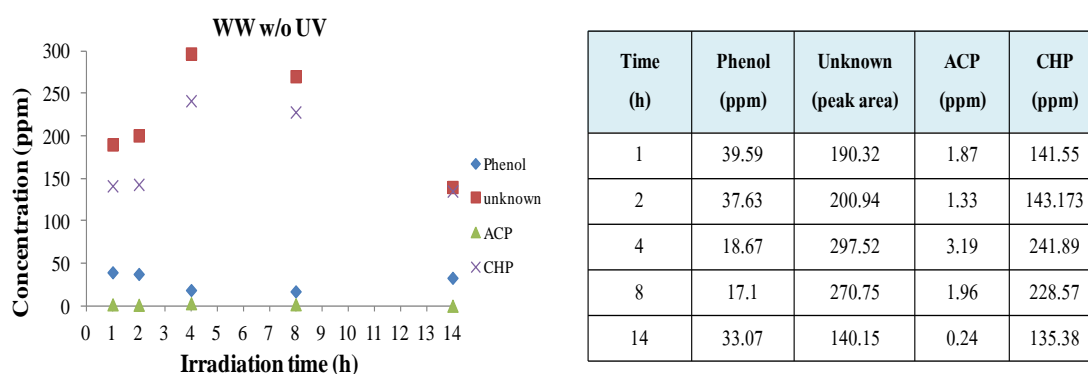
4.10.1 ผลการทดลองปฏิกิริยาเชิงแสงของน้ำเสียในสภาวะมืด

4.10.1.1 ผลการทดลองปฏิกิริยาเชิงแสงของน้ำเสีย

จากภาพที่ 4.36 พบว่ามีพีคของการดูดกลืนแสงที่สูงสุดที่ความยาวคลื่น 255 นาโนเมตร ซึ่งเป็นช่วงความยาวคลื่นเดียวกับพีคของการดูดกลืนแสงที่สูงสุดของควิมีนไฮโดรเปอร์ออกไซด์ แสดงว่าในน้ำเสียนั้นส่วนใหญ่มักมีควิมีนไฮโดรเปอร์ออกไซด์เป็นองค์ประกอบ และค่าการดูดกลืนแสงของน้ำเสียในสภาวะมืดนั้นมีแนวโน้มลดลงเมื่ออยู่ในสภาวะมืดเป็นเวลานาน และผลการวิเคราะห์ด้วยเครื่อง HPLC ดังแสดงในภาพที่ 4.37 พบว่าฟีนอลมีปริมาณลดลงเมื่อปล่อยให้อยู่ในสภาวะมืดเป็นเวลานาน และอะซีโตนในนั้นไม่ค่อยมีการเปลี่ยนแปลงปริมาณมากนักเมื่ออยู่ในสภาวะมืดเป็นเวลานาน แต่ควิมีนไฮโดรเปอร์ออกไซด์ และ unknown มีปริมาณเพิ่มขึ้นเมื่ออยู่ในความมืดจาก 1-4 ชั่วโมง โดยปริมาณควิมีนไฮโดรเปอร์ออกไซด์เริ่มต้นในน้ำเสียที่สภาวะมืด 1 ชั่วโมง คือ 141.55 ppm จากนั้นปริมาณลดลงเรื่อยๆจนถึง 14 ชั่วโมง ทั้งนี้ผู้วิจัยยังไม่สามารถสรุปได้ว่าปริมาณของสารอินทรีย์ในน้ำเสียที่อยู่ในสภาวะมืดที่มีการเปลี่ยนแปลงนั้นเกิดขึ้นจากปฏิกิริยาอะไร



ภาพที่ 4.36 ผลการทดสอบ UV-VIS Spectrophotometer ของน้ำเสียที่สภาวะมืด

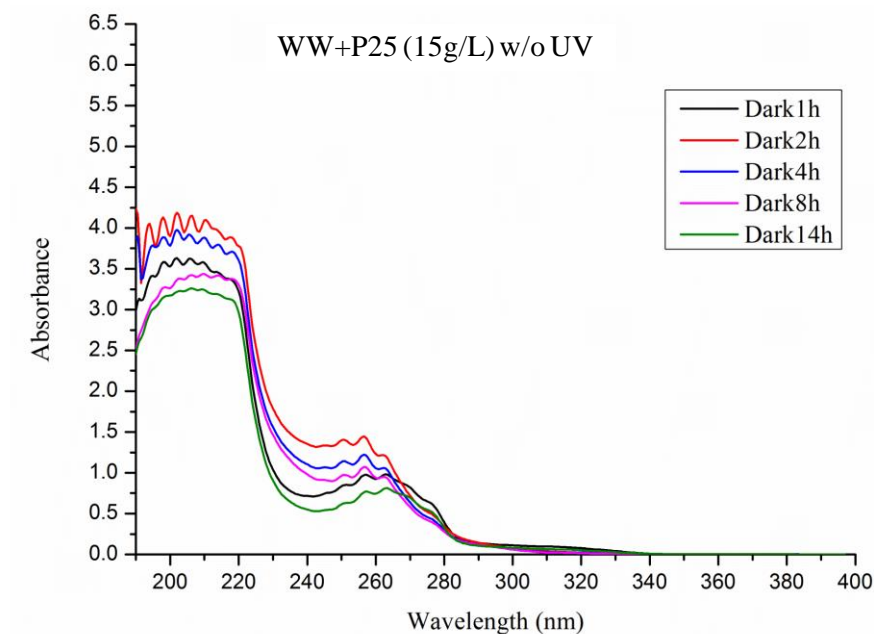


ภาพที่ 4.37 ผลการวิเคราะห์ด้วยเครื่อง HPLC ของน้ำเสียในสภาวะมืด

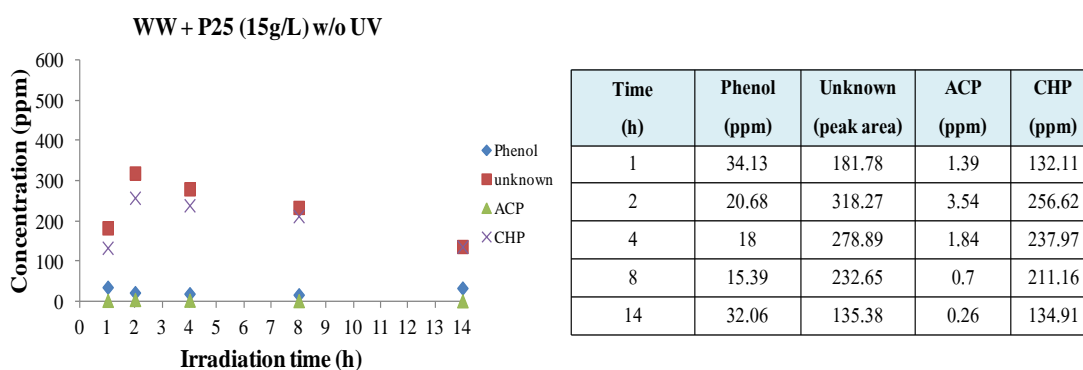
4.10.1.2 ผลการทดลองใช้ไทเทเนีย-P25 เป็นตัวเร่งปฏิกิริยาเชิงแสงในน้ำเสีย

เมื่อเติมไทเทเนีย-P25 ในปริมาณ 15 g/L พบว่าค่าการดูดกลืนแสงของน้ำเสียในสภาวะมืดนั้นมีแนวโน้มลดลงเมื่ออยู่สภาวะมืดเป็นเวลานาน ดังแสดงในภาพที่ 4.38 และผลการวิเคราะห์ด้วยเครื่อง HPLC ดังแสดงในภาพที่ 4.39 พบว่าฟีนอลมีความเข้มข้นลดลงเมื่ออยู่ในสภาวะมืดเป็นเวลานาน และอะซีโตฟีโนนไม่ค่อยมีการเปลี่ยนแปลงปริมาณสารระหว่างทำปฏิกิริยาในความมืดที่เวลาต่างกัน แต่ควิมินไฮโดรเปอร์ออกไซด์และ unknown มีปริมาณเพิ่มขึ้นเมื่ออยู่ในความมืด

จนถึง 2 ชั่วโมงจากนั้นปริมาณลดลงเรื่อยๆจนถึง 14 ชั่วโมง แสดงว่ามีปฏิกิริยาเคมีเกิดขึ้น เช่นเดียวกับในกรณีไม่เติมไทเทเนียม-P25



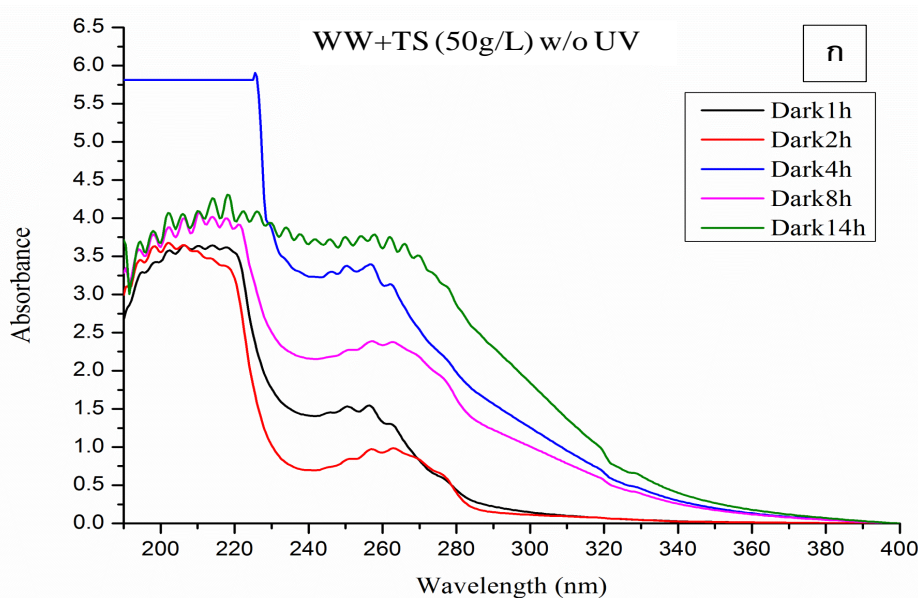
ภาพที่ 4.38 ผลการทดสอบ UV-VIS Spectrophotometer ของไทเทเนียม-P25 ปริมาณ 15 g/L ใน น้ำเสียที่สภาวะมืด

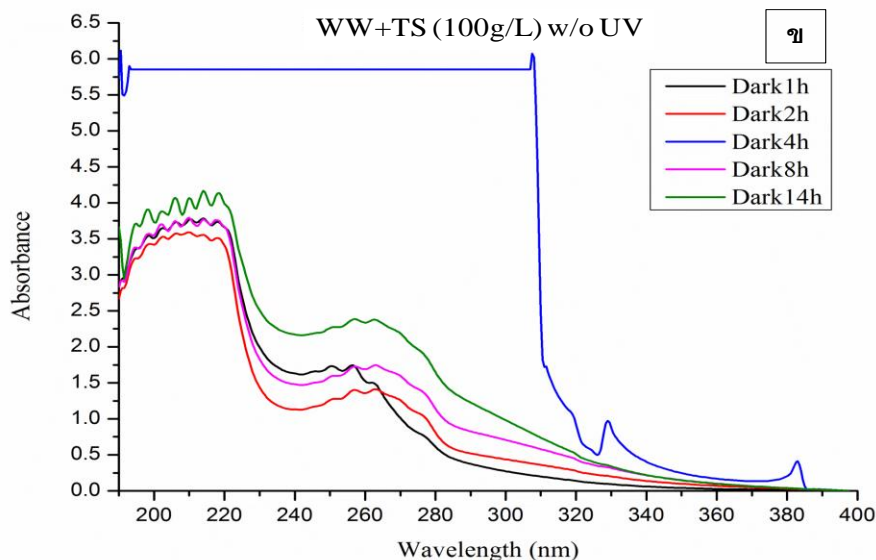


ภาพที่ 4.39 ผลการวิเคราะห์ด้วยเครื่อง HPLC ของไทเทเนียม-P25 ปริมาณ 15 g/L ในน้ำเสียที่ สภาวะมืด

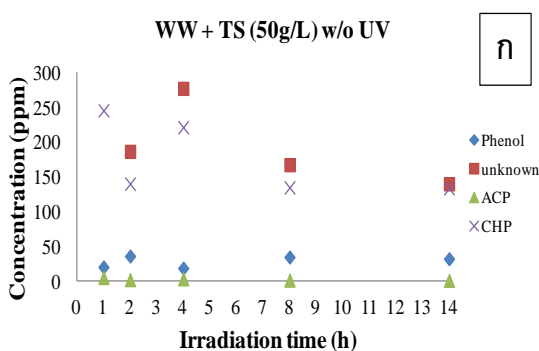
4.10.1.3 ผลการทดลองใช้ไทเทเนีย/ซิลิกาเป็นตัวเร่งปฏิกิริยาเชิงแสงในน้ำเสีย

เมื่อเติมไทเทเนีย/ซิลิกาปริมาณ 50 g/L และ 100 g/L พบว่าค่าการดูดกลืนแสงของน้ำเสียในสภาวะมืดนั้นมีแนวโน้มสูงขึ้นเมื่ออยู่ในสภาวะมืดเป็นเวลานาน แสดงว่าเกิดปฏิกิริยาขึ้นระหว่างปล่อยให้น้ำเสียอยู่ในความมืดเป็นเวลาหลายชั่วโมง ดังแสดงในภาพที่ 4.40 (ก) และ (ข) และผลการวิเคราะห์ด้วยเครื่อง HPLC ดังภาพที่ 4.41 พบว่าฟีนอล และอะซีโตฟีโนนไม่ค่อยมีการเปลี่ยนแปลงปริมาณสารระหว่างทำปฏิกิริยาในความมืดที่เวลาต่างกัน แต่ คิวมินไฮโดรเปอร์ออกไซด์และ unknown มีปริมาณลดลงเมื่ออยู่ในความมืดและเพิ่มขึ้นเมื่ออยู่ในความมืด 4 ชั่วโมง จากนั้นปริมาณลดลงเรื่อยๆจนถึง 14 ชั่วโมง ซึ่งการเปลี่ยนแปลงของค่าการดูดกลืนแสง แสดงว่ามีปฏิกิริยาเคมีเกิดขึ้น

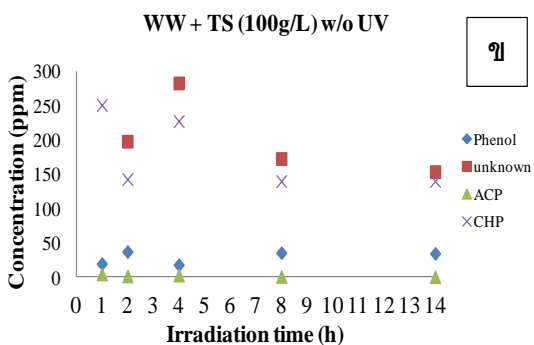




ภาพที่ 4.40 ผลการทดสอบ UV-VIS Spectrophotometer ของน้ำเสียในสภาวะมืดโดยใช้ไทเทเนีย/ซิลิกาปริมาณ (ก) 50 g/L (ข) 100 g/L



Time (h)	Phenol (ppm)	Unknown (peak area)	ACP (ppm)	CHP (ppm)
1	19.43	317.1	4.2	245.3
2	35.14	186.19	1.2	139.5
4	17.7	277.04	2.27	221.04
8	33.75	166.93	0.47	134.19
14	31.27	139.31	0.2	133



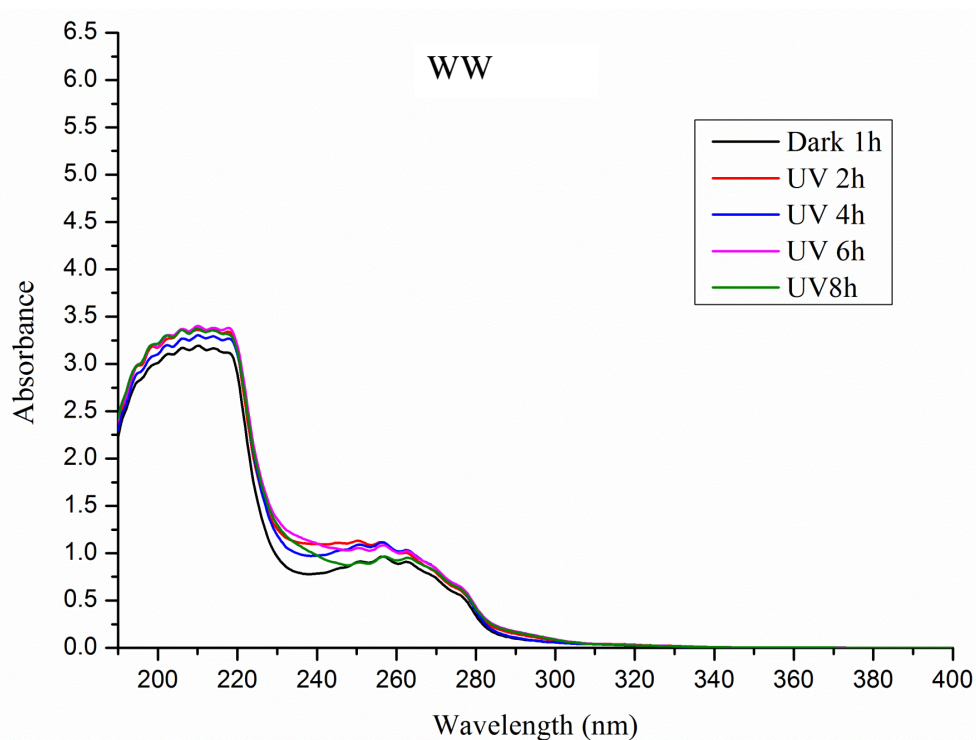
Time (h)	Phenol (ppm)	Unknown (peak area)	ACP (ppm)	CHP (ppm)
1	19.29	321.58	4.14	250.34
2	36.82	197.55	1.25	142.32
4	17.66	282.4	2.44	226.88
8	35.12	172.33	0.62	139.34
14	34.12	153.26	0.28	139.68

ภาพที่ 4.41 ผลการวิเคราะห์ด้วยเครื่อง HPLC ของน้ำเสียในสภาวะมืดโดยใช้ไทเทเนีย/ซิลิกา ปริมาณ (ก) 50 g/L (ข) 100 g/L

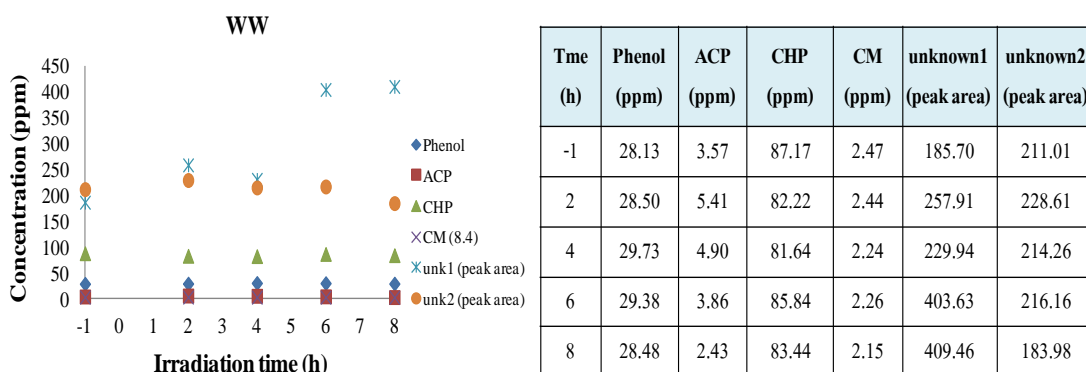
4.11 ผลการทดลองปฏิกิริยาเชิงแสงของน้ำเสียภายใต้การฉายรังสียูวี

4.11.1 ปฏิกิริยาเชิงแสงในน้ำเสีย

จากภาพที่ 4.42 พบว่าค่าการดูดกลืนแสงของน้ำเสียมีการเปลี่ยนแปลงไม่มากนัก ทั้งยังปรากฏพีคของการดูดกลืนแสงที่สูงสุดความยาวคลื่น 255 นาโนเมตร ซึ่งตรงกับพีคของการดูดกลืนแสงที่สูงสุดของควิมีนไฮโดรเปอร์ออกไซด์ หมายความว่าน้ำเสียส่วนใหญ่นั้นมีควิมีนไฮโดรเปอร์ออกไซด์เป็นองค์ประกอบอยู่เป็นจำนวนมาก และได้มีการทดลองทั้ง 4 ครั้งก็มีแนวโน้มไปในทางเดียวกัน ดังแสดงในภาคผนวก ก ภาพที่ ก-13 และผลการวิเคราะห์ด้วยเครื่อง HPLC ดังแสดงในภาพที่ 4.43 พบว่าปริมาณของฟีนอล อะซีโตฟีโนน ควิมีนไฮโดรเปอร์ออกไซด์ ควิมีน (CM) และ unknown มีปริมาณสารเปลี่ยนแปลงไม่มากนัก หมายความว่า การใช้รังสียูวีเพียงอย่างเดียวนั้นไม่สามารถแตกสลายสารอินทรีย์ที่อยู่ในน้ำเสียได้



ภาพที่ 4.42 ผลการทดสอบ UV-VIS Spectrophotometer ของน้ำเสีย

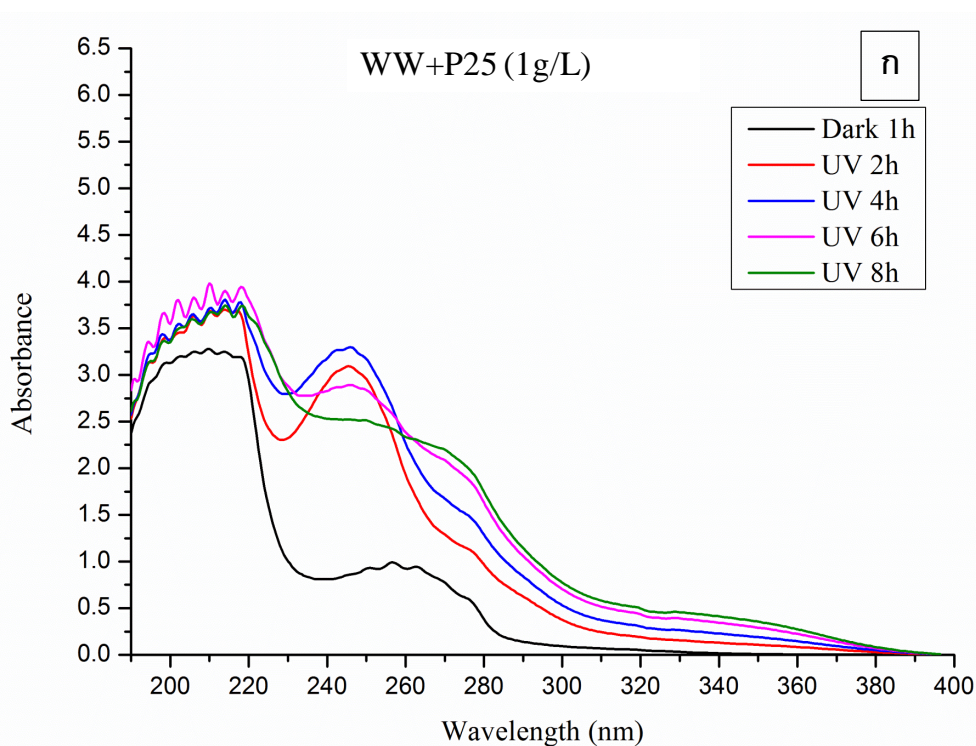


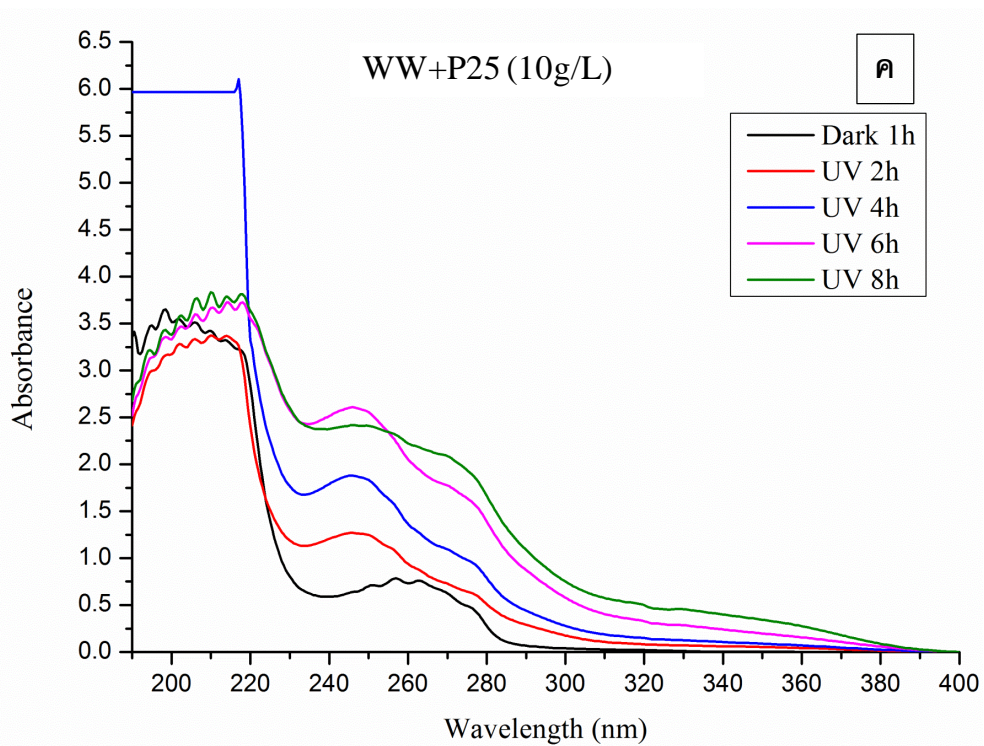
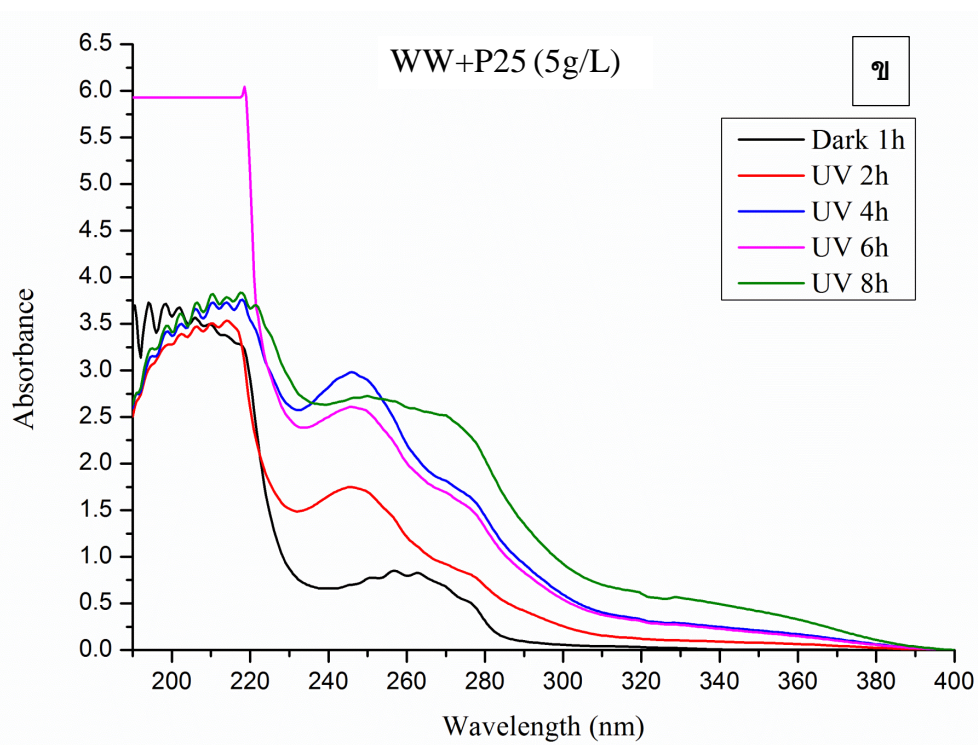
ภาพที่ 4.43 ผลการวิเคราะห์ด้วยเครื่อง HPLC ของน้ำเสีย

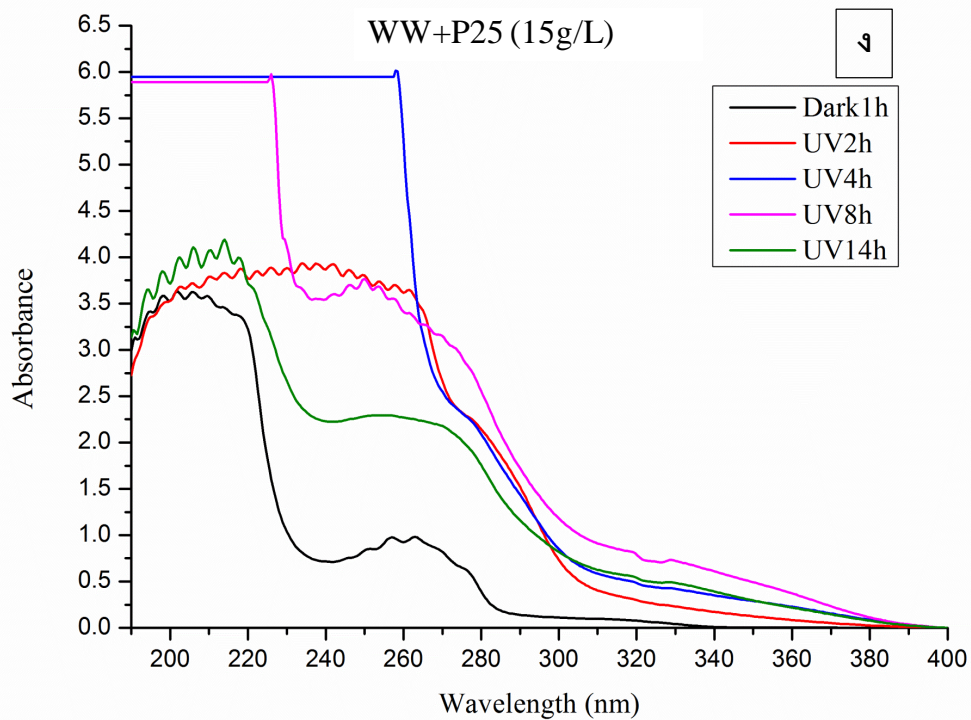
4.11.2 ผลการทดลองใช้ ไทเทเนีย-P25 เป็นตัวเร่งปฏิกิริยาเชิงแสงในน้ำเสีย

จากภาพที่ 4.44 เมื่อนำไทเทเนีย-P25 มาทำปฏิกิริยาเชิงแสงกับน้ำเสีย ปรากฏว่าค่าการดูดกลืนแสงในสภาวะมืด 1 ชั่วโมงนั้น พบพีคของการดูดกลืนแสงที่สูงสุดของน้ำเสียที่ความยาวคลื่น 255 นาโนเมตร ซึ่งพบว่าตรงกับพีคของการดูดกลืนแสงที่สูงสุดของควิมีนไฮโดรเปอร์ออกไซด์ หมายความว่าในสภาวะมืดนั้นน้ำเสียมีควิมีนไฮโดรเปอร์ออกไซด์อยู่เป็นจำนวนมาก เมื่อเติมไทเทเนีย-P25 เป็นตัวเร่งปฏิกิริยาเชิงแสง ปรากฏว่าค่าการดูดกลืนแสงมีการเลื่อนพีคของการดูดกลืนแสงที่สูงสุดมาที่ความยาวคลื่น 245 นาโนเมตร เมื่อฉายรังสียูวีเป็นเวลา 2-6 ชั่วโมง ซึ่งพีคที่เกิดขึ้นนั้นตรงกับพีคของการดูดกลืนแสงที่สูงสุดของอะซีโตฟีโนน หมายความว่า หลังทำปฏิกิริยาเชิงแสงทำให้น้ำเสียที่มีควิมีนไฮโดรเปอร์ออกไซด์อยู่เป็นจำนวนมากนั้นถูกแตกสลายกลายเป็นอะซีโตฟีโนนแทน มากไปกว่านั้น เมื่อฉายรังสียูวีเป็นเวลา 8 ชั่วโมง พบว่าพีคของการดูดกลืนแสงที่สูงสุดมีการเลื่อนมาที่ความยาวคลื่น 270 นาโนเมตร ซึ่งตรงกับพีคของการดูดกลืนแสงที่สูงสุดของฟีนอล หมายความว่าอะซีโตฟีโนนนั้นถูกแตกสลายกลายเป็นฟีนอลเมื่อฉายรังสียูวีเป็นเวลา 8 ชั่วโมง นอกจากนี้ ระหว่างฉายรังสียูวีเป็นเวลา 2-8 ชั่วโมง พบว่ามีพีคของการดูดกลืนแสงขยายไปที่ช่วงความยาวคลื่น 280-300 นาโนเมตร ซึ่งตรงกับช่วงความยาวคลื่นที่เกิดพีคของการดูดกลืนแสงของอะซีโตน และพีคที่เกิดขึ้นช่วงความยาวคลื่น 280-300 นาโนเมตรนั้นมีค่าการดูดกลืนแสงเพิ่มขึ้นเมื่อฉายรังสียูวีนานขึ้น แสดงว่าระหว่างทำปฏิกิริยาเชิงแสงของน้ำเสียนั้น ควิมีนไฮโดรเปอร์ออกไซด์ อะซีโตฟีโนน และฟีนอลนั้นต่างแตกสลายกลายเป็นอะซีโตน ส่งผลให้อะซีโตนมีความเข้มข้นเพิ่มมากขึ้นเมื่อฉายรังสียูวีเป็นเวลานาน นอกจากนี้ ในการทดลองหลายครั้งพบว่ามี

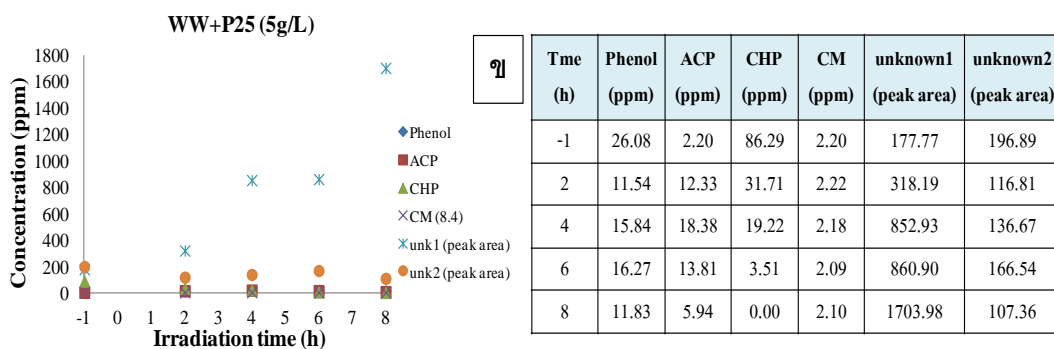
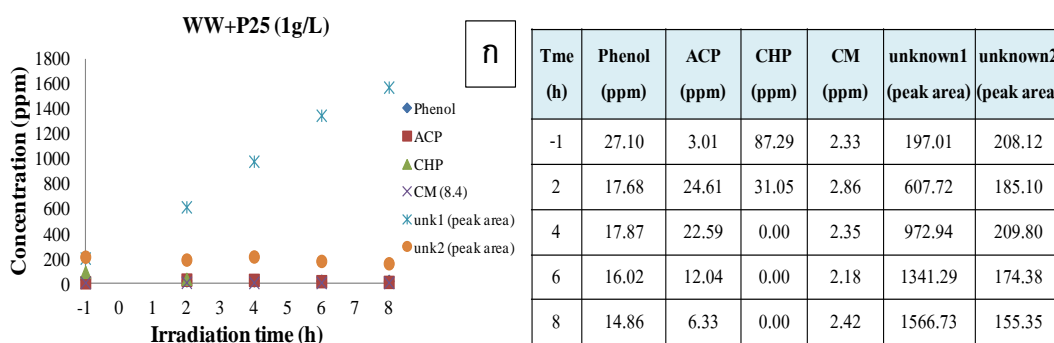
แนวโน้มของค่าการดูดกลืนแสงไปในทางเดียวกัน ดังแสดงในภาคผนวก ก ภาพที่ ก-14 ถึง ภาพที่ ก-17 และผลการวิเคราะห์ด้วยเครื่อง HPLC ดังแสดงในภาพที่ 4.45 พบว่าปริมาณของฟีนอลและควิมีนไฮโดรเปอร์ออกไซด์นั้นมีปริมาณลดลงเรื่อยๆจนเหลือปริมาณเพียงเล็กน้อยเมื่อฉายรังสียูวีเป็นเวลา 8 ชั่วโมง แต่อะซีโตฟีโนนมีปริมาณเพิ่มขึ้นเมื่อฉายรังสียูวีเป็นเวลา 2 ชั่วโมงและลดลงไปเรื่อยๆจนเหลือปริมาณเพียงเล็กน้อยเมื่อฉายรังสียูวีเป็นเวลา 8 ชั่วโมง นอกจากนี้ยังพบควิมีนปรากฏในปริมาณเล็กน้อยและคงที่ นอกจากนี้การใช้ไทเทเนีย-P25 ในปริมาณที่มากขึ้นส่งผลให้สารอินทรีย์ในน้ำเสียลดลงได้เร็วขึ้น โดยเฉพาะอย่างยิ่งการเติมไทเทเนีย-P25 ปริมาณ 15 g/L สามารถแตกสลายสารประกอบฟีนอลในน้ำเสียได้ดีที่สุด

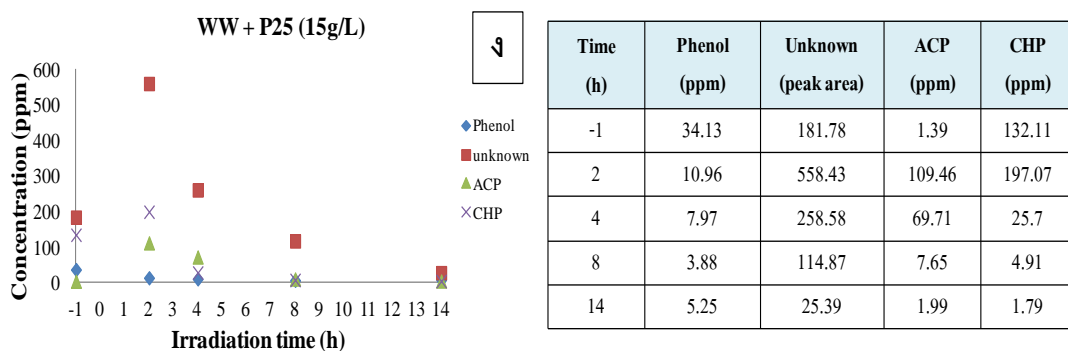
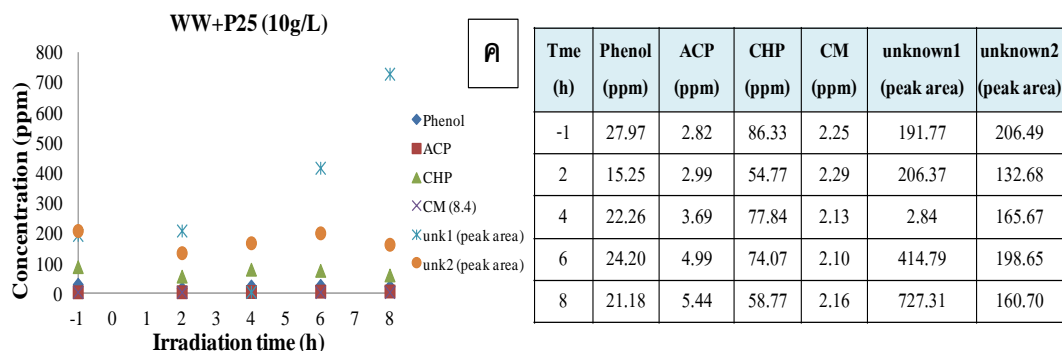






ภาพที่ 4.44 ผลการทดสอบ UV-VIS Spectrophotometer ของน้ำเสียโดยใช้ไทเทเนียม-P25 ปริมาณ (ก) 1 g/L (ข) 5 g/L (ค) 10 g/L (ง) 15 g/L



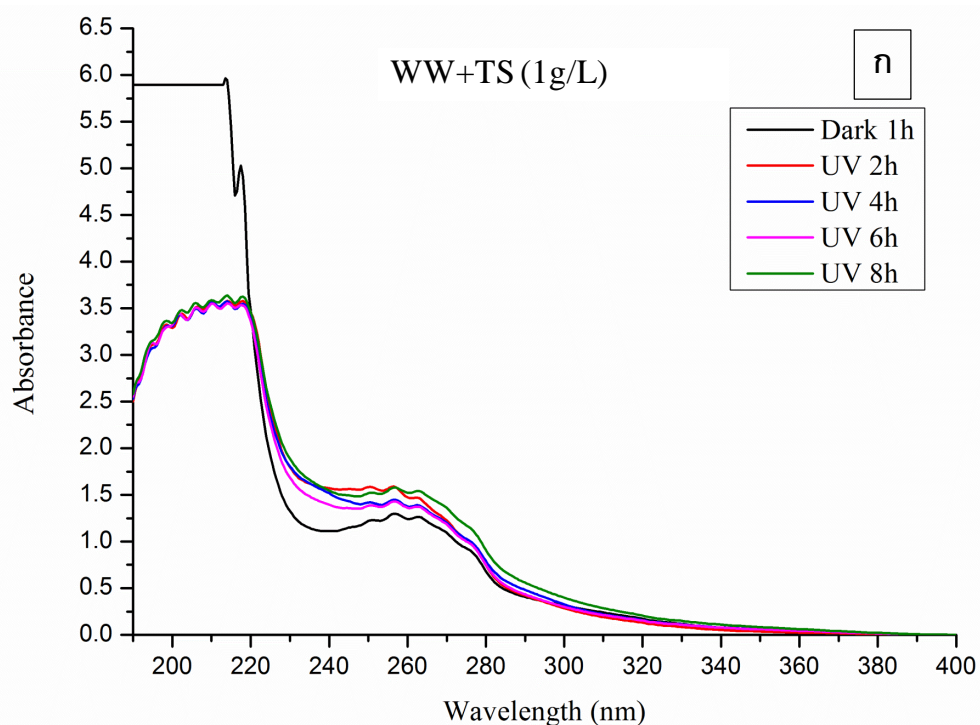


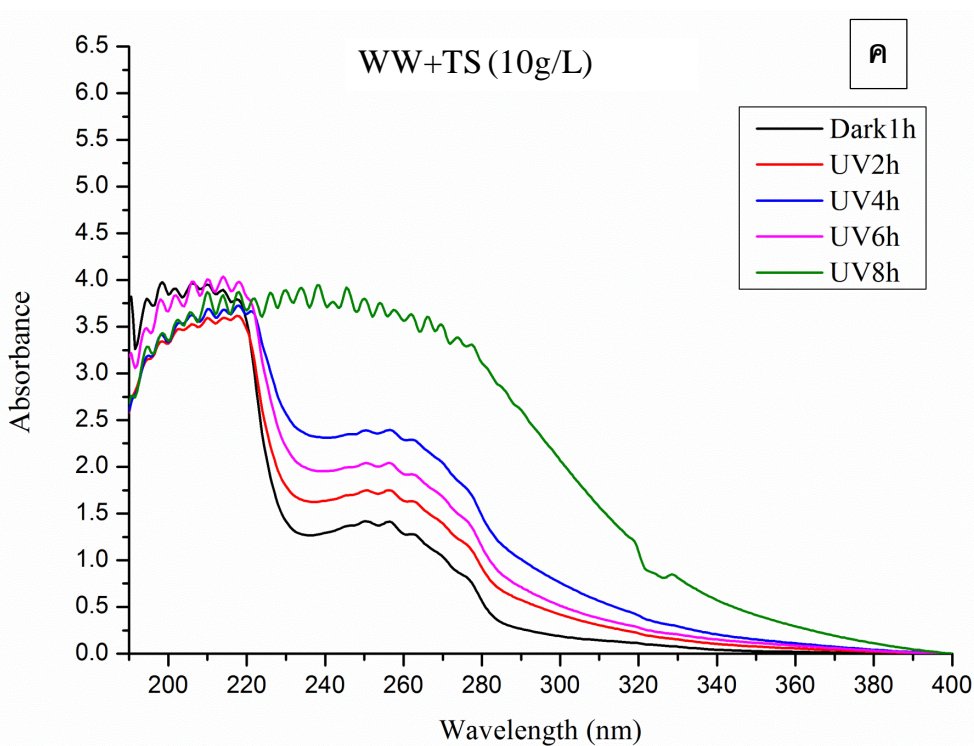
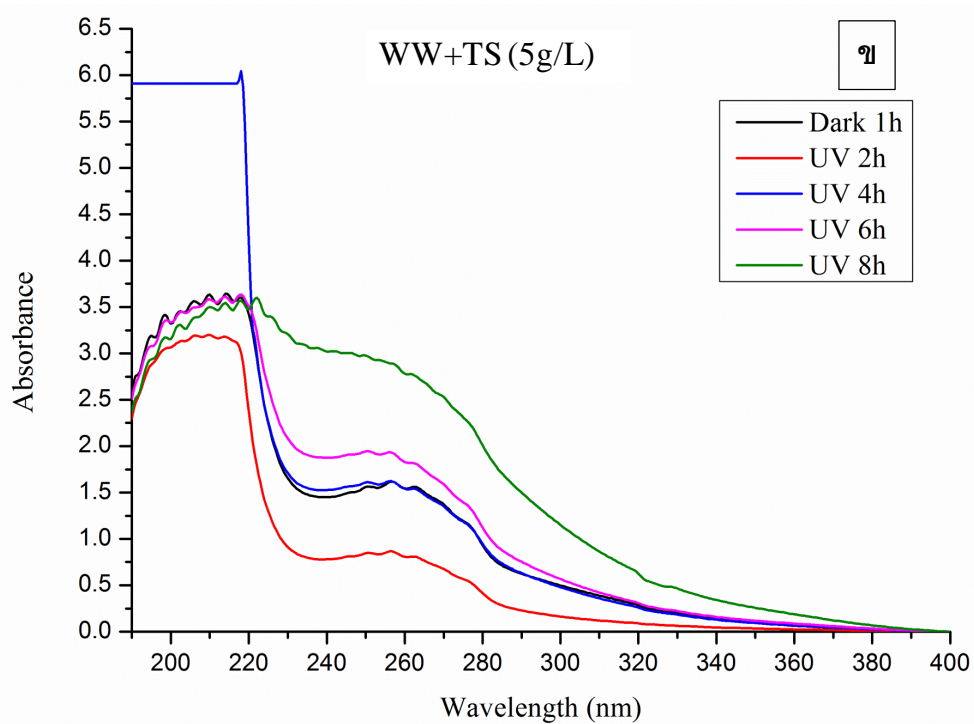
ภาพที่ 4.45 ผลการวิเคราะห์ด้วยเครื่อง HPLC ของน้ำเสียโดยใช้ไทเทเนีย-P25 ปริมาณ (ก) 1 g/L (ข) 5 g/L (ค) 10 g/L (ง) 15 g/L

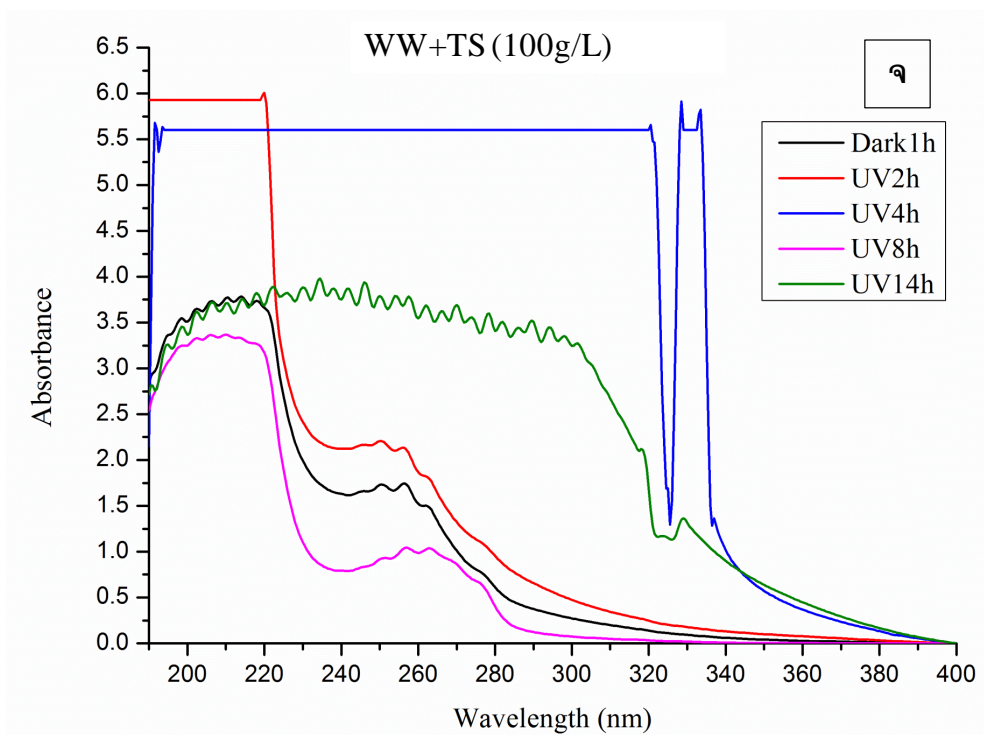
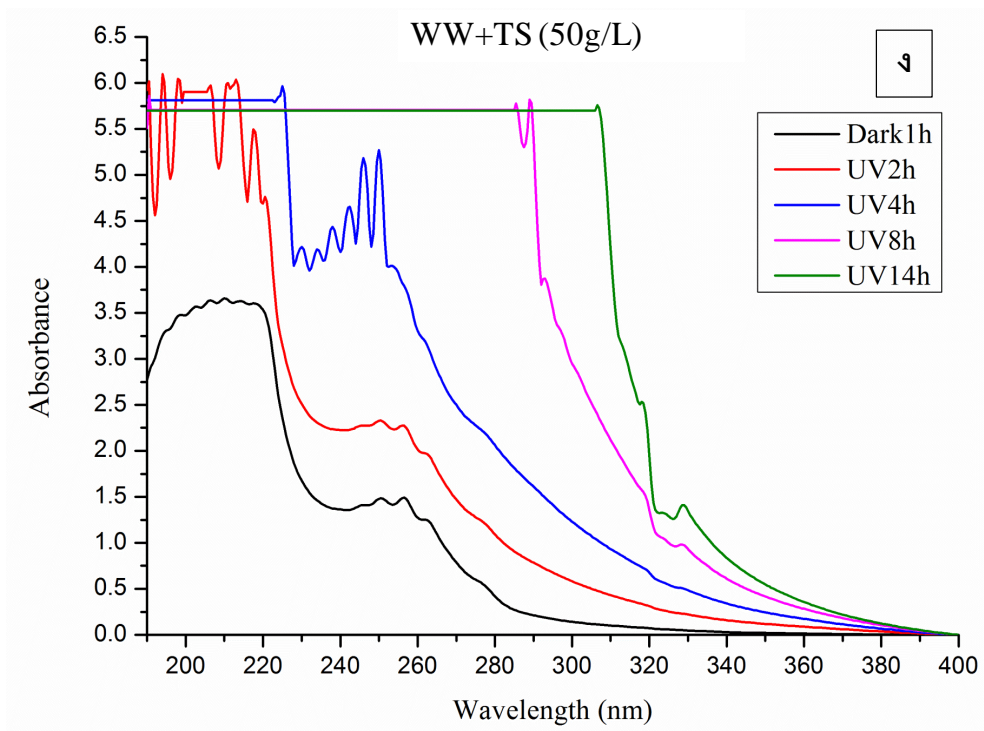
4.11.3 ผลการทดลองใช้ ไทเทเนีย/ซิลิกาเป็นตัวเร่งปฏิกิริยาเชิงแสงในน้ำเสีย

จากภาพที่ 4.46 (ก) การใช้ตัวเร่งปฏิกิริยาเชิงแสงไทเทเนีย/ซิลิกาปริมาณ 1g/L ส่งผลให้ค่าการดูดกลืนแสงมีการเปลี่ยนแปลงเล็กน้อยและพีคของการดูดกลืนแสงที่สูงที่สุดของน้ำเสียที่ความยาวคลื่น 255 นาโนเมตร พบว่าตรงกับพีคของการดูดกลืนแสงที่สูงที่สุดของควิมีนไฮโดรเปอร์ออกไซด์ แสดงว่าน้ำเสียที่มีการเติมไทเทเนีย/ซิลิกาปริมาณ 1 g/L นั้นมีควิมีนไฮโดรเปอร์ออกไซด์อยู่ในปริมาณมากจนทำให้ปรากฏพีคที่ความยาวคลื่น 255 นาโนเมตร อย่างชัดเจน เมื่อใช้ไทเทเนีย/ซิลิกาปริมาณ 5 g/L 10 g/L 50 g/L และ 100 g/L พบว่าค่าการดูดกลืนแสงนั้นมีแนวโน้มเพิ่มขึ้นเมื่อฉายรังสียูวีเป็นเวลานานขึ้น และยังพบว่าพีคของการดูดกลืนแสงที่สูงที่สุดของน้ำเสียที่เกิดขึ้นอยู่ที่ความยาวคลื่น 255 นาโนเมตร และเมื่อมีการฉายรังสียูวี พบพีคของการดูดกลืนแสงในช่วงความยาวคลื่น 280-300 นาโนเมตร ซึ่งตรงกับพีคของการดูดกลืนแสงที่สูงที่สุดของอะซีโตน และมีแนวโน้มของค่าการดูดกลืนแสงที่เพิ่มขึ้นเมื่อฉายรังสียูวีนานขึ้น หมายความว่าน้ำเสียที่เติม

ไทเทเนีย/ซีลีกาปริมาณ 5 g/L และ 10 g/L นั้นสามารถแตกสลายควิมีนไฮโดรเปอร์ออกไซด์ กลายเป็นอะซีไตนซึ่งมีความเข้มข้นมากขึ้นเมื่อฉายรังสียูวีนานขึ้น ดังแสดงในภาพที่ 4.46 (ข) (ค) (ง) และ (จ) นอกจากนี้ ได้มีการทดลองซ้ำหลายครั้งดังแสดงในภาคผนวก ก ภาพที่ ก-18 ถึง ภาพที่ ก-21 และจากผลการวิเคราะห์ห้ด้วยเครื่อง HPLC ตามแสดงในภาพที่ 4.47 การใช้ไทเทเนีย/ซีลีกา ปริมาณ 1 g/L – 10 g/L นั้นสามารถแตกสลายฟีนอลและควิมีนไฮโดรเปอร์ออกไซด์ได้ ทั้งยัง พบอะซีไตนและควิมีนมีปริมาณเพิ่มขึ้นระหว่างทำการฉายรังสียูวีด้วย แสดงว่า อะซีไตน และควิมีนนั้นเป็นผลผลิตพลอยได้จากการแตกสลายฟีนอลและควิมีนไฮโดรเปอร์ออกไซด์ และการใช้ไทเทเนีย/ซีลีกาปริมาณ 50 g/L และ 100 g/L สามารถแตกสลายควิมีนไฮโดรเปอร์ออกไซด์ ได้ ทำให้ฟีนอลและอะซีไตนมีปริมาณเพิ่มขึ้น

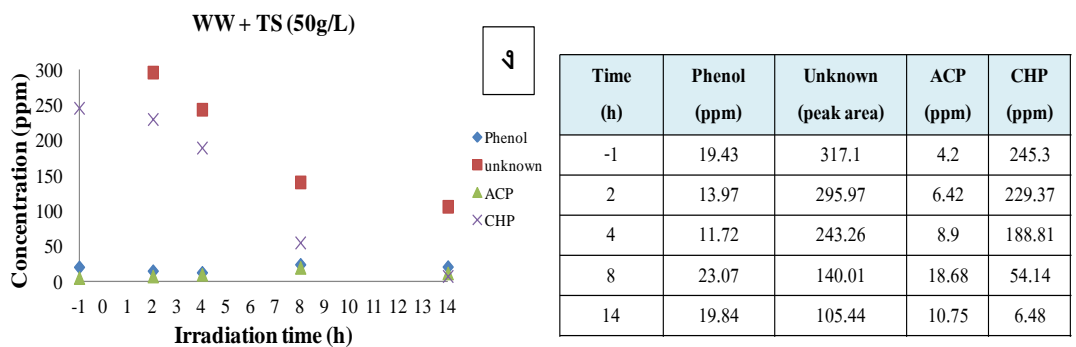
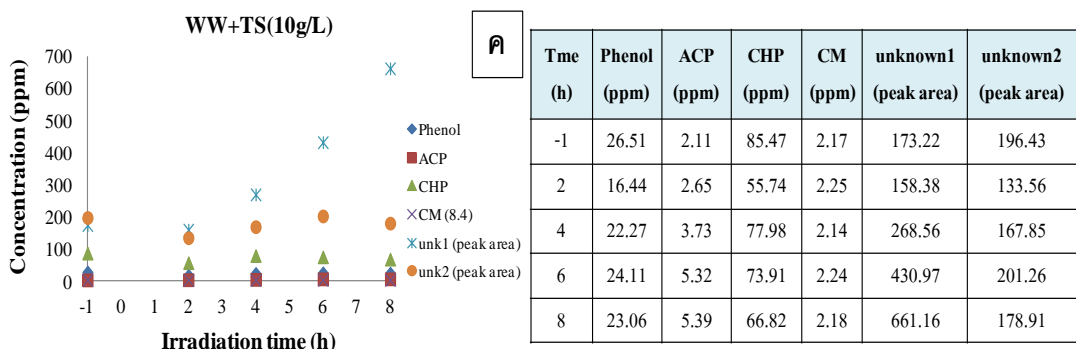
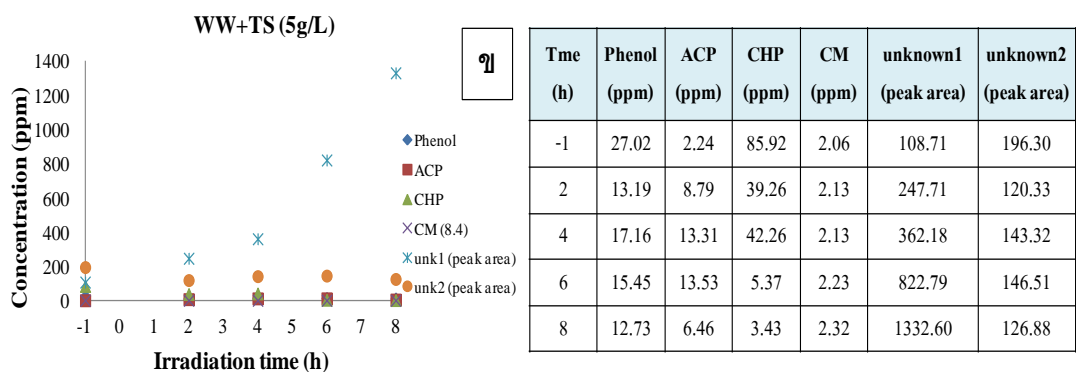
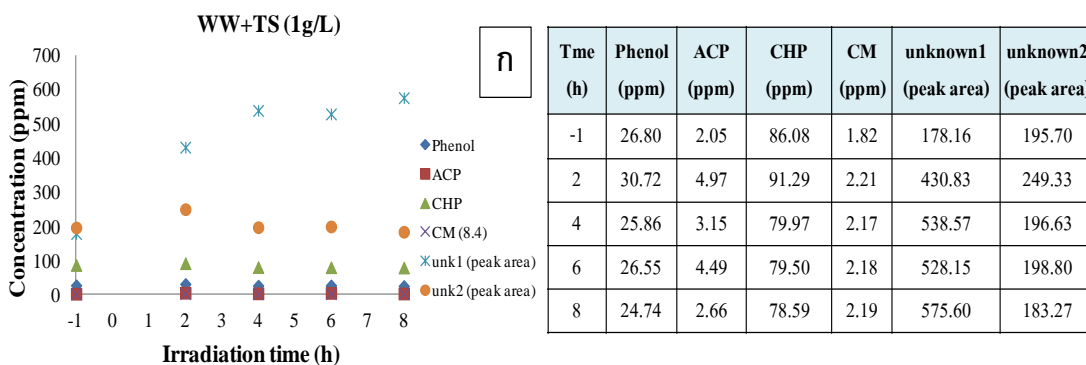


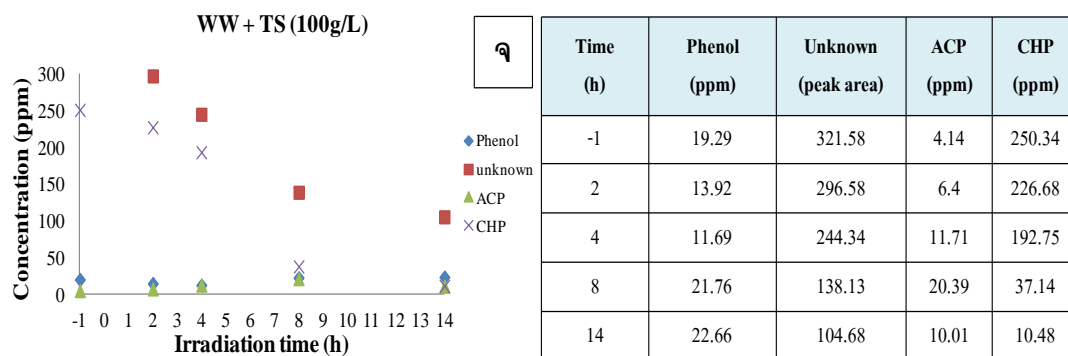




ภาพที่ 4.46 ผลการทดสอบ UV-VIS Spectrophotometer ของน้ำเสียโดยใช้ไทเทเนียม/ซิลิกา

ปริมาณ (ก) 1 g/L (ข) 5 g/L (ค) 10 g/L (ง) 50 g/L (จ) 100 g/L





ภาพที่ 4.47 ผลการวิเคราะห์ด้วยเครื่อง HPLC ของน้ำเสียโดยใช้ไทเทเนีย/ซิลิกาปริมาณ (ก) 1 g/L (ข) 5 g/L (ค) 10 g/L (ง) 50 g/L (จ) 100 g/L

ตารางที่ 4.5 ประสิทธิภาพในการแตกสลายสารอินทรีย์ในน้ำเสียหลังฉายรังสียูวีเป็นเวลา 8 ชั่วโมง โดยใช้ตัวเร่งปฏิกิริยาเชิงแสงไทเทเนีย-P25และไทเทเนีย/ซิลิกา

Photocatalyst	Condition	Efficiency of degradation (%)		
		Phenol	ACP	CHP
TiO ₂ -P25	1 g/L	-45.53	+305.56	-97.09
	5 g/L	-58.49	-17.93	-97.74
	10 g/L	-66.54	+4.44	-96.32
	15 g/L	-88.63	+450.36	-96.28
TiO ₂ /SiO ₂	1 g/L	-7.69	+29.76	-8.70
	5 g/L	-28.38	+36.97	-25.60
	10 g/L	-27.22	+52.90	-35.18
	50 g/L	+18.73	+344.76	-77.93
	100 g/L	+12.80	+392.51	-85.16

หมายเหตุ เครื่องหมาย – คือ ประสิทธิภาพในการแตกสลายสารอินทรีย์ในน้ำเสีย

เครื่องหมาย + คือ ประสิทธิภาพในการเพิ่มปริมาณของสารอินทรีย์ในน้ำเสีย

จากตารางที่ 4.5 แสดงถึงประสิทธิภาพในการแตกสลายสารอินทรีย์ในน้ำเสียของตัวเร่งปฏิกิริยาเชิงแสงแต่ละชนิด หลังฉายรังสียูวีเป็นเวลา 8 ชั่วโมง ซึ่งสามารถเรียงลำดับประสิทธิภาพในการแตกสลายฟินอลที่พบในน้ำเสียของตัวเร่งปฏิกิริยาเชิงแสงไทเทเนีย-P25 ได้ดังนี้ 15 g/L > 10 g/L > 5 g/L และ 1 g/L นอกจากนี้ยังสามารถเรียงลำดับประสิทธิภาพในการแตกสลายฟินอลในน้ำเสียของตัวเร่งปฏิกิริยาเชิงแสงไทเทเนีย/ซิลิกา ได้ดังนี้ 5 g/L > 10 g/L > 1 g/L > 100 g/L > 50 g/L และประสิทธิภาพในการแตกสลายอะซีโตฟีโนนที่พบในน้ำเสียของไทเทเนีย-P25 เรียงลำดับได้ดังนี้ 5 g/L > 10 g/L > 1 g/L > 15 g/L ประสิทธิภาพในการแตกสลาย อะซีโตฟีโนนที่พบในน้ำเสียของไทเทเนีย/ซิลิกา เรียงลำดับได้ดังนี้ 1 g/L > 5 g/L > 10 g/L > 50 g/L > 100 g/L นอกจากนี้ ประสิทธิภาพในการแตกสลายคิวมินไฮโดรเปอร์ออกไซด์ที่พบในน้ำเสียของไทเทเนีย-P25 เรียงลำดับได้ดังนี้ 5 g/L > 1 g/L > 10 g/L > 15 g/L และประสิทธิภาพในการแตกสลายคิวมินไฮโดรเปอร์ออกไซด์ที่พบในน้ำเสียของไทเทเนีย/ซิลิกา เรียงลำดับได้ดังนี้ 100 g/L > 50 g/L > 10 g/L > 5 g/L > 1 g/L

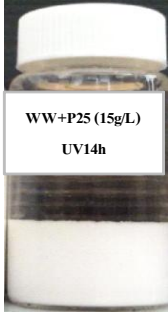
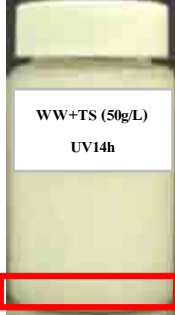

4.12 ผลการศึกษาการตกตะกอนของตัวเร่งปฏิกิริยาชนิดต่าง ๆ ที่มีผลต่อสารประกอบ

อินทรีย์ในน้ำเสีย

การศึกษากการตกตะกอนของตัวเร่งปฏิกิริยาในน้ำเสียทำให้ทราบถึงปริมาณตะกอนสะสม และยังช่วยในการออกแบบเตาปฏิกรณ์อีกด้วย จากตารางที่ 4.6 พบว่าการใช้ไทเทเนีย-P25 เป็นตัวเร่งปฏิกิริยาเชิงแสงในน้ำเสียใช้เวลาในการตกตะกอนประมาณ 40 นาทีจึงตกตะกอนได้หมด ในขณะที่ไทเทเนีย/ซิลิกาใช้เวลาประมาณ 15 นาทีในการตกตะกอนพบว่ามีสารแขวนลอยอยู่อย่างกระจายตัวไม่สามารถตกตะกอนได้หมด เนื่องจากไทเทเนีย/ซิลิกานั้นมีซิลิกาที่มีโครงสร้างเป็นรูพรุนจำนวนมากเป็นชั้นเสตรต ส่งผลให้ไทเทเนีย/ซิลิกาใช้เวลาในการดูดซับน้ำนานจึงทำให้ไทเทเนีย/ซิลิกาตกตะกอนได้ช้า นอกจากนี้ จากงานวิจัยของ K.Balachandran และคณะวิจัย⁽⁵¹⁾ พบว่าการใช้ซิลิกาเป็นชั้นเสตรตจะไปลดการเติบโตของอนุภาคของไทเทเนียและช่วยให้ไทเทเนียมีความคงทนในการแขวนลอยในสารละลายได้ดีขึ้น และโครงสร้างร่างแหของซิลิกาจะไปขัดขวางการยึดเกาะระหว่างอนุภาคของไทเทเนีย ส่งผลให้ไทเทเนีย/ซิลิกามีการกระจายตัวในสารละลายได้เป็น

อย่างดีและมีความเป็นคอลลอยด์สูง แต่ไทเทเนีย-P25 มีรูพรุนน้อยส่งผลให้มีการดูดซับน้ำได้ต่ำ จึงทำให้ตกตะกอนได้เร็ว ทั้งยังมีพื้นที่ผิวจำเพาะต่ำซึ่งแสดงถึงขนาดของอนุภาคที่มีขนาดใหญ่ และไม่มีชั้นเสตรตมาขัดขวางการยึดเกาะระหว่างอนุภาคของไทเทเนีย-P25 จึงทำให้ไทเทเนีย-P25 มีการยึดเกาะระหว่างกันและตกตะกอนลงอย่างรวดเร็ว

ตารางที่ 4.6 การตกตะกอนของตัวเร่งปฏิกิริยาเชิงแสงแต่ละชนิดในน้ำเสีย

ตัวอย่าง	สถานะ	เวลาดตกตะกอน (นาที)	ลักษณะตะกอนที่ยูวี 14 ชั่วโมง
WW+P25 (15g/L)	ความมืด 1 ชั่วโมง	30	
	ความมืด 2 ชั่วโมง	30	
	ความมืด 4 ชั่วโมง	30	
	ความมืด 8 ชั่วโมง	40	
	ความมืด 14 ชั่วโมง	40	
	ยูวี 2 ชั่วโมง	16	
	ยูวี 4 ชั่วโมง	30	
	ยูวี 8 ชั่วโมง	40	
	ยูวี 14 ชั่วโมง	40	
WW+TS (50g/L)	ความมืด 1 ชั่วโมง	12	
	ความมืด 2 ชั่วโมง	11	
	ความมืด 4 ชั่วโมง	16	
	ความมืด 8 ชั่วโมง	15	
	ความมืด 14 ชั่วโมง	15	
	ยูวี 2 ชั่วโมง	10	
	ยูวี 4 ชั่วโมง	16	
	ยูวี 8 ชั่วโมง	15	
	ยูวี 14 ชั่วโมง	15	
WW+TS (100g/L)	ความมืด 1 ชั่วโมง	12	
	ความมืด 2 ชั่วโมง	11	
	ความมืด 4 ชั่วโมง	16	
	ความมืด 8 ชั่วโมง	15	
	ความมืด 14 ชั่วโมง	15	
	ยูวี 2 ชั่วโมง	10	
	ยูวี 4 ชั่วโมง	16	
	ยูวี 8 ชั่วโมง	15	
	ยูวี 14 ชั่วโมง	15	

บทที่ 5

สรุปผลการวิจัย อภิปรายผล และข้อเสนอแนะ

5.1 สรุปผลการวิจัย

ในงานวิจัยนี้ศึกษาเกี่ยวกับภาวะที่เหมาะสมในการแตกสลายสารประกอบฟีนอลจากน้ำเสีย ซึ่งตัวแปรที่ศึกษาในงานวิจัยนี้ คือ ชนิดของตัวเร่งปฏิกิริยาเชิงแสง เวลาในการฉายรังสียูวี ปริมาณของตัวเร่งปฏิกิริยาเชิงแสง และค่า pH เริ่มต้นของน้ำเสีย โดยใช้ตัวเร่งปฏิกิริยาเชิงแสงไทเทเนีย-P25 และไทเทเนีย/ซิลิกาปริมาณ 1-100g/L มาฉายรังสียูวีในเวลาตั้งแต่ 1-14 ชั่วโมง โดยศึกษา pH เริ่มต้นของน้ำเสียช่วง 4-11 อย่างไรก็ตาม เนื่องจากน้ำเสียนั้นมีสารประกอบฟีนอลหลากหลายชนิดทำให้ยากต่อการคาดเดาปฏิกิริยาที่เกิดขึ้นได้ จึงได้มีการศึกษาปฏิกิริยาเชิงแสงของสารประกอบฟีนอลมาตรฐานเพิ่มเติมขึ้นเพื่อที่จะติดตามพฤติกรรมของการแตกสลายของสารประกอบฟีนอลที่มักพบในน้ำเสีย ได้แก่ ฟีนอล คิวซีนไฮโดรเปอร์ออกไซด์ และอะซีโตฟีโนน ซึ่งทำให้งานวิจัยนี้แบ่งออกเป็น 2 ช่วงคือ การศึกษาปฏิกิริยาเชิงแสงของสารประกอบฟีนอลมาตรฐานที่มักพบในน้ำเสียจากโรงผลิตฟีนอลและน้ำเสีย ซึ่งสามารถสรุปผลการทดลองได้ดังนี้

1. ในการศึกษาช่วง pH ที่เหมาะสมต่อการทำปฏิกิริยาเชิงแสงของน้ำเสีย ซึ่งศึกษาช่วง pH ตั้งแต่ 4-11 ปรากฏว่าค่าการดูดกลืนแสงที่ทดสอบโดยเครื่อง UV-VIS Spectrophotometer นั้นพีคของ pH =7 มีความชัดเจนของพีคทำให้ง่ายต่อการติดตามปฏิกิริยาเชิงแสงที่เกิดขึ้นได้ ดังนั้นในงานวิจัยนี้ จึงเลือกค่า pH เริ่มต้นของน้ำเสียและสารประกอบฟีนอลมาตรฐานเป็น 7

2. ในการศึกษาปฏิกิริยาเชิงแสงสารประกอบฟีนอลพบว่าการใช้รังสียูวีเพียงอย่างเดียวในการทำปฏิกิริยาไม่สามารถแตกสลายฟีนอลและคิวซีนไฮโดรเปอร์ออกไซด์ได้ แต่สามารถแตกสลายอะซีโตฟีโนนได้เพียงบางส่วน และเมื่อมีการใช้ตัวเร่งปฏิกิริยาเชิงแสงได้แก่ ไทเทเนีย-P25 และไทเทเนีย/ซิลิกา ในปริมาณต่างๆกัน พบว่าการใช้ไทเทเนีย-P25 ในการแตกสลายสารประกอบฟีนอลนั้นมีประสิทธิภาพดีกว่าการใช้ ไทเทเนีย/ซิลิกาเป็นตัวเร่งปฏิกิริยาเชิงแสง และการใช้ไทเท

เนี่ย-P25 ปริมาณ 1g/L นั้นมีประสิทธิภาพใกล้เคียงกันกับการใช้ในปริมาณ 2g/L ดังนั้น ปริมาณ 1g/L ของไทเทเนี่ย-P25 ในการแตกสลายสารประกอบฟีนอลคาดว่าน่าจะเพียงพอในการทำปฏิกิริยาเชิงแสง มากไปกว่านั้น จาก pseudo-first-order reaction สามารถเรียงลำดับอัตราการแตกสลายจากมากไปน้อยได้ดังนี้ อะซีโตฟีโนน > คิวมินไฮโดรเปอร์ออกไซด์ > ฟีนอล

นอกจากนี้ ผลจากการวิเคราะห์ด้วยเครื่อง HPLC ทำให้ทราบว่าการใช้ปฏิกิริยาเชิงแสงในการแตกสลายฟีนอลนั้นก่อให้เกิดอะซีโตฟีโนนและอะซีโตนเป็นผลผลิตพลอยได้ที่เกิดขึ้นระหว่างทำปฏิกิริยา สำหรับการแตกสลายคิวมินไฮโดรเปอร์ออกไซด์พบว่ามีอะซีโตฟีโนน อะซีโตนและ DMPC เกิดขึ้นระหว่างทำปฏิกิริยา และในการแตกสลายอะซีโตฟีโนนพบว่ามีอะซีโตนเกิดขึ้นเป็นผลผลิตพลอยได้

3. ในการทดลองปฏิกิริยาเชิงแสงของน้ำเสีย พบว่าการใช้แสงยูวีเพียงอย่างเดียวนั้นไม่สามารถแตกสลายสารอินทรีย์ในน้ำเสียได้ แต่เมื่อใช้ไทเทเนี่ย-P25 เป็นตัวเร่งปฏิกิริยาเชิงแสง ทำให้สารอินทรีย์ถูกแตกสลายไปได้เกือบหมดเมื่อฉายรังสียูวีเป็นเวลา 14 ชั่วโมง และปริมาณของตัวเร่งปฏิกิริยาเชิงแสงแต่ละชนิดที่ดีที่สุดในการแตกสลายฟีนอลที่พบในน้ำเสียคือ 15 g/L ของไทเทเนี่ย-P25 และ 5 g/L ของไทเทเนี่ย/ซิลิกา นอกจากนี้ ในการแตกสลายอะซีโตฟีโนนที่พบในน้ำเสียพบว่าปริมาณที่ดีที่สุดในการแตกสลายของตัวเร่งปฏิกิริยาเชิงแสงแต่ละชนิดคือ การใช้ไทเทเนี่ย-P25 ปริมาณ 5 g/L และการใช้ไทเทเนี่ย/ซิลิกาปริมาณ 1 g/L และปริมาณของตัวเร่งปฏิกิริยาเชิงแสงแต่ละชนิดที่ดีที่สุดในการแตกสลายคิวมินไฮโดรเปอร์ออกไซด์ที่พบในน้ำเสีย คือ 5 g/L ของไทเทเนี่ย-P25 และ 100 g/L ของไทเทเนี่ย/ซิลิกา

เวลาในการฉายรังสียูวีที่เหมาะสมในการแตกสลายสารประกอบฟีนอลในน้ำเสีย คือ 8 ชั่วโมง ถึงแม้ว่าการฉายรังสียูวีเป็นเวลา 14 ชั่วโมงสามารถแตกสลายสารประกอบได้ในปริมาณที่มากกว่า 8 ชั่วโมง แต่เวลา 14 ชั่วโมงนั้นเป็นเวลานานเกินไปไม่เหมาะต่อการนำไปใช้ในกระบวนการ นอกจากนั้นปริมาณที่แตกสลายได้ของเวลา 14 ชั่วโมงนั้นก็มากกว่าปริมาณของ 8 ชั่วโมงเพียงเล็กน้อย

4. ระหว่างการทำปฏิกิริยาเชิงแสงของสารประกอบมาตรฐานฟีนอล พบว่าฟีนอล คิวมีน ไฮโดรเปอร์ออกไซด์ และอะซีโตฟีโนนนั้นเกิดการแตกสลายกลายเป็นอะซีโตน ซึ่งการใช้ไทเทเนีย-P25 เป็นตัวเร่งปฏิกิริยาเชิงให้กับสารประกอบมาตรฐานฟีนอลพบว่าอะซีโตนมีปริมาณลดลงตามเวลาการฉายรังสียูวีที่นานขึ้น ซึ่งเกิดจากการระเหยออกไปหรือการแตกสลายของอะซีโตน และ การใช้ไทเทเนีย/ซิลิกาเป็นตัวเร่งปฏิกิริยาเชิงพบว่าปริมาณของอะซีโตนมีแนวโน้มเพิ่มขึ้นเรื่อยๆ ตามเวลาการฉายรังสียูวีที่นานขึ้น คาดว่าเกิดจากปฏิกิริยาที่ช้าและสมบัติเฉพาะของไทเทเนีย/ซิลิกา เช่น พื้นที่ผิวและความพรุนที่สูงมาก

5.2 ข้อเสนอแนะ

ในงานวิจัยนี้สามารถปรับปรุงและพัฒนาได้ดังนี้

1. ศึกษาการเพิ่มความเข้มแสงของหลอดรังสียูวี ซึ่งอาจจะเพิ่มประสิทธิภาพในการแตกสลายสารประกอบฟีนอลได้
2. ศึกษาการเกิดปฏิกิริยาเชิงแสงของน้ำเสียและสารประกอบมาตรฐานที่พบในน้ำเสียในระบบปิด เนื่องจากงานวิจัยที่ผ่านมาเป็นการทดลองในระบบเปิด ทำให้ไม่สามารถวิเคราะห์ผลิตภัณฑ์ของสารที่เกิดขึ้นหลังทำปฏิกิริยาเชิงแสงที่มีความดันไอสูงได้ เช่น อะซีโตนมีความดันไอสูงทำให้ระเหยออกจากระบบไปได้ง่าย ส่งผลให้ไม่สามารถวิเคราะห์หาปริมาณของอะซีโตนที่แท้จริงได้ และอีกประการในการทดสอบครั้งนี้ไม่ได้ทำการวิเคราะห์หาปริมาณก๊าซคาร์บอนไดออกไซด์ที่เกิดขึ้น จึงไม่สามารถบอกได้ว่านอกเหนือจากการระเหยแล้ว มีการแตกสลายของอะซีโตนหรือไม่ ซึ่งควรทำการศึกษาอย่างละเอียดต่อไป

รายการอ้างอิง

- (1) The McGraw-Hill Companies. Phenol [Online]. 2000. Available from :
<http://www.mhhe.com/physsci/chemistry/carey/student/olc/ch24phenolpreparations.html#benzene> [2012, January 4]
- (2) John Wiley & Sons. Synthesis of phenol [Online]. 2000. Available from :
http://www.cliffsnotes.com/study_guide/Synthesis-of-Phenols.topicArticleId-23297,articleId-23263.html [2012, January 4]
- (3) สุนันทา วิบูลย์จันทร์. เคมีอินทรีย์. พิมพ์ครั้งที่ 3. กรุงเทพมหานคร : เ็นดับบลิว มีเดีย, 2539.
- (4) Arno, G., Louis, A.P., and Andre, K. Phenolic resins. Berlin and New York : Springer-Verlag, 2000.
- (5) Rog´erio, J.A.L., Eduardo, B.A., Selma, G.F.L., and M´arcia Dezotti. Removal of phenol in high salinity media by a hybrid process (activated sludge + photocatalysis). Separation and Purification Technology 60 (2008) : 142–146.
- (6) Santos, F. V., Azevedo, E. B., Sant’Anna Jr., G. L., and Dezotti, M. Photocatalysis as a tertiary treatment for petroleum refinery wastewaters. Brazilian Journal of Chemical Engineering 23 (2006) : 451-460.
- (7) Kunjiao, Z., Guohua, Z., Peiqiang, L., Junxia, G., Baoying, L., and Dongming, L. A novel method for photodegradation of high-chroma dye wastewater via electrochemical pre-oxidation. Chemosphere 80 (2010) : 410–415.
- (8) Mantilla, A., Tzompantzi, F., Fern´andez, J.L., D´ıaz Go´ngora, J.A.I., and Go´mez, R. Photodegradation of phenol and cresol in aqueous medium by using

- Zn/Al + Fe mixed oxides obtained from layered double hydroxides materials. Catalysis Today 150 (2010) : 353–357.
- (9) Luenloi, T., Chalermssinsuwan, B., Sreethawong, T., and Hinchiranan, N. Photodegradation of phenol catalyzed by TiO₂ coated on acrylic sheets: Kinetics and factorial design analysis. Desalination 274 (2011) : 192–199.
- (10) Kucheki, M., and Simi, A. Phenol Burn. The International Journal of Occupational and Environmental Medicine 1 (2010) : 41-44.
- (11) ไสภณ เริงสำราญ. อินทรีย์เคมี 2. กรุงเทพมหานคร : สำนักพิมพ์แห่งจุฬาลงกรณ์มหาวิทยาลัย, 2550.
- (12) U.S. Environmental protection agency. Acetophenone [Online]. 2007. Available from : <http://www.epa.gov/ttn/atw/hlthef/acetophe.html> [2012, January 4]
- (13) Raymond, T., and Brigitte B. Cumene Hydroperoxide. Integrated Laboratory Systems 80(1998) : 1-64.
- (14) Evgenidou, E., Fytianos, K., and Poullos, I. Semiconductor-sensitized photodegradation of dichlorvos in water using TiO₂ and ZnO as catalysts. Applied Catalysis B: Environmental 59 (2005) : 81–89.
- (15) Sampa, C., and Binay, K.D. Photocatalytic degradation of model textile dyes in wastewater using ZnO as semiconductor catalyst. Journal of Hazardous Materials B112 (2004) : 269–278.
- (16) Huayue Z., et al. Photocatalytic decolorization and degradation of Congo Red on innovative crosslinked chitosan/nano-CdS composite catalyst under visible light irradiation. Journal of Hazardous Materials 169 (2009) : 933–940.

- (17) Pouretedal, H. R., and Kadkhodaie, A. Synthetic CeO₂ Nanoparticle Catalysis of Methylene Blue Photodegradation: Kinetics and Mechanism. Chinese journal of catalysis 31 (2010) : 1328–1334.
- (18) Shuang S., et al. Photocatalytic degradation of C.I. Direct Red 23 in aqueous solutions under UV irradiation using SrTiO₃/CeO₂ composite as the catalyst. Journal of Hazardous Materials 152 (2008) : 1301–1308.
- (19) Masao, K., and Ichiro, O. Photocatalysis : Science and Technology. Tokyo, Berlin and New York : Kodansha and Springer-Verlag , 2002.
- (20) Christian, L., Knut, H., Horst, K., Macyk, W., and Wilhelm, F.M. Visible light photodegradation of 4-chlorophenol with a coke-containing titanium dioxide photocatalyst. Applied Catalysis B: Environmental 32 (2001) : 215–227.
- (21) Aoa, C.H., Lee, S.C., Yu, J.Z., and Xub, J.H. Photodegradation of formaldehyde by photocatalyst TiO₂ : effects on the presences of NO, SO₂ and VOCs. Applied Catalysis B: Environmental 54 (2004) : 41–50.
- (22) Lee, J.M., Kim, M.S., and Kim, B.W. Photodegradation of bisphenol-A with TiO₂ immobilized on the glass tubes including the UV light lamps. Water Research 38 (2004) : 3605–3613.
- (23) Bonamali, P., and Maheshwar, S. Photodegradation of polyaromatic hydrocarbons over thin film of TiO₂ nanoparticles; a study of intermediate photoproducts. Journal of Molecular Catalysis A: Chemical 160 (2000) : 453–460.

- (24) Hema, M.K.K.P., and Maithreepala, R.A. Photodegradation of 3,4-dichloropropionamide in aqueous TiO₂ suspensions. Journal of Photochemistry and Photobiology A: Chemistry 102 (1997) : 273-277.
- (25) Marci, G., Sclafani, A., Augugliaro, V., Palmisano, L., and Schiavello M. Influence of some aromatic and aliphatic compounds on the rate of photodegradation of phenol in aqueous suspensions of TiO₂. Journal of Photochemistry and Photobiology A: Chemistry 89 (1995) : 69-74.
- (26) Chung-Hsin, W., Guo-Ping, C., and Wei-Shan, L. Photodegradation of polychlorinated dibenzo-*p*-dioxins : comparison of photocatalysts. Journal of Hazardous Materials B114 (2004) : 191–197.
- (27) Teruhisa, O., Kojiro, T., Suguru, H., and Michio, M. Synergism between rutile and anatase TiO₂ particles in photocatalytic oxidation of naphthalene. Applied Catalysis A General 244 (2003) : 383–391.
- (28) Reyad, A.S., Omar, A.K., and Gasan, I.B. Photocatalytic degradation of phenol using Fe-TiO₂ by different illumination sources. International Journal of Chemistry 2 (August 2010) : 10-18.
- (29) Jean-Marie, H. Heterogeneous photocatalysis: fundamentals and applications to the removal of various types of aqueous pollutants. Catalysis Today 53 (1999) : 115–129.
- (30) Evonik. Photocatalytic effect with AEROSIL® fumed silica [Online] 2012. Available from :
<http://www.aerosil.com/product/aerosil/en/effects/photocatalyst/pages/default.aspx>. [2012, April, 25]

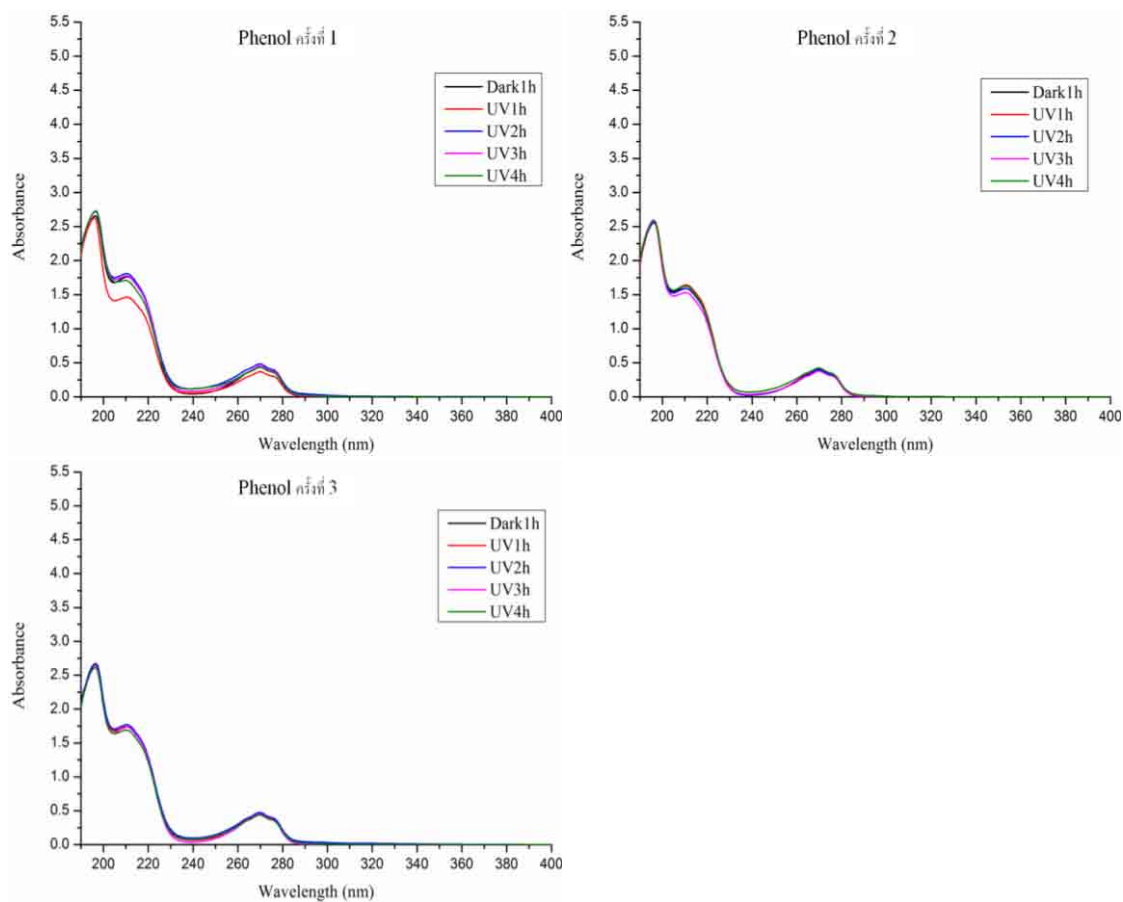
- (31) Bellardita, M., et al Photocatalytic activity of $\text{TiO}_2/\text{SiO}_2$ systems. Journal of Hazardous Materials 174 (2010) : 707–713.
- (32) Hu, C., Wang, Y., and Tang, H. Influence of adsorption on the photodegradation of various dyes using surface bond-conjugated $\text{TiO}_2/\text{SiO}_2$ photocatalyst. Applied Catalysis B: Environmental 35 (2001) : 95–105.
- (33) Sun, K., et al. Enhanced photocatalytic property of nanoporous $\text{TiO}_2/\text{SiO}_2$ micro-particles prepared by aerosol assisted co-assembly of nanoparticles. Materials Letters 65 (2011) : 3330–3332.
- (34) Chun, H., Yuchao, T., Jimmy, C.Y., and Po, K.W. Photocatalytic degradation of cationic blue X-GRL adsorbed on $\text{TiO}_2/\text{SiO}_2$ photocatalyst. Applied Catalysis B: Environmental 40 (2003) : 131–140.
- (35) Lee, S.K., Kim, J.S., Kim, I.K., and Lee, J.K. Photodegradation of a volatile organic compound by fluidized bed reactor with $\text{TiO}_2/\text{SiO}_2$ and metal- $\text{TiO}_2/\text{SiO}_2$. Studies in Surface Science and Catalysis 159 (2006) : 581-583.
- (36) Chun, H., et al. Characterization and photocatalytic activity of noble-metal-supported surface $\text{TiO}_2/\text{SiO}_2$. Applied Catalysis A: General 253 (2003) : 389–396.
- (37) Chen, S., and Cao, G. The effect of different preparation conditions on the photocatalytic activity of $\text{TiO}_2\cdot\text{SiO}_2$ /beads. Surface & Coatings Technology 200 (2006) : 3637– 3643.
- (38) อุไรวรรณ ลีลาอติสร. การเตรียมและศึกษาคุณลักษณะของซิลิกาคุณภาพสูงจากแกลบ. วิทยานิพนธ์ปริญญาโทมหาบัณฑิต, ภาควิชาวัสดุศาสตร์ คณะวิทยาศาสตร์ จุฬาลงกรณ์มหาวิทยาลัย, 2535.

- (39) Liou, T.H. Preparation and characterization of nano-structured silica from rice husk. Materials Science and Engineering A364 (2004) : 313–323.
- (40) Roig, B., Gonzalez, C., and Thomas, O. Monitoring of phenol photodegradation by ultraviolet spectroscopy. Spectrochimica Acta Part A 59 (2003): 303-307.
- (41) Alnaizy, R., and Akgerman, A. Advanced oxidation of phenolic compounds. Advances in Environmental Research 4 (2000) : 233-244.
- (42) Mirat, D.G., and Robert, V. Oxidation of phenolic compounds by ozone and ozone + u.v. radiation : a comparative study. Water resources 21(1987) : 895-900.
- (43) Rahmani, A.R., Samadi, M.T., and Enayati, M.A. Investigation of Photocatalytic Degradation of Phenol by UV/TiO₂ Process in Aquatic Solutions. J Res Health Sci 8 (2008) : 55-60.
- (44) Dingwang, C., and Ajay, K.R. Photocatalytic kinetics of phenol and its derivatives over UV irradiated TiO₂. Applied Catalysis B: Environmental 23 (1999) : 143–157.
- (45) Luis, J.A., et al. Photodegradation of phenol in water using silica-supported titania catalysts. Applied Catalysis B: Environmental 13 (1997) : 289-297.
- (46) Ehsan, A., and Shahrara, A. Photodegradation of acetophenone and toluene in water by nano-TiO₂ powder supported on NaX zeolite. Materials Chemistry and Physics 120 (2010) : 356–360.

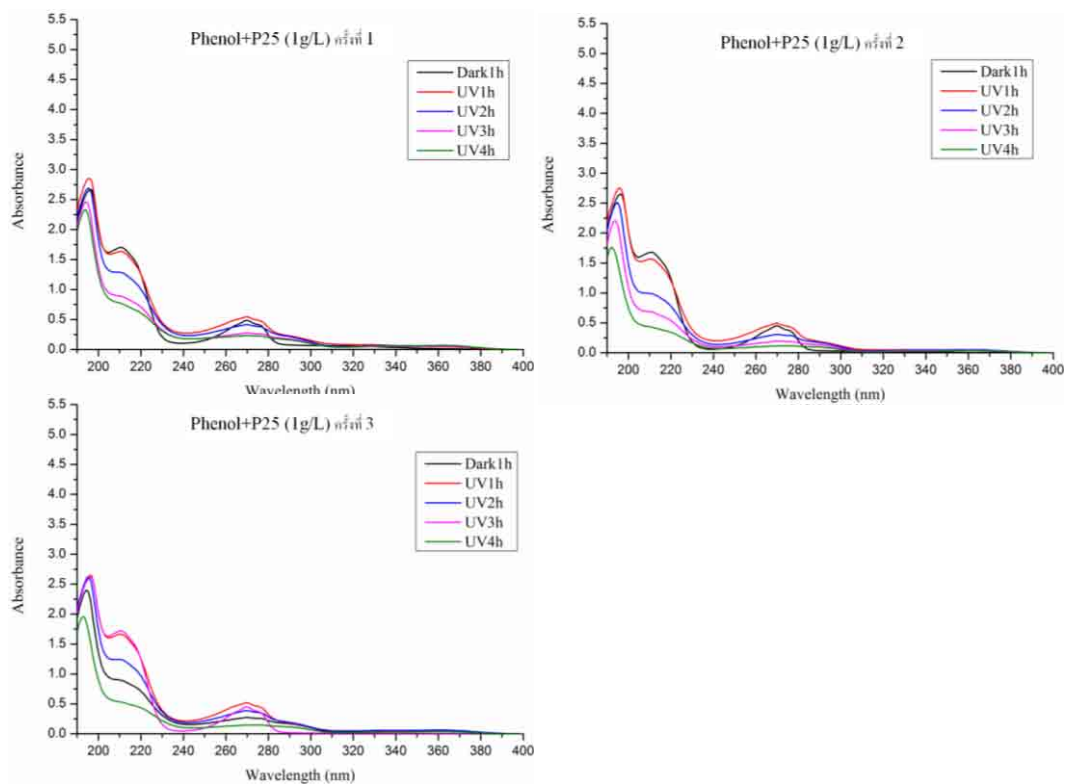
- (47) Adria'n, M.T.S., Cla'udia, G.S., Goran, D., and Joaquim, L.F. Ce-doped TiO₂ for photocatalytic degradation of chlorophenol. Catalysis Today 144 (2009) : 13–18.
- (48) Wittenberg, R., Pradera, M. A., and Navio, J.A. Cumene Photo-oxidation over Powder TiO₂ Catalyst. Langmuir 13 (1997) : 2373-2379.
- (49) Garcia-Diaz, E., Riche, J., Bulteel, D., and Vernet, C. Mechanism of damage for the alkali-silica reaction. Cement and Concrete Research 36 (2006) : 395 – 400.
- (50) Meng, N.C., Bo, J., Christopher, W.K.C., and Chris, S. Recent developments in photocatalytic water treatment technology: A review. Water research 44 (2010) : 2997-3027.
- (51) National Institute of Standards and Technology. Acetone [Online]. 20011.
Available from :
<http://webbook.nist.gov/cgi/cbook.cgi?ID=C67641&Mask=400> [2012, May 10]
- (52) Balachandran, K., et. al. Synthesis of nano TiO₂-SiO₂ composite using sol-gel method : effect on size, surface morphology and thermal stability. International Journal of Engineering Science and Technology 2 (August 2010): 3695-3700.

ภาคผนวก

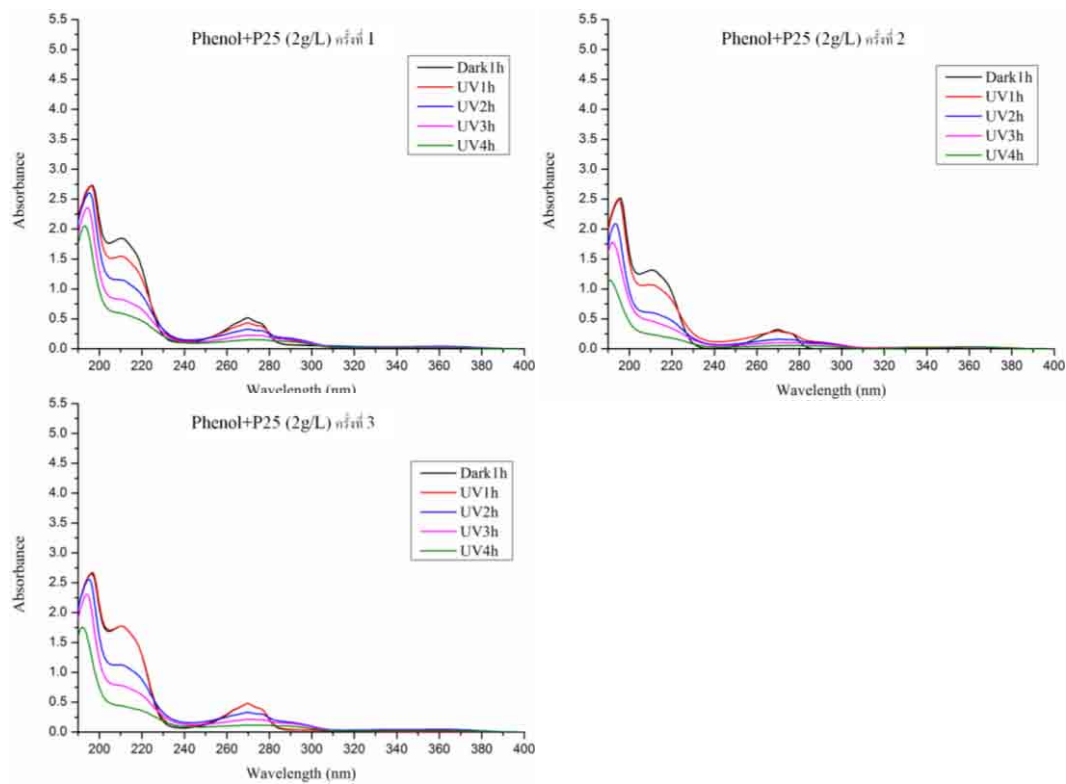
ภาคผนวก ก



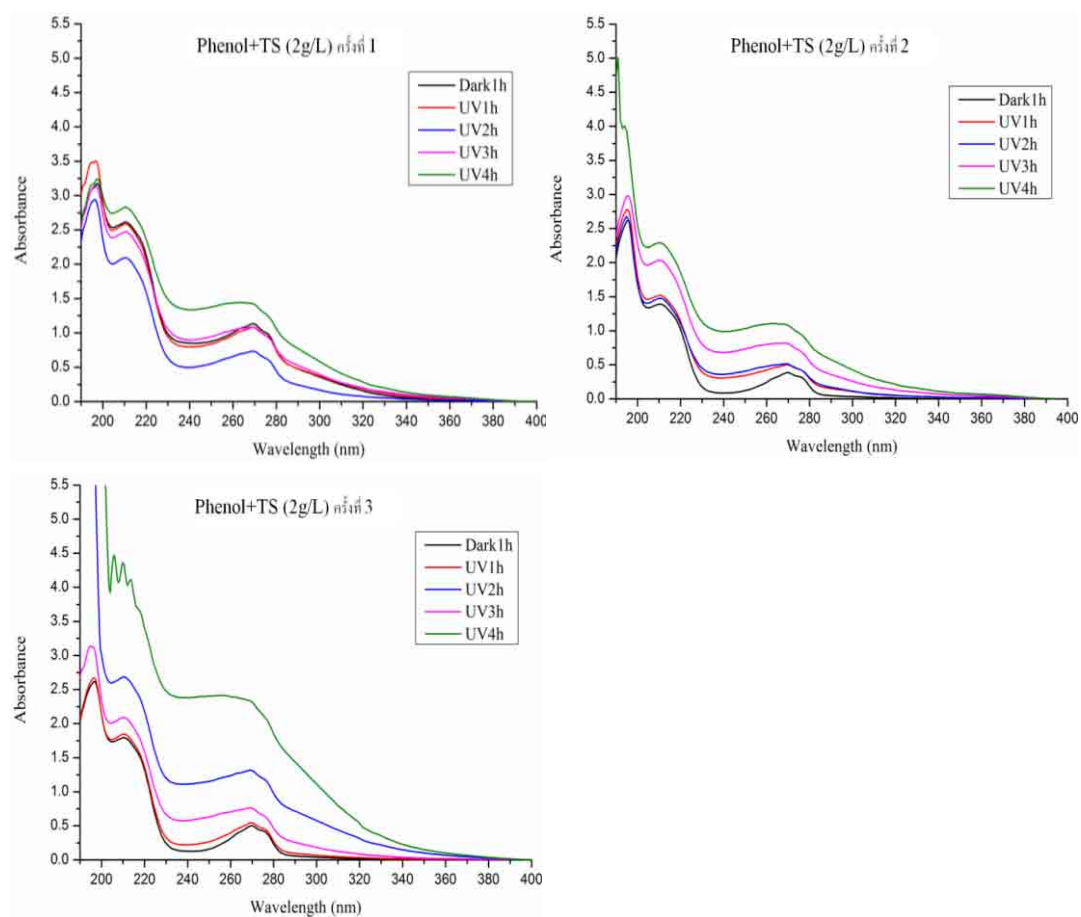
ภาพที่ ก-1 ผลการทดสอบ UV-VIS Spectrophotometer ของฟีนอล



ภาพที่ ก-2 ผลการทดสอบ UV-VIS Spectrophotometer ของฟีนอลโดยใช้ไทเทเนีย-P25 ปริมาณ 1 g/L

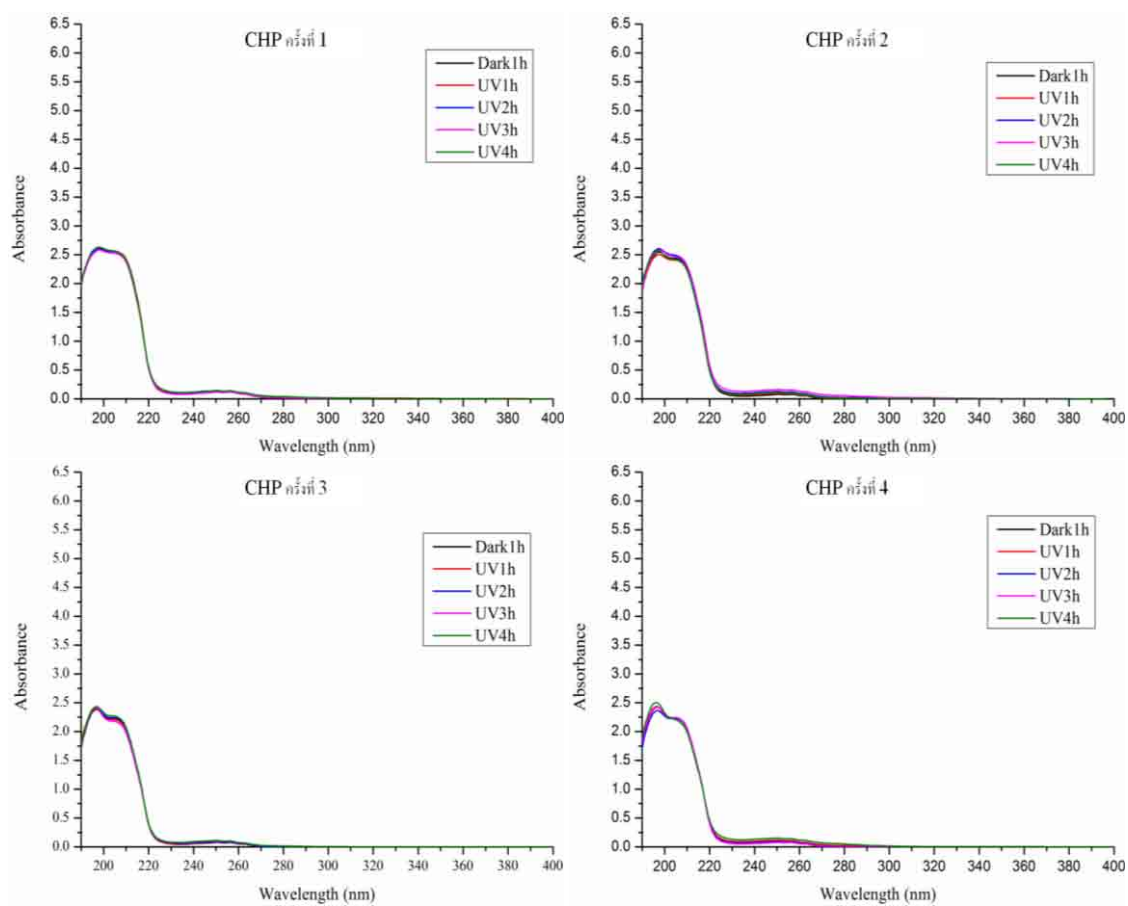


ภาพที่ ก-3ผลการทดสอบ UV-VIS Spectrophotometer ของฟีนอลโดยใช้ไทเทเนีย-P25 ปริมาณ 2 g/L

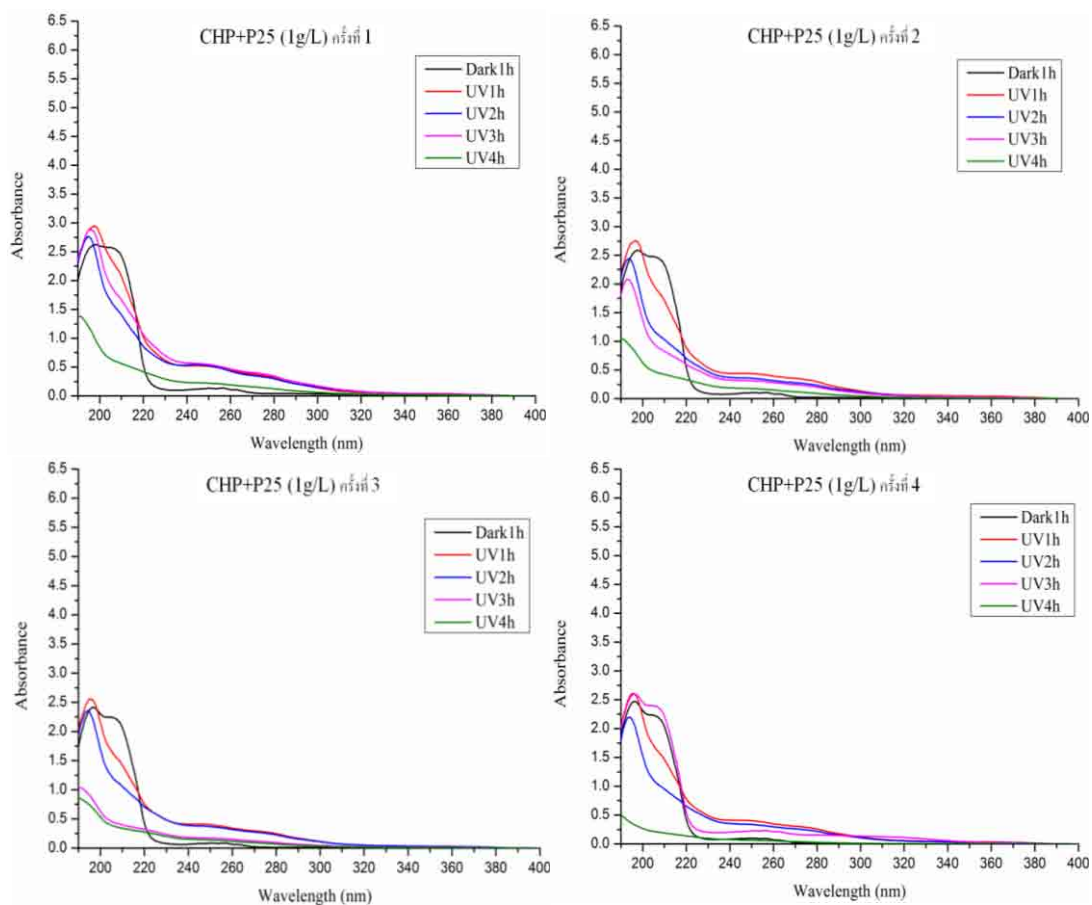


ภาพที่ ก-4 ผลการทดสอบ UV-VIS Spectrophotometer ของฟีนอลโดยใช้ไทเทเนีย/ซิลิกาปริมาณ

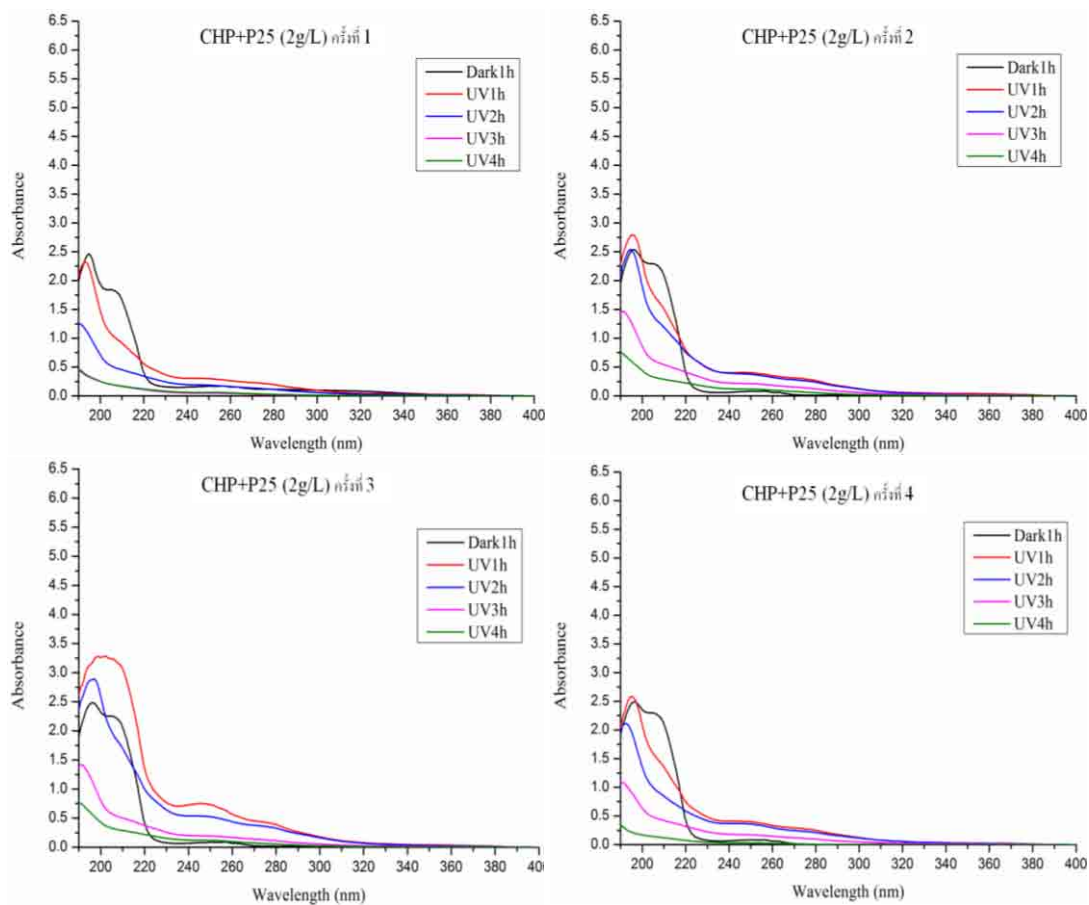
2 g/L



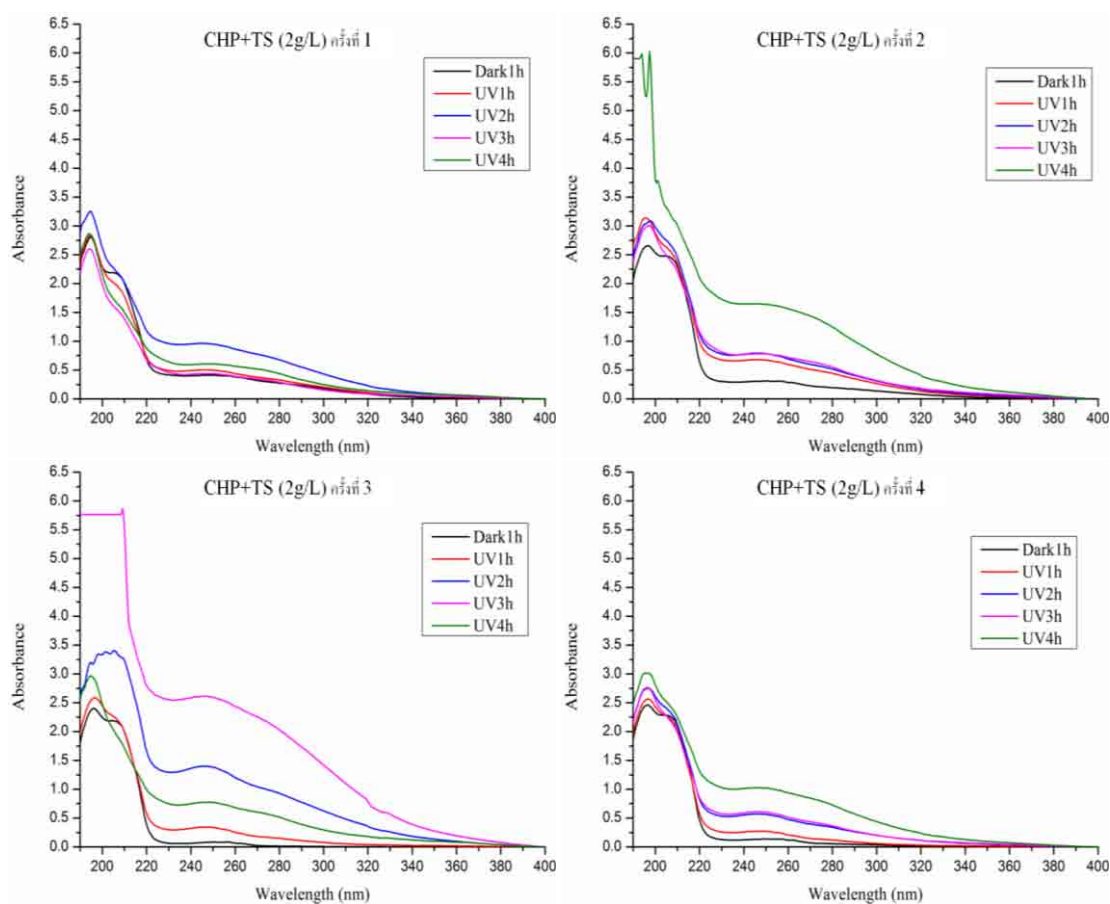
ภาพที่ ก-5 ผลการทดสอบ UV-VIS Spectrophotometer ของควมึนไฮโดรเปอร์ออกไซด์



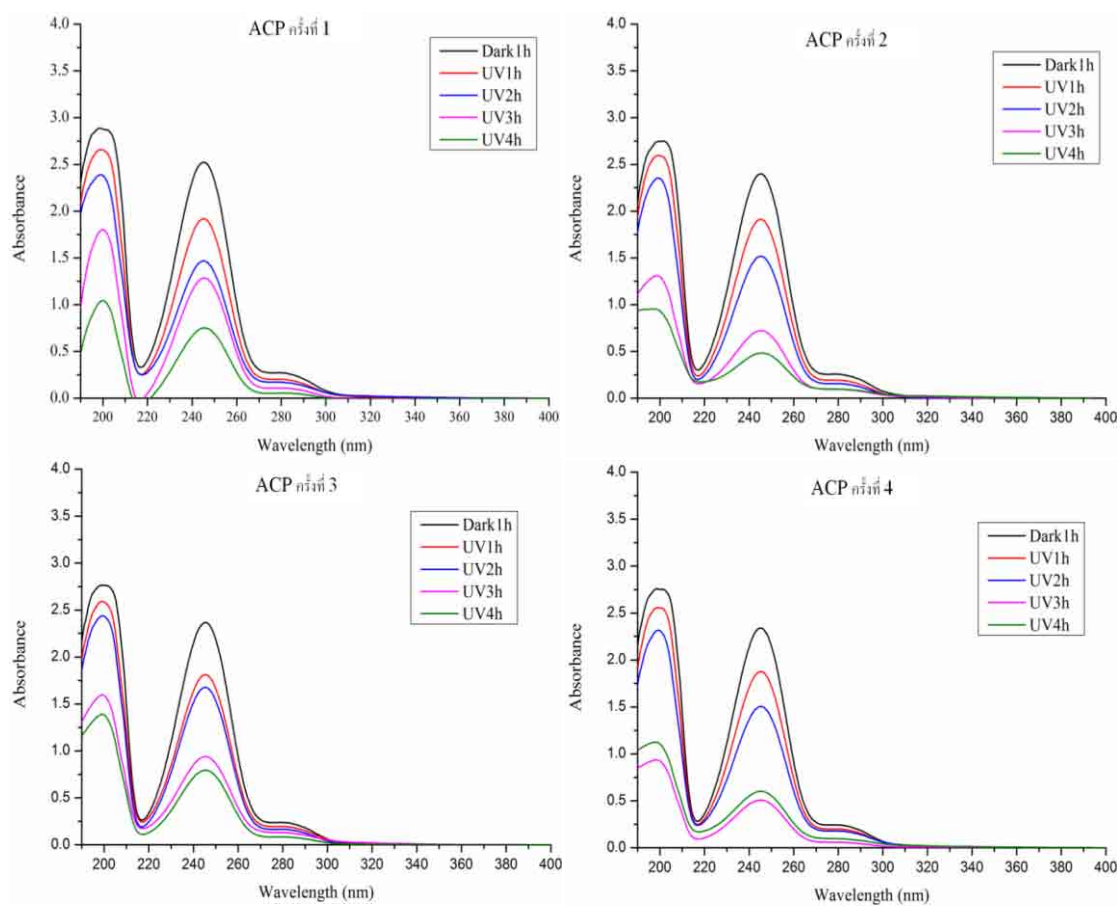
ภาพที่ ก-6 ผลการทดสอบ UV-VIS Spectrophotometer ของคิมินไฮโดรเปอร์ออกไซด์โดยใช้ไทเทเนีย-P25 ปริมาณ 1 g/L



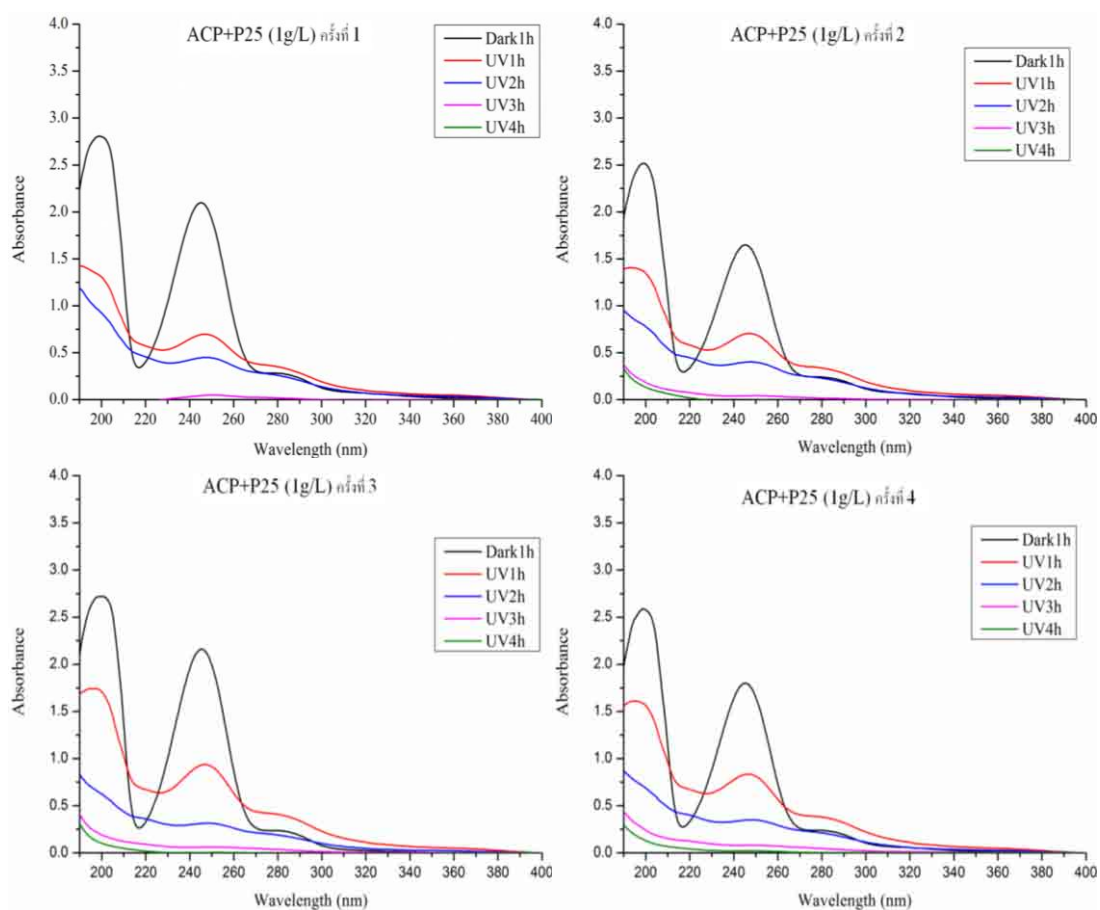
ภาพที่ ก-7 ผลการทดสอบ UV-VIS Spectrophotometer ของคิมินไฮโดรเปอร์ออกไซด์โดยใช้ไทเทเนีย-P25 ปริมาณ 2 g/L



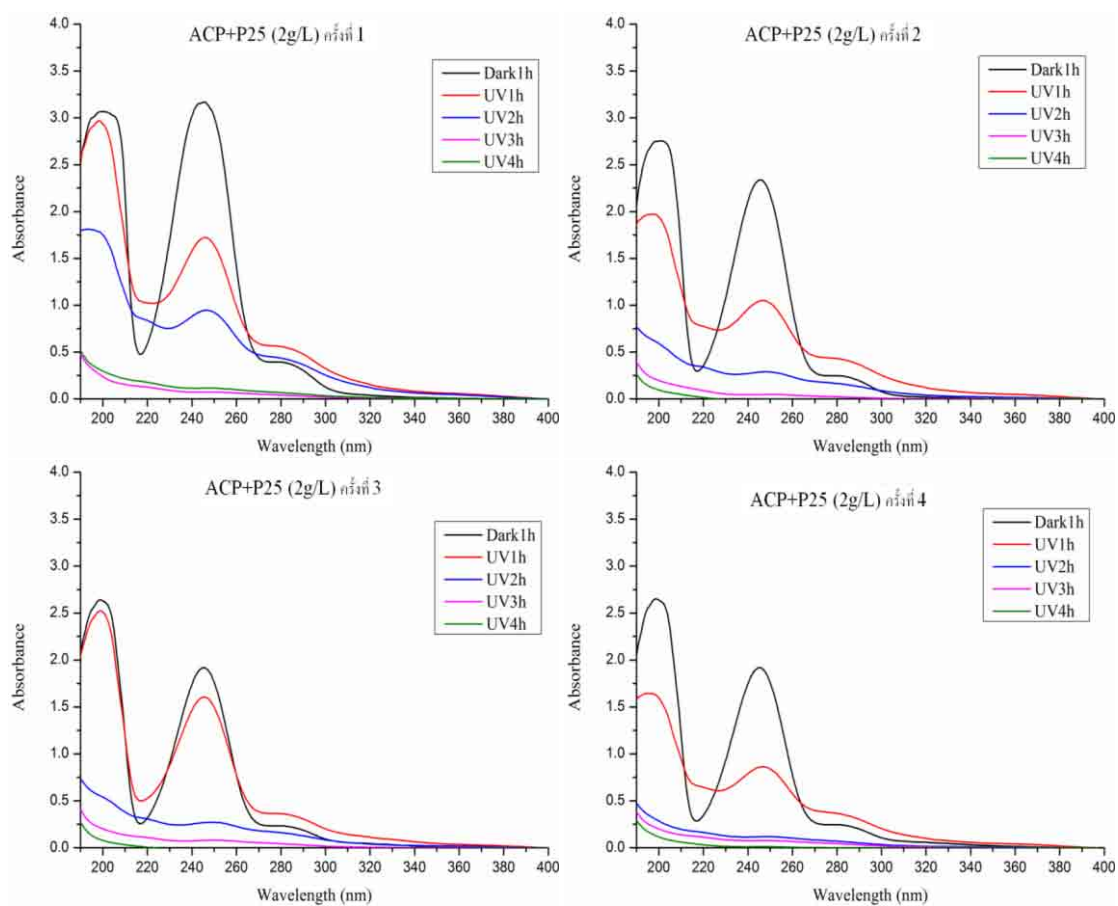
ภาพที่ ก-8 ผลการทดสอบ UV-VIS Spectrophotometer ของควมึนไฮโดรเปอร์ออกไซด์โดยใช้
ไทเทเนีย/ซิลิกาปริมาณ 2 g/L



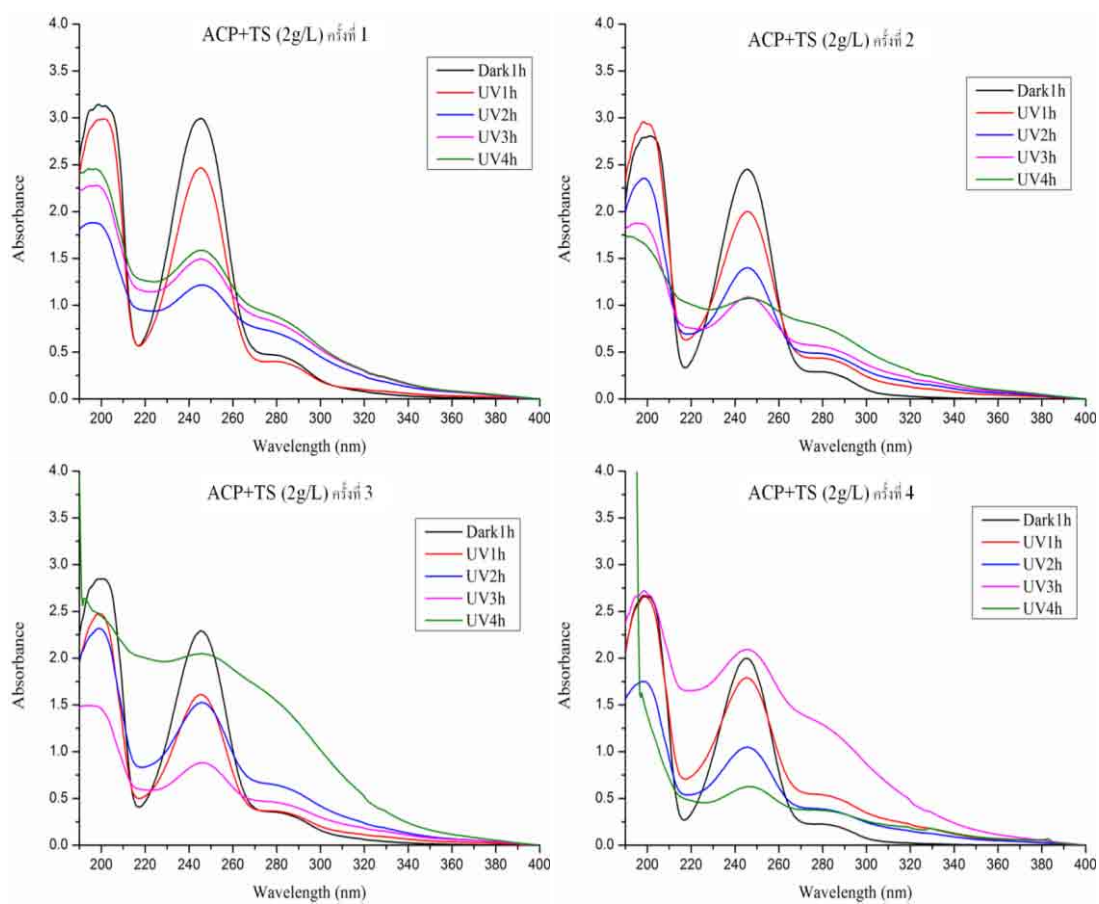
ภาพที่ ก-9 ผลการทดสอบ UV-VIS Spectrophotometer ของอะซีไคทีโนน



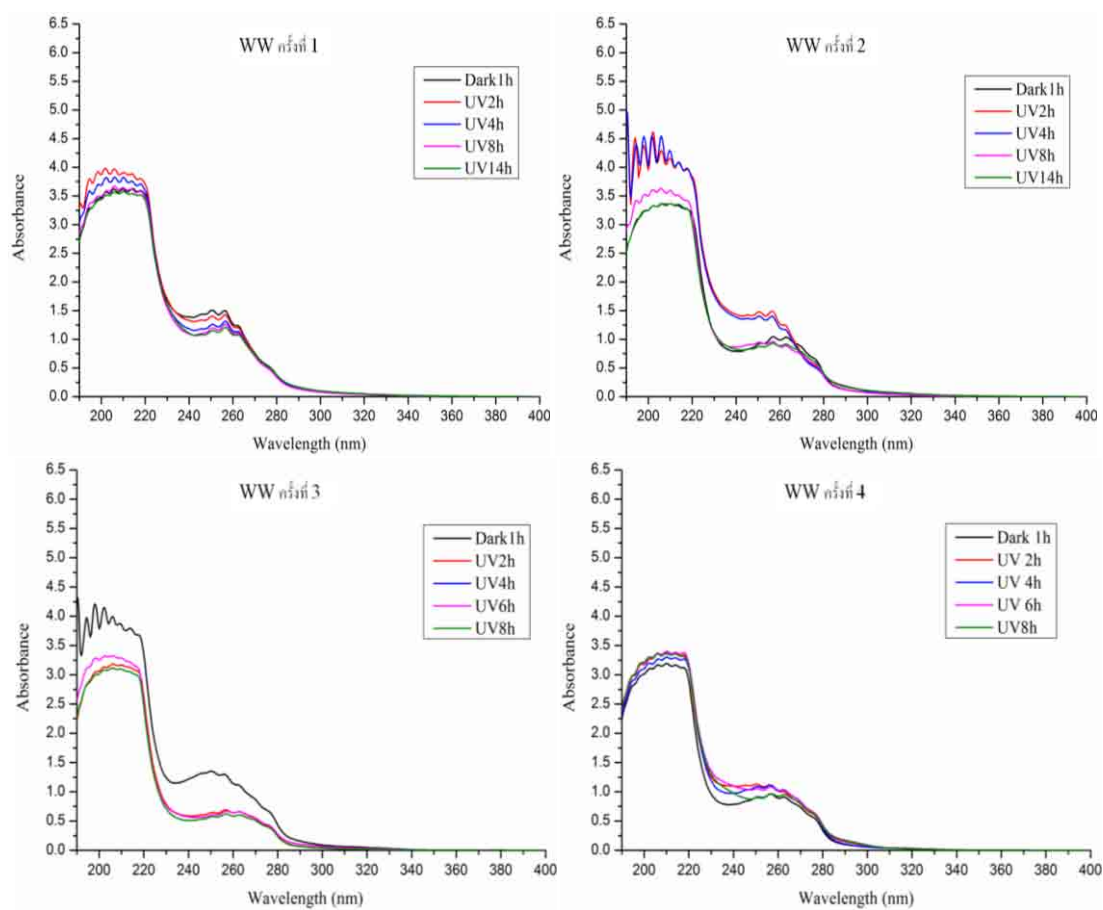
ภาพที่ ก-10 ผลการทดสอบ UV-VIS Spectrophotometer ของอะซีไคฟีนอนโดยใช้ไทเทเนียม-P25 ปริมาณ 1 g/L



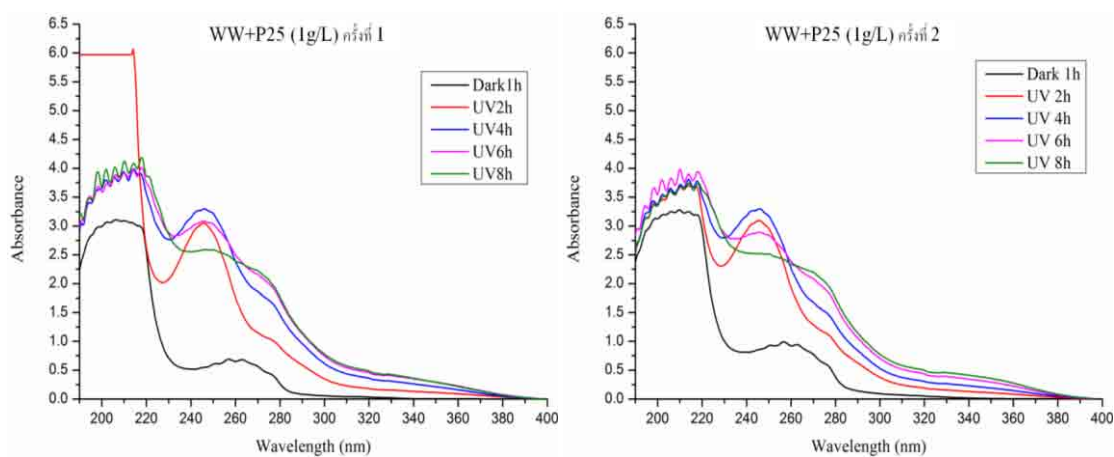
ภาพที่ ก-11 ผลการทดสอบ UV-VIS Spectrophotometer ของอะซีโตฟีโนนโดยใช้ไทเทเนียม-P25 ปริมาณ 2 g/L



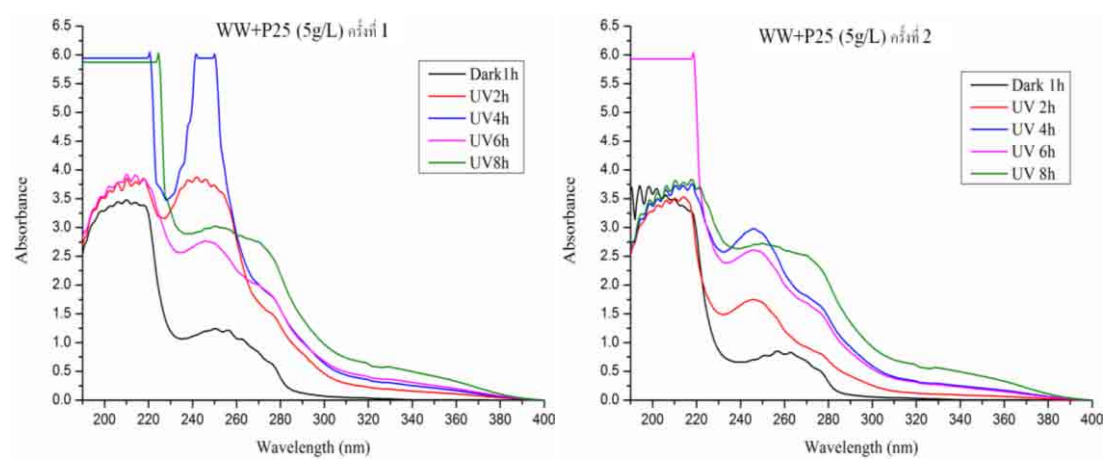
ภาพที่ ก-12 ผลการทดสอบ UV-VIS Spectrophotometer ของอะซีโตฟีโนนโดยใช้ไทเทเนีย/ซิลิกาปริมาณ 2 g/L



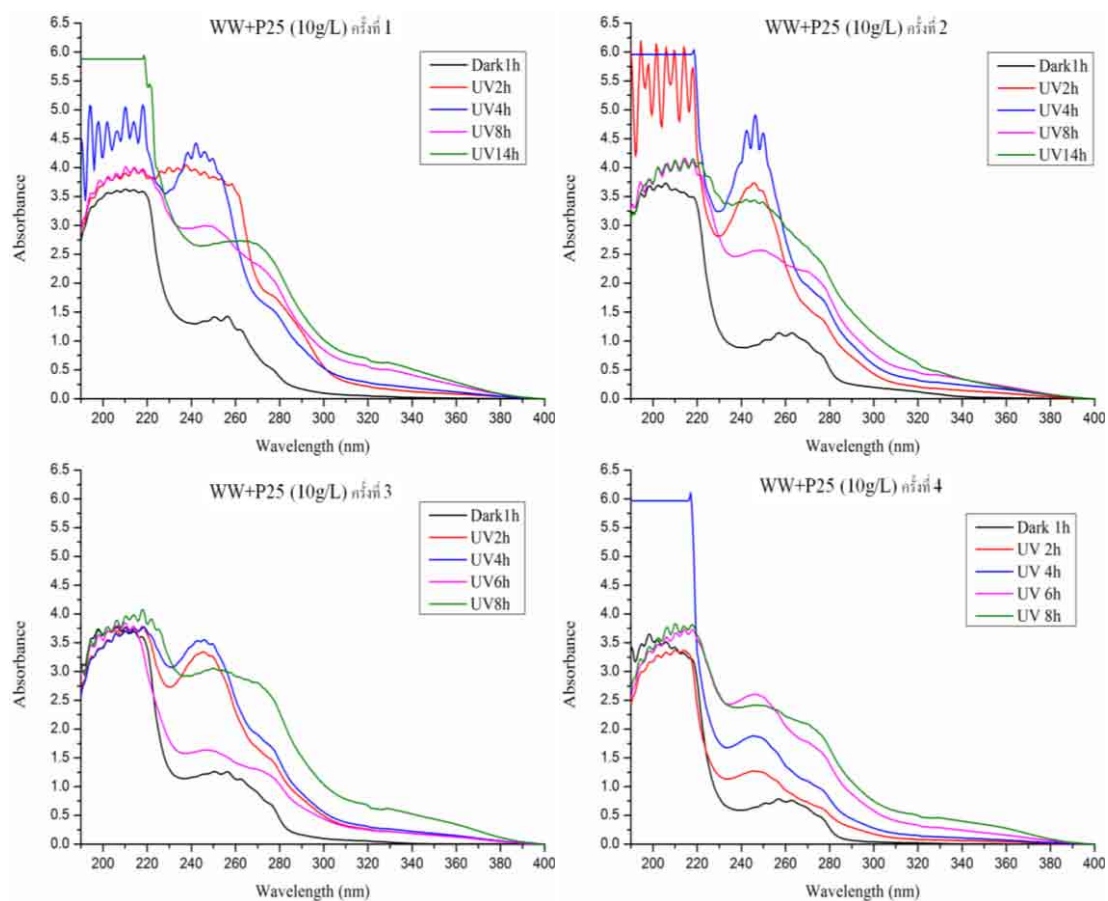
ภาพที่ ก-13 ผลการทดสอบ UV-VIS Spectrophotometer ของน้ำเสีย



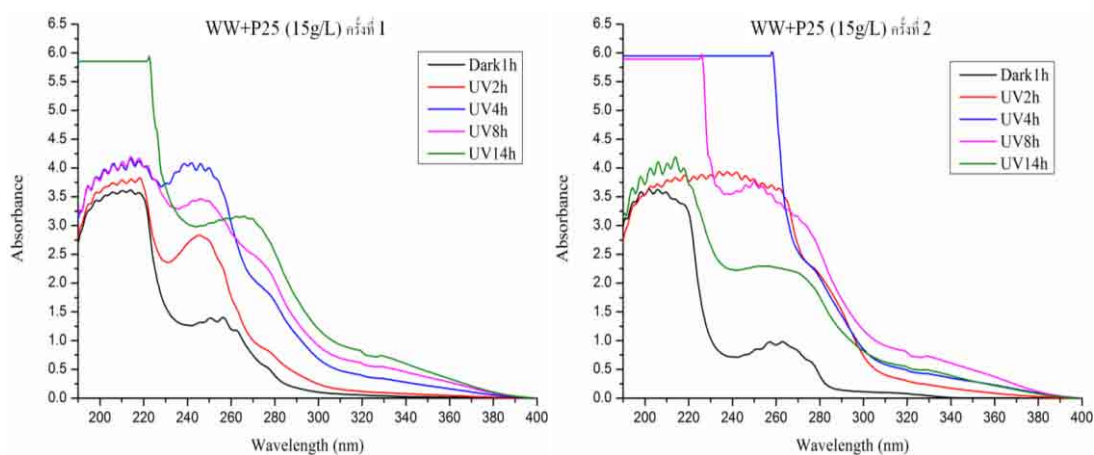
ภาพที่ ก-14 ผลการทดสอบ UV-VIS Spectrophotometer ของน้ำเสียโดยใช้ไทเทเนียม-P25
ปริมาณ 1 g/L



ภาพที่ ก-15 ผลการทดสอบ UV-VIS Spectrophotometer ของน้ำเสียโดยใช้ไทเทเนียม-P25
ปริมาณ 5 g/L

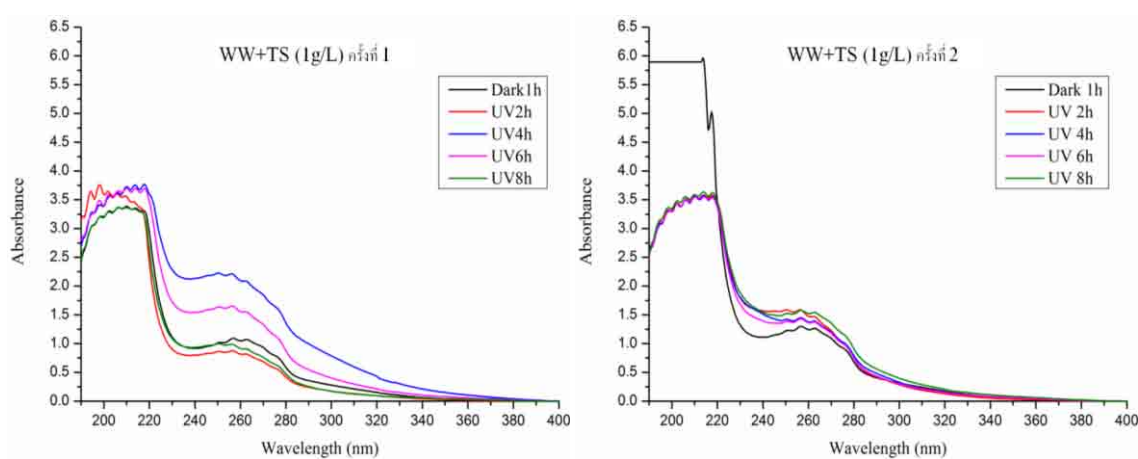


ภาพที่ ก-16 ผลการทดสอบ UV-VIS Spectrophotometer ของน้ำเสียโดยใช้ไทเทเนีย-P25 ปริมาณ 10 g/L



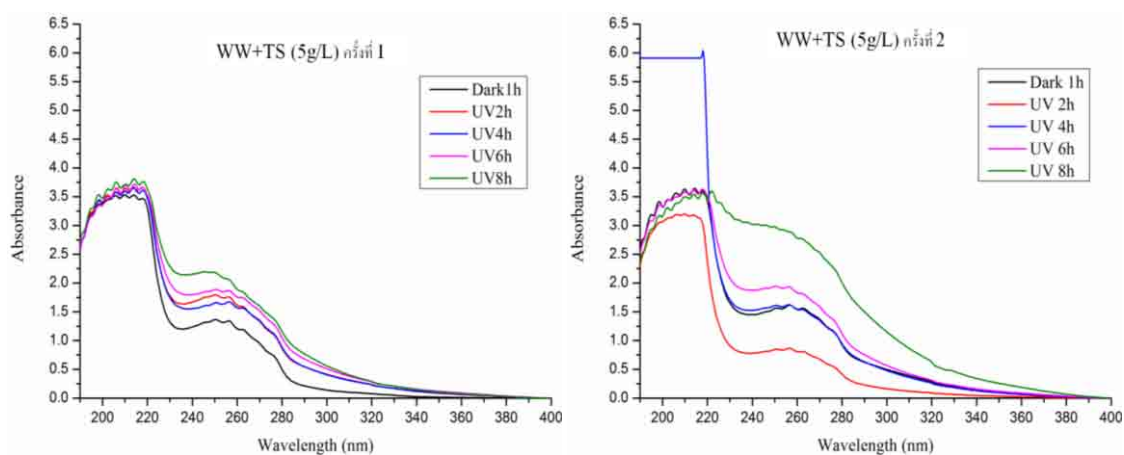
ภาพที่ ก-17 ผลการทดสอบ UV-VIS Spectrophotometer ของน้ำเสียโดยใช้ไทเทเนียม-P25

ปริมาณ 15 g/L

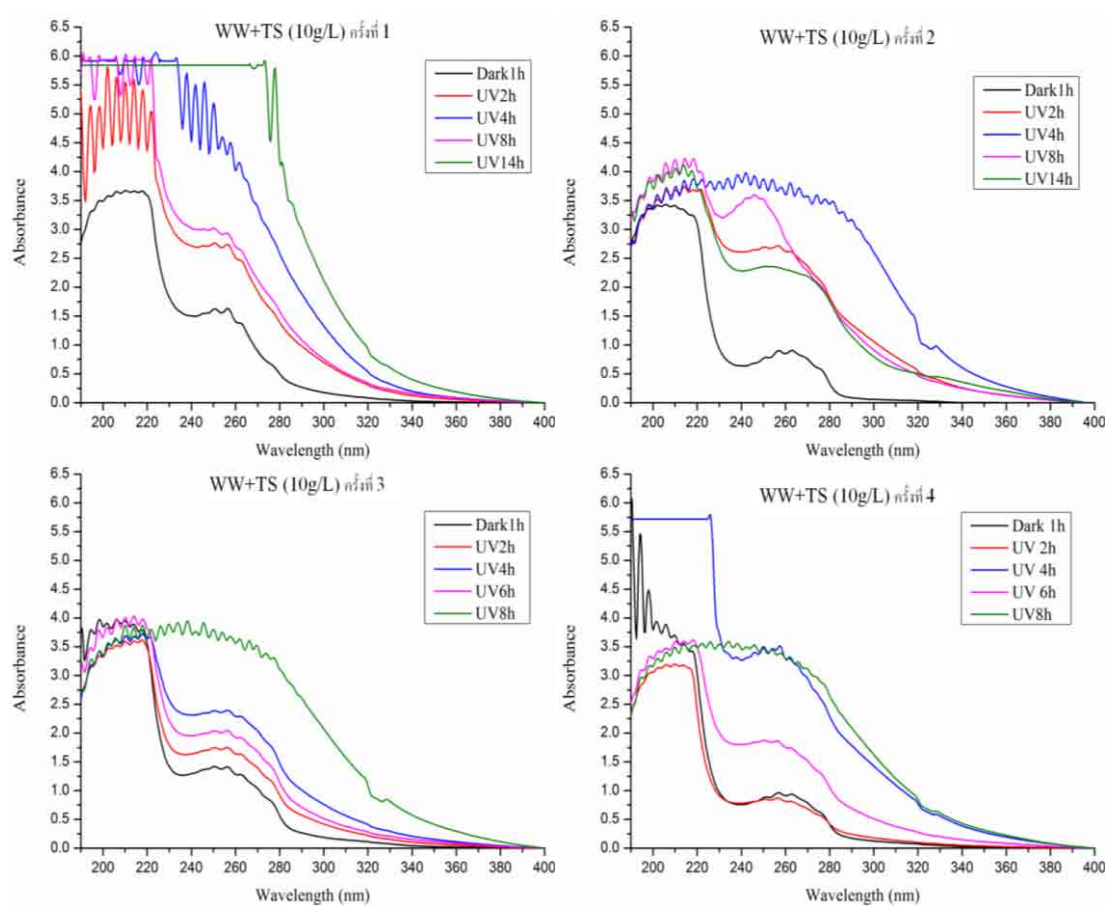


ภาพที่ ก-18 ผลการทดสอบ UV-VIS Spectrophotometer ของน้ำเสียโดยใช้ไทเทเนียม/ซิงค์

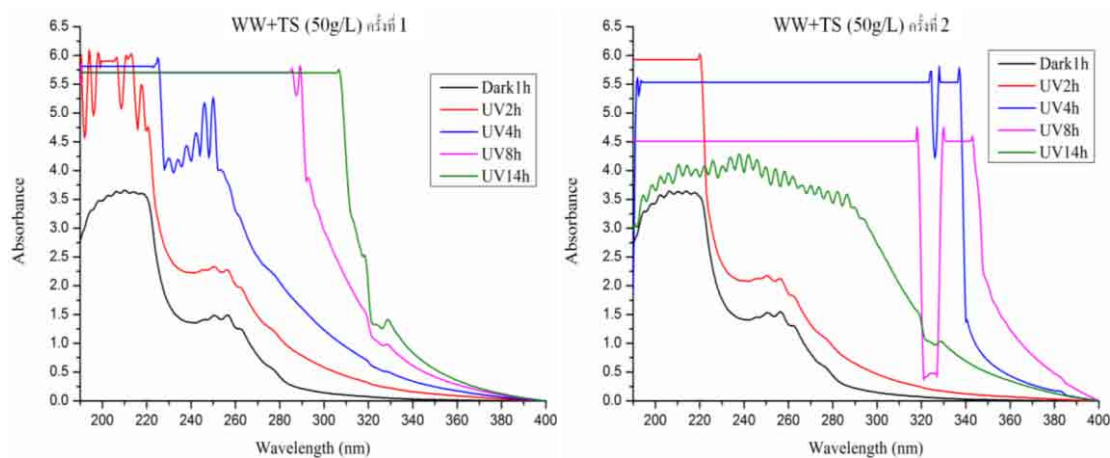
ปริมาณ 1 g/L



ภาพที่ ก-19 ผลการทดสอบ UV-VIS Spectrophotometer ของน้ำเสียโดยใช้ไทเทเนีย/ซีลีกา ปริมาณ 5 g/L



ภาพที่ ก-20 ผลการทดสอบ UV-VIS Spectrophotometer ของน้ำเสียโดยใช้ไทเทเนีย/ซีลีกา ปริมาณ 10 g/L



ภาพที่ ก-21 ผลการทดสอบ UV-VIS Spectrophotometer ของน้ำเสียโดยใช้ไทเทเนียม/ซิงค์
ปริมาณ 50 g/L

ภาคผนวก ข

ตารางที่ ข- 1 ค่าความดันไอของอะซีโตน คิวมีนไฮโดรเปอร์ออกไซด์และอะซีโตฟีโนน

Phenolic compounds	Vapor pressure (kPa @ 20 °C)
Acetone	24
CHP	0.03
ACP	0.1

ประวัติผู้เขียนวิทยานิพนธ์

นางสาวปิยะรัตน์ หลิวสิริแสง เกิดวันที่ 31 มกราคม พ.ศ. 2530 ที่จังหวัดกรุงเทพมหานคร สำเร็จการศึกษามัธยมศึกษาตอนปลาย จากโรงเรียนมัธยมศรีอยุธยาในพระอุปถัมภ์ฯ สำเร็จการศึกษาระดับปริญญาตรี หลักสูตรวิทยาศาสตร์บัณฑิต ภาควิชาวัสดุศาสตร์ คณะวิทยาศาสตร์ จุฬาลงกรณ์มหาวิทยาลัย เดือนมีนาคม พ.ศ. 2552 และเข้าศึกษาต่อในหลักสูตรวิทยาศาสตรมหาบัณฑิต ภาควิชาเทคโนโลยีเซรามิก คณะวิทยาศาสตร์ จุฬาลงกรณ์มหาวิทยาลัย และสำเร็จการศึกษาเดือนพฤษภาคม พ.ศ. 2555

ในระหว่างการศึกษาระดับบัณฑิตศึกษานั้น ได้มีโอกาสไปนำเสนอผลงานทางวิชาการในรูปแบบ Oral presentation ในการประชุมทางวิชาการ The 18th International conference on composite materials (ICCM 18) ระหว่างวันที่ 21-26 สิงหาคม พ.ศ. 2554 จัดโดย The Korean Society of Composite Materials ณ เกาะเจจู ประเทศเกาหลีใต้และได้รับการตีพิมพ์ผลงานแบบ Proceeding และไปนำเสนอผลงานทางวิชาการในรูปแบบ Oral presentation ในการประชุมทางวิชาการ The 3rd Research symposium of petrochemical and materials technology and the 18th PPC symposium on petroleum, petrochemicals, and polymers (PETRO-MAT and PPC SYM 2012) ในวันที่ 24 เมษายน พ.ศ. 2555 ณ ศูนย์การประชุมแห่งชาติสิริกิติ์ จัดโดย Center of excellence on petrochemical and material technology & the petroleum and petrochemical college ประเทศไทย.